

MINISTERUL EDUCAȚIEI SI INVATAMINTULUI  
INSTITUTUL POLITEHNIC "TRAIAN VUIA"  
TIMISOARA

Facultatea de Inginerie chimică

ING. EUGENIA GAVRILĂ

CERCETARI SPECTROFOTOMETRICE ASUPRA UNOR DERIVATI  
1,3,5- TRIAZINICI

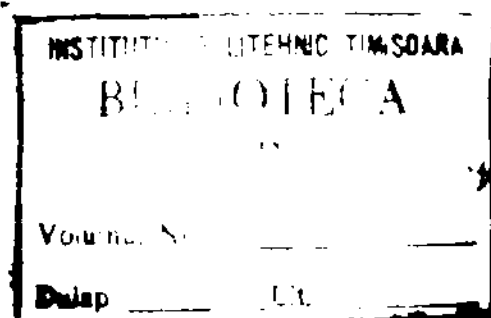
- Teză de doctorat -

BIBLIOTECA CENTRALĂ  
UNIVERSITATEA "POLITEHNICA"  
TIMIȘOARA

CONDUCATOR STIINTIFIC:

Profesor emer.cons.dr.doc. G.OSTROGOVICH  
Membru cor. al Academiei R.S.R.

- 1976 -





C U P R I N S U L

<u>INTRODUCERE</u>	pag 1
<u>PARTea I</u>	
1. STRUCTURA SI COMPORTAREA CHIMICA A HETEROCICLILOR	
1,3,5-TRIAZINICI	3
1.1. 1,3,5-Triazina	3
1.2. 1,3,5-Triazine trisubstituite cu grupări identice	4
1.3. Derivați triazinici cu funcțiuni mixte	4
1.4. Echilibre protolitice și prototropice	5
1.5. Legături de hidrogen	12
2. SPECTROSCOPIA COMPUȘILOR 1,3,5-TRIAZINICI	12
2.1. 1,3,5-Triazina	13
2.2. Alchil- și aril- 1,3,5-triazine	18
2.3. Halogen- 1,3,5-triazine	19
2.4. Amino- 1,3,5-triazine	20
2.5. Hidroxi-1,3,5-triazine	23
3. METODE TEORETICE DE CALCUL UTILIZATE IN STUDIUL	
1,3,5-TRIAZINELOR	26

## PARTEA II. CERCETARI FIZICO-CHIMICE ASUPRA UNOR DERIVATI

<b>1,3,5-TRIAZINICI . . . . .</b>	<b>30</b>
<b>4. STUDIUL BAZICITATII . . . . .</b>	<b>30</b>
<b>4.1. Studiu potentiometric . . . . .</b>	<b>31</b>
<b>4.2. Studiu spectrofotometric . . . . .</b>	<b>41</b>

<b>5. STUDIUL SPECIARELOR L...</b>	<b>5</b>
<b>6. STUDII SPECTRALE IN VIZIBIL SI UV . . . . .</b>	<b>7</b>
<b>7. INTERPRETAREA PROPRIETATILOR UNOR 1,3,5-TRIAZINE</b>	
<b>PRIN METODA HMO . . . . .</b>	<b>7</b>
<b>7.1. Stabilitatea relativă a structurilor tautomere</b>	
<b>posibile și a celor limită . . . . .</b>	<b>7</b>
<b>7.2. Calculul tranzitioilor electronice . . . . .</b>	<b>8</b>
<b>7.3. Diagrame moleculare . . . . .</b>	<b>9</b>

### **PARTea III**

<b>8. COMPLACSI METALICI CU LIGANZI 1,3,5-TRIAZINICI . . . .</b>	<b>105</b>
<b>8.1. Studiul spectrefotometric al complexului feric al</b>	
<b>2-exo-4-hidroximino-1 H,3H-1,3,5-triasinil-6-</b>	
<b>formaldoximei ("dioxima") . . . . .</b>	<b>105</b>
<b>8.2. Studiul altor complexe și de Fe(III) cu derivați</b>	
<b>ai "dioximei" . . . . .</b>	<b>124</b>
<b><u>CONCLuzii GENERALE</u></b> . . . . .	<b>129</b>
<b><u>ANEXA</u></b> . . . . .	<b>134</b>
<b><u>BIBLIOGRAFIE</u></b> . . . . .	<b>135</b>

## I N T R O D U C E R E

Chimia compusilor heterociclici constituie una din ramurile de mare interes ale chimiei organice. O clasă însemnată de substanțe heterociclice este cea a triazinelor; acestea au multiple posibilități de utilizare în industrie și au importanță biologică. Triazinele prezintă și interes teoretic, cu toate că datorită caracteristicilor lor constitutive interpretarea datelor este mai dificilă.

In prezența lucrare ne vom ocupa numai de derivați ai triazinei simetrice (1,3,5-triazina). La obținerea și studiul unora dintre ei și-au adus contribuția A.Ostrogovich și colaboratorii săi de la Cluj (V.Medean, G.Gheorghiu, V. Galea, I.Tanislau, G.Ostrogovich și I.Cădariu). Ca o continuare, prezenta lucrare își propune un studiu fizico-chimic asupra unora dintre compușii obținuți la Cluj, spre a obține precizări privind structura și proprietățile lor fizico-chimice.

Ni s-a părut de interes a urmări proprietățile acido-bazice, aspecte referitoare la tautomeria derivațiilor 1,3,5-triazinei, spectroscopia de IR, vizibil și UV, precum și unele interpretări teoretice prin metoda orbitalelor moleculare.

Lucrarea cuprinde trei părți. În prima parte ,monografică, sint prelucrate datele din literatură referitoare la problemele enumerate mai sus ( material centralizat în Chem.Astr.

prim în ianuarie 1976).

În următoarele două părți cuprind contribuția noastră la studiul unor derivați triazinici de interes mai deosebit, în special asupra substanțelor obținute de A.Ostrogovich și I.Cădariu; substanțe pe care mi le-a pus la dispoziție ultimul dintre acești cercetători.

În partea a doua sunt recăte rezultatele obținute cu privire la : basicitatea compugilor, corelația structură-spectru, stabilitatea formelor tautomere și aplicarea metodei HMO la interpretarea uneia dintre proprietăți.

Partea treia se referă la complexii de Fe (III) cu liganzi triazinici (stoichiometria, constante de stabilitate, coeficienți molari de extincție). Materialul prezentat face obiectul mai multor note publicate sau în curs de publicare.

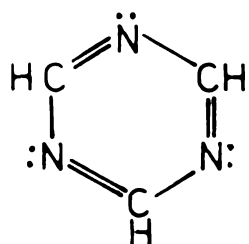
PARTEA I.

1. STRUCTURA SI COMPORTAREA CHIMICA A HETEROCLILOR

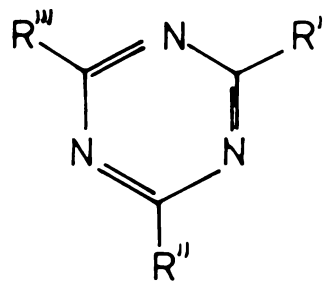
TRIAZINICI

1.1. 1,3,5-Triazina

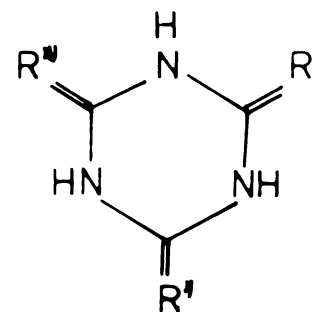
Grundmann și Kreutzberger /1/ descoperitorii 1,3,5-triazinei propun pentru aceasta structura I, în acord cu alți autori. Molecula 1,3,5-triazinei este deci un hexagon plan, caracterizat prin prezența unui sextet electronic  $\pi$  de tip aromatic.



I



II



III

In comparație cu benzenul, 1,3,5-triazina manifestă puține din caracteristicile nucleului aromatic; aceasta din cauze electronegativitatea ridicată a atomilor de azot prezenti în ciclu. Cele două sisteme au deseori comportări chimice diferite /2/.

De la 1,3,5-triazină se cunosc nenumărați derivați

obținuți prin substituirea parțială sau totală a atomilor de hidrogen cu diferite grupări (halogen, alchil, aril, amino, hidroxil, tiol, etc.). Datele referitoare la acești derivați sunt prezentate în monografia lui E.M. Smolin și L. Rapoport /2/ pentru intervalul de timp 1860-1953.

Compugii triazinici pot fi reprezentați prin schemele structurale II (forma normală), III (forma izo) sau una intermediară. Amintim că efectul pe care heterociclul îl are asupra substituentelor și invers depinde de natura celor din urmă; efectul este mai pronunțat atunci cînd au loc interacțiuni puternice între ciclu și substituent.

### 1.2. 1,3,5-triazine trisubstituite cu grupări identice

Acești derivați au fost obținuți cei dintii: acidul cianuric -  $(HO-CN)_3$ , în 1776 apoi clorura de cianuril -  $(Cl-CN)_3$ , melamina -  $(NH_2-CN)_3$ , esteri ai acidului cianuric -  $(RO-CN)_3$ , și alții.

Studiul proprietăților chimice și fizice a dus la concluzia că 2,4,6-tri R = 1,3,5-triazinele (cu R: alchil, aril, halogen, amino, tiol) au în stare solidă sau în soluție neutră structura II. Acidul cianuric (2,4,6-trihidroxi-1,3,5-triazina) în aceleasi condiții s-ar prezenta în forma III.

### 1.3. Derivați triazinici cu funcțiuni mixte

Numărul acestor derivați este foarte mare. La cunoașterea și sinteza unora dintre ei au adus un aport însemnat A. Ostrogovich și colaboratorii /3/.

În continuare în țara noastră, cercetări privind compugii triazinici s-au desfășurat în special în colecti-

vul prof. G. Ostrogovich.

#### 1.4. Echilibre protolitice și prototropice

Aceste echilibre reprezintă reacții heterolitice care implică protonul, sănt procese reversibile.

- Echilibrul protolitic. Unul din cele mai importante echilibre din soluție este echilibrul protolitic :



unde AH = acidul, A = baza conjugată iar S = solventul. AH, S, A și SH pot fi cationi, anioni sau molecule neutre.

Cunoașterea constantelor de echilibru,  $K_a$  sau  $K_b$ , are multiple aplicații utile : pentru investigații de structură, pentru stabilirea condițiilor de separare a compusilor, în spectroscopie, la studiul echilibrelor tautomere, etc.

Vom urmări în continuare felul în care introducerea atomilor de azot în nucleul aromatic modifică aciditatea /4-6/, ca apoi să vedem influența substituenților legați de ciclul 1,3,5-triazinei asupra aceleiași proprietăți.

Ne-am așteptă că prin introducerea unui atom de azot în nucleul benzenic să crească destul de mult bazicitatea compusului. Faptul că piridina este o bază slabă se datorează hibridizării de tip  $sp^2$ , în care sătul electronii neparticipanți ai azotului. În aceste condiții ei sunt mai strâns legați de nucleu și bazicitatea atomului de azot scade.

Se constată că introducerea celui de al doilea atom de azot reduce mult bazicitatea; aceasta datorită efectului inductiv al azotului. Efектul este cam de același ordin de mărime ca cel al unei grupări nitro (tabelul 1.1, compușii 2 și 3).

Prin extrapolare, efectul introducerii celui de al treilea atom de azot în ciclul benzenic ar trebui să fie tot de slăbire a bazicității. Valoarea  $pK_a$ -ului 1,3,5-triazinei, dedusă indirect de către cercetători /7,8/, confirmă această presupunere.

Substituenții atașați nucleului triazinic vor modifica  $pK_a$ -ul compusului după efectele pe care le exercită (tabelul 1.1). La rîndul său, heterociclul va influența aciditatea grupărilor prezente (v. tabelul 1.2.).

Din lipsa datelor experimentale nu vom putea ilustra cantitativ influența, asupra bazicității ciclului triazinic, particulară fiecărei grupări. Astfel, efectul datorat grupării alchil, aril sau halogen este uneori dedus indirect din studiul derivatilor cu funcții mixte.

La substituirea unui atom de hidrogen din ciclul triazinic cu o grupare amino, bazicitatea crește; efectul este aditiv în cazul mai multor grupări (tabelul 1.1 compuși 4-8).

Au fost relativ mult studiate melaminele substituite. Dudley /9/ urmărește efectul substituenților în cazul în care substituția se face în gruparea amino sau în nucleu (este înlocuită gruparea amino).

Din datele tabelului 1.1. (compuși 8-11) reiese că prin substituirea hidrogenilor din gruparea amino cu grupări alchil sau aril (cu excepția fenilului) bazicitatea crește. Bazicitatea crește cu numărul grupărilor prezente iar în cazul unei singure grupări cu numărul atomilor de carbon din aceasta /9,13,14/. În aceleasi condiții gruparea metilol sau guanil scade bazicitatea ciclului /12,15,98/.

**TABELUL 1.2.**

Valori  $pK_a$  determinate în apă,  $t \approx 20-25^\circ C$

#	Compusul	Specie	$pK_a$	Bibliografie
<b>1,3,5-triazină</b>				
1.	2,4-dihidroxi-	0	6,5; 6,7	5; 20; 21
		-1	12,2	22
2.	- " - -1-metil-	0	8,15	20
3.	- " - -3-metil	0	6,58	20
4.	- " - -6-metil	0	7,48	21
5.	- " - -6-amino-	0	6,9; 7,0	8; 7
		-1	13,5; 13,4	8; 7
6.	2,4-diamino-6-hidroxi-	0	9,4; 9,9	11; 7
7.	- " - -6-tio-	0	8,2; 7,8	8; 16
8.	Acidul cianuric	0	6,5; 6,2 7,0	8; 7; 19
		-1	10,6; 10,1 11,3	8; 7; 19
		-2	15; 13,5; 13; 14,6	8; 7; 17; 19
9.	Acidul tiocianuric ( $C_3N_3S_3H_3$ )	0	4,96	8,23
		-1	8,0	8; 23
10.	Alți derivatî			8; 9; 12-15; 18; 21; 23; 27

TABELUL 1.1.

Valori  $pK_a$  determinate în apă ( $t = 20-25^\circ C$ ), reprezentând ionicile speciilor cationice ale unor heterociclii.

Mr. crt.	Compusul	Specie ionică	$pK_a$	Bib. gru.
1.	Piridină	+ 1	5,23	4
2.	-3-nitro-	+ 1	0,81	6
3.	Pirimidină	+ 1	1,30	4
4.	1,3,5-triazină	+ 1	< 1	7;8
5.	2-amino-4,6-dimetil-	+ 1	3,6	4
6.	2,4-diamino-	+ 1	5,9;3,9	9;8
7.	2,4-diamino-6 metil-	+ 1	4,6	9;8
8.	2,4,6-triamino(melamine)-	+ 1	5,0-5,16	12; 11;
		+ 2	0,2;0	7;1
		+ 3	-3,0	7
9.	Melamină : $N^2$ -etil-	+ 1	5,23	9
10.	$N^2,N^4$ -dietyl-	+ 1	5,53	9
11.	$N^2$ -fenil-	+ 1	4,65	9
12.	Etil-izo-melamină	+ 1	10,54	9
	4,6-di(1-propil-amino)-1,3,5-triazina			
13.	2-hidroxi-	+ 1	5,20	14
14.	2-metoxi-	+ 1	4,28	14
15.	2-metiltio-	+ 1	4,05	14
16.	2-cloro-	+ 1	1,85	14
	1,3,5-triazină			
17.	2,4-diamino-6-hidroxi- (amelina)	+ 1	4,5;4,7	11;
		+ 2	-2,0;1,4	8;1
18.	2-amino-4,6-dihidroxi- (amelide)	+ 1	1,8;2,8	11;
19.	2,4,6-trimetoxi-	+ 1	0,2	7
20.	2,4-diamino-6-tio	+ 1	3,8;3,6	16;
21.	Alți derivați triazinici			9;8
				31;
				24

Schimbarea structurii nucleului, va aduce evident schimbări mari în proprietățile bazice ale melaminelor substituite. Izomelaminele substituite sunt baze mai puternice decât melaminele normale cu aproximativ 5 ordine de mărime (a se vedea  $pK_a$  pentru compusul 12 - tabelul 1.1). Deci bazicitatea slabă este legată de forma normală și nu de cea izo.

Inlocuirea grupărilor amino din melamină cu alte grupări descrește bazicitatea derivatilor; cel mai puternic efect îl are substituirea primei grupări (tabelul 1.1 compusii 8,7-5, 17,18,20). Efectul comparativ al diversilor substituenți (tabelul 1.1 - compusii 13-16) poate fi ilustrat prin următoarea ordine a tăriei bazice la derivatii substituiți /9,14/:



Comparind bazicitatea celor două tipuri de melamine substituite, Tashiro și Yasuda /13/ arată că pentru aceeași grupare alchil sau aril introdusă bazicitatea scade în ordinea



Deci efectul de micșorare a bazicității este mai pronunțat cînd se substituie o grupare amino.

Introducerea grupării hidroxil și tiol în moleculă triazinei trebuie să scadă bazicitatea, fapt ilustrat în tabelul 1.1 (compusii 17-20).

Aciditatea funcțiilor grefate pe nucleul triazinic a fost determinată cantitativ pentru derivatii hidroxi și hidroxi-amino, precum și cei tio- și tio-amino-triazinici (tabelul 1.2)

Analiza datelor scoate în evidență, încă o dată, că

tiocompugii sint baze mai slabе decit analogii lor hidroxilici.

Referitor la structura moleculelor și ionilor acestor compugi vom reveni atunci cind vom discuta și datele spectrale.

Diversi cercetători /13,24-26,31/ au încercat să coreleze valorile  $pK_a$  cu valorile  $\sigma$  ale ecuației lui Hammet de unde în unele cazuri s-a dedus poziția de protonare.

- Echilibrul tautomer. Sisteme capabile să participe la un echilibru tautomer prototropic se întâlnesc și în heterociclii cu azot. Echilibrul poate fi reprezentat astfel /28/ :



Legătura C - N face parte din ciclu iar cea C - X este enociclică (X:O,S,NH). Diferența energiilor libere a tautomerilor determină constanta de echilibru.

$$\Delta G = - RT \ln K_t = \Delta H - T \Delta S \quad (1.2)$$

Referindu-se în mod concret la echilibrul ceto-enolic, privit în lumina teoriei echilibrului acido-bazic în soluție, Kabacinski /29/ stabilește următoarele relații cantitative :

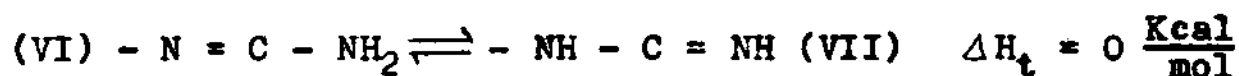
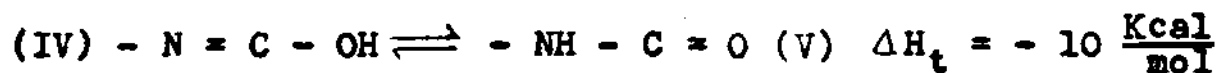
$$K_T = \frac{\text{conc. formei enolice} - B}{\text{conc. formei cetonice} - C} = \frac{K_{a,C} \cdot f_C}{K_{a,E} \cdot f_E} \cdot$$
$$= K_t \frac{f_C}{f_E} \quad (1.3)$$

unde :  $K_T$  - constantă obișnuită de echilibru tautomer în mediul considerat,  $K_t$  - constantă termodinamică a echilibrului,  $f$  - factorul de activitate.

În mod analog poate fi tratat orice tip de echili-

bru tautomer în soluție.

Discutind același echilibru, pe baza energiilor de legătură, rezultă că în cazurile mai jos menționate



structura V este cea mai stabilă. Formele VI și VII au aceeași stabilitate. Urmează că în acidul cianuric forma lactamică este stabilizată printr-o energie de  $3 \times 10$  Kcal/mol. Această energie depășește energia de rezonanță (RE) corespunzătoare conjugării aromaticice a inelului triazinic (în forma lactimică), fapt pentru care acidul cianuric se găsește în stare solidă și în soluție neutră în forma izo (III).

În melamină energia de rezonanță stabilizează moleculea în forma normală (II). Constanta de echilibru  $K_t$  a fost determinată printr-o metodă semicantitativă /30/.

$$K_t = \frac{K_{a,\text{amino}}}{K_{a,\text{imino}}} \approx \frac{K_a(\text{derivat metil aminic})}{K_a(\text{derivat metil iminic})} \quad (1.4)$$

Eroarea introdusă nu este mare, deoarece substituirea unui atom de hidrogen din gruparea amino cu un metil mărește  $pK_a$ -ul cu numai 0,2 unități (v. tabelul 1.1).

Pentru transformarea melamină  $\rightleftharpoons$  izo melamină s-au găsit următoarele date :  $K_t = 2 \cdot 10^5$  iar  $\Delta G \approx RE = 7,3$  Kcal/mol.

În studiul echilibrului tautomer sunt folosite o gamă largă de metode fizice precum și metode teoretice – tabelul 1.3.

Des utilizată este metoda spectrală. Dependența spectrului de absorbție a eventualilor tautomeri de aciditatea

TABEL 1.3.

**Metode fizice folosite în studiul echilibrului tautomer al  
1,3,5-triazinelor**

Nr. crt.	COMPOZUL	Metoda de studiu	Bibliografie
1.	Melamină	S(UV)/S(IR) Const.acid.	10,11,7,33/34 9,30
2.	Guanil-melamine	S(UV)	15
3.	Fenilamino-clor- triazine	S(IR)	35
4.	2fenil-4,6-diamino- 1,3,5-triazină	S(UV)	36
5.	Amelină; amelidă	S(UV)/S(IR) Const.acid.	11,7,37,38/34 39
6.	Tioamelină	S(UV)/S(IR)	16/23
7.	2,4-dihidroxi- 1,3,5-triazină	S(UV,IR)	22
8.	Acid cianuric	S(UV)/S(IR)	40,41,10,11, 7/42,43,34
9.	2,4,6-trimetoxi- 1,3,5-triazină	S(UV)/S(IR) Studii cinetice Spectr.de masă Studii teoretice	44,7/45,46,47 46 48 49,50,28
10.	Esteri ai ac. cia- nurie	Studii teoretice	50,28
11.	Esteri ai ac. tio- cianurie	Studii teoretice	28
12.	Alți derivati	Bibl.: 27,51,47,23,35,12,52	

S = metodă spectrală

mediului indică existența unor echilibre prototitice. Struc-  
tura formelor a putut fi dedusă folosind compozиti analogi cu  
structură fixă (clorura de cianuril și alții).

Pentru melamină, amelină, amelidă și acid cianuric  
dăm în figura 1.1. formele,  $pK_a$ -ul și domeniul în care predo-

mină fiecare formă în soluție aproasă /7, 11/ :

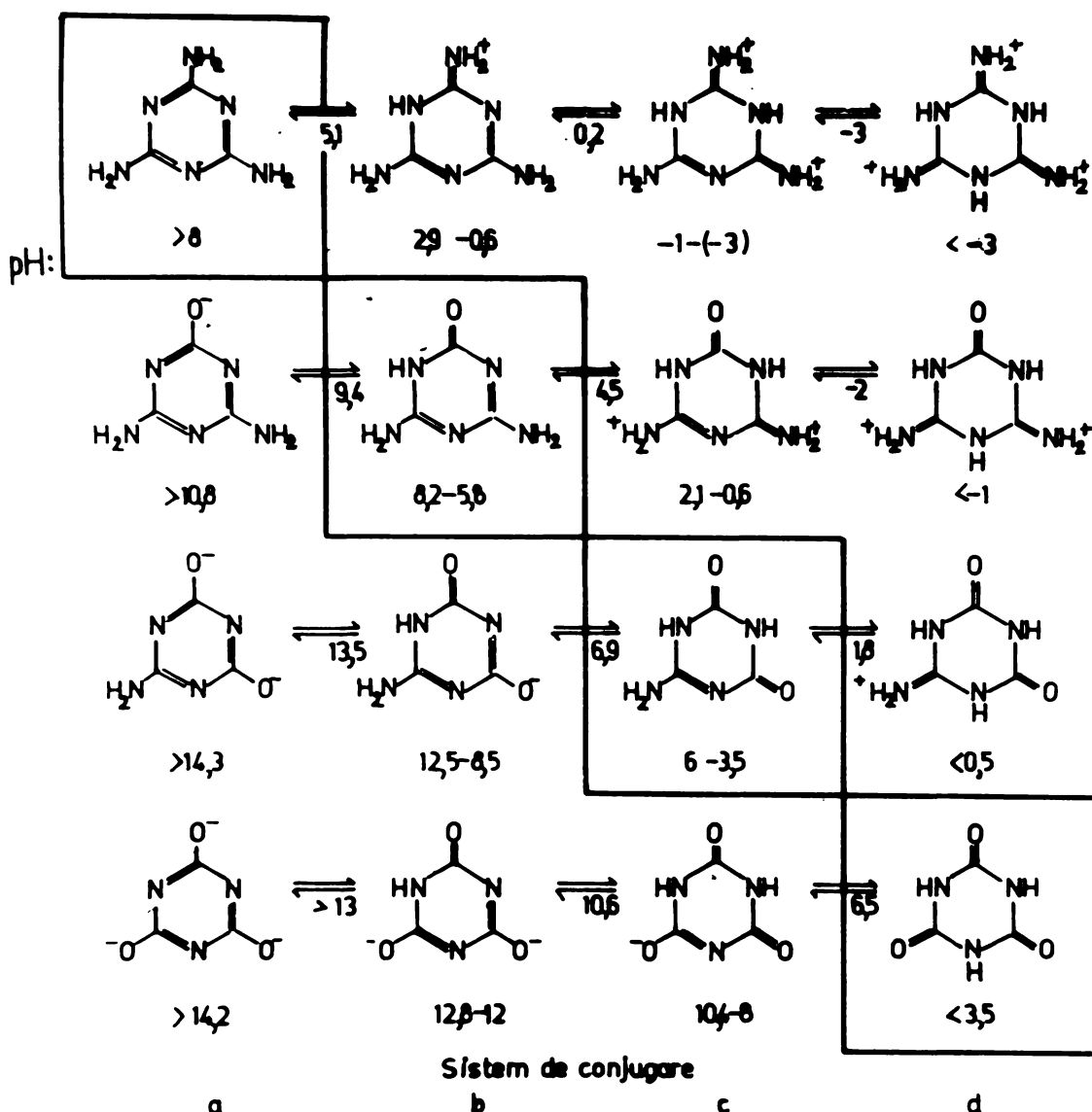


Fig.1.1. Echilibrele existente în soluție aproasă pentru: melamină, amelidă, amelină și acid cianuric

Din studiile întreprinse reiese că amino derivații triazinici în stare solidă și în soluție alcalină există în forma amidinică; derivații hidroxi există în stare solidă și în soluție acidă în forma amidică.

Pentru esteri ai acidului cianuric și tiocianuric Paoloni și colaboratorii săi /28, 46, 48, 50/ au studiat echili-

brul tautomer în stare topită. Din date cinetice autorii au dedus că energia necesară transformării formei lactam în formă lactam este  $3 \times 9$  Kcal/mol. Ni se pare interesant a reaminti că această valoare este comparabilă cu cea dedusă din datele termodynamice (pag. 9 ).

### 1.5. Legături de hidrogen

Deoarece în moleculă unora dintre derivații triazinici există atomi care pot servi ca donori de electroni precum și grupări acide capabile să cedeze protoni, se pot stabili legături de hidrogen intra- și intermoleculară.

Stabilirea acestor legături afectează o seamă de proprietăți : bazicitatea, solubilitatea, spectrul IR /16,35, 51-55/.

## 2. SPECTROSCOPIA COMPUȘILOR TRIAZINICI

In prezentul capitol ne vom ocupa numai de câteva din metodele spectroscopice și anume : spectroscopia în vizibil și UV, cea în IR și Raman, încercând să prezintă rezultatele obținute cu ajutorul lor la stabilirea structurii moleculelor de derivații triazinici.

Amintim că interpretarea spectrelor heterociclicilor cu caracter aromatic se face folosind rezultatele obținute în cazul benzenei. Trebuie să ținem seama însă că în 1,3,5-triazină pe lîngă electronii  $\sigma$  și  $\pi$  există electronii neparticipanți  $\pi$  ai azotului. Deci vor fi posibile și transiții electronică care să implice acești electroni /6 cap 7, 56-60/.

Spectrele IR ale derivaților triazinici prezintă

benzi caracteristice scheletului, influențate în măsură mai mare sau mai mică de substituenți, precum și benzi datorate substituenților. Analiza vibratiilor proprii grupelor funcționale scoate în evidență efectul atrăgător de electroni al inelului triazinic /6, cap.10/.

Vom prezenta datele spectrale privitoare la compusul de bază, urmărind apoi cum se manifestă interacțiunea electronică dintre ciclu și diverși substituenți în proprietățile spectrale ale derivatilor triazinici în ordinea cresterii acestei interacțiuni.

### 2.1. 1,3,5 - Triazina

1,3,5-triazina a fost caracterizată de către cei ce au obținut-o și prin spectrul IR /1/. Ciclul triazinic se manifestă în domeniul infraroșu prin 4 benzi caracteristice – tabelul 2.1.

TABELUL 2.1.

#### Frecvențele caracteristice ciclului triazinic

C o m p u s u l :	Biblio- grafie	Vibratii caracteristice ( $\text{cm}^{-1}$ )			
		de alungire:   de deformare:		Banda:	
		1	2	3	4
1,3,5 - triazina	61,62	1550	1410	735	675
Trifenil-1,3,5-triazina	63	1522	1367	744	644
Triclor-1,3,5-triazina	64	1505	1269	863	540
Triflor-1,3,5-triazina	65	1617	1424	817	576 ?
Melamina	66	1540	1440	814	581

? - atribuire nesigură

Pentru a decide structura moleculară a compusului de bază au fost analizate și spectrele unor derivați cu structură

cunoscută ( $C_3N_3X_3$ , cu X: metil, etil, clor) precum și spectrul Raman al trimerului acidului cianhidric /67/. Cele patru substanțe au spectre foarte asemănătoare, deci structură similară. Spectrul IR al 1,3,5-triazinei /1,61,67,69-72,77/ ca și spectrul Raman /61,67,68,71,73/ sunt constituite din benzene, ceea ce indică o simetrie moleculară înaltă. Admitând simetria  $D_{3h}$ , pot fi bine corelate benzile cu vibrațiile moleculei.

Spectrul Raman de înaltă rezoluție al substanței în stare de vaporii /73/ a permis analiza mișcărilor de rotație (centru moleculei obișnuită și cea deuterată). S-au găsit următorii parametrii strucțurali ai stării fundamentale:

$$B_0 = 0,2146 \text{ cm}^{-1}, r_{\text{CH}} = 1,338 \text{ Å}, \angle \text{NCN} = 127^\circ, \angle \text{CNC} = 115^\circ.$$

Prima analiză minuțioasă a spectrului de vibrație a fost făcută de Lancaster și colaboratorii /61/. În tabelul 2.2. sunt trecute atribuirile vibrațiilor 1,3,5-triazinei.

Moleculele au simetria  $D_{3h}$  și reprezentarea redusă a vibrațiilor are forma  $3A_1' + 2A_2' + 5E' + 2A_2'' + 2E''$ .

Primele trei specii se referă la vibrațiile în planul ciclului iar ultimele două la vibrațiile în afara planului.

Califano și Crawford /74/ calculează unele frecvențe de vibrație și constantele de forță (Urey-Bradley) comparindu-le cu cele ale benzenei. Calculurile confirmă atribuirile făcute de Lancaster.

Substituenții influențează destul de mult poziția benzii 1 (în ciclu,  $R'$ ); grupările electrofile cauzează o

TABELUL 2.2.

Frecvențe în infraroșu ale moleculei de 1,3,5-triazină

Tipul de vibratie	Specia	$\lambda^{-1}$ (cm <sup>-1</sup> )	Tipul de vibratie	Specia	$\lambda^{-1}$
$\nu$ CH	A <sub>1</sub> '	3042	Breathing	A <sub>1</sub> '	1132
	E'	3056		A <sub>1</sub> '	992
$\nu$ ciclu	A <sub>2</sub> '	1617	$\delta$ CH	E"	1031
	E'	1556		A <sub>2</sub> "	925
	E'	1410	$\beta$ ciclu	E'	675
$\beta$ CH	A <sub>2</sub> '	1251	$\delta$ ciclu	A <sub>2</sub> "	735
	E'	1174		E"	340

( $\nu$ ,  $\beta$ ,  $\delta$  sunt notatii pentru vibratiile de alungire, incovoiare in plan si incovoiere in afara planului)

deplasare batocromă, iar cele donoare de electroni produc un efect invers /75/ - tabelul 2.1. Heckle și colaboratorii săi /76/ constată că și banda 3 este modificată de natura substituentilor. Poziția benzii este funcție de constanta Hammett a substituentului.

In domeniul 200-300 nm spectrul electronic al 1,3,5-triazinei prezintă două benzi ca și cel al altor azine - tabelul 2.3. Studiind spectrul substanței în stare de vaporă și în diverși solvenți Hirt și colaboratorii săi /78/ au făcut atribuirea benzilor (singlet), utilizând criteriile de selecționare a tranzițiilor după Kasha /79/. După alți autori, aceste atribuiriri nu sunt considerate ca sigure.

TABELUL 2.3.

Spectre de absorbție ale unor heterocicli cu azot

Compusul	Solvent	Bandă $n \rightarrow \pi^*$		Bandă $\pi \rightarrow \pi^*$		Bibl.
		$\lambda_{max}$ , nm	$\epsilon$	$\lambda_{max}$	$\epsilon$	
Piridină	$C_6H_{12}$	270	450	251	2000	6, cap 7
Pirimidină	- " -	298	326	243	2030	- " -
1,3,5-triazină	- " -	272	881	222	146	78
2,4,6-trimetil 1,3,5-triazina	- " -	264	701	228	289	78

(  $\epsilon$  = coeficient molar de extincție)

Mason /58/ analizează tranzițiile  $n \rightarrow \pi^*$  în azinele monociclice. Datele experimentale sunt comparate cu cele calculate (frecvența benzii, tăria oscilatorului, deplasări de frecvență, etc.).

Pentru substanța în stare de vapozi și în soluție banda  $n \rightarrow \pi^*$  prezintă o structură fină de vibrație. Brinen și Goodman /59, 60, 80/ s-au preocupat de interpretarea acestei structuri și au corelat-o cu date IR și Raman. El au ajuns la următoarele concluzii : banda cuprinde mai multe tranziții electronice; tranziția electronică cu energia cea mai coborită este o tranziție admisă având o bandă de vibrație  $O - O$ , cele mai proeminente vibrații din structura fină sunt cele de deformare simetrică a unghiurilor ciclului ( $\nu_{12}$  și mai puțin proeminență  $\nu_{6a}$ ). Altă vibrație puternică este una neplană ( $\nu_{16 a,b}$ ). În figura 2.1. sunt prezentate aceste vibrații și sunt date valorile lor în starea electronică

fundamentală a moleculei.

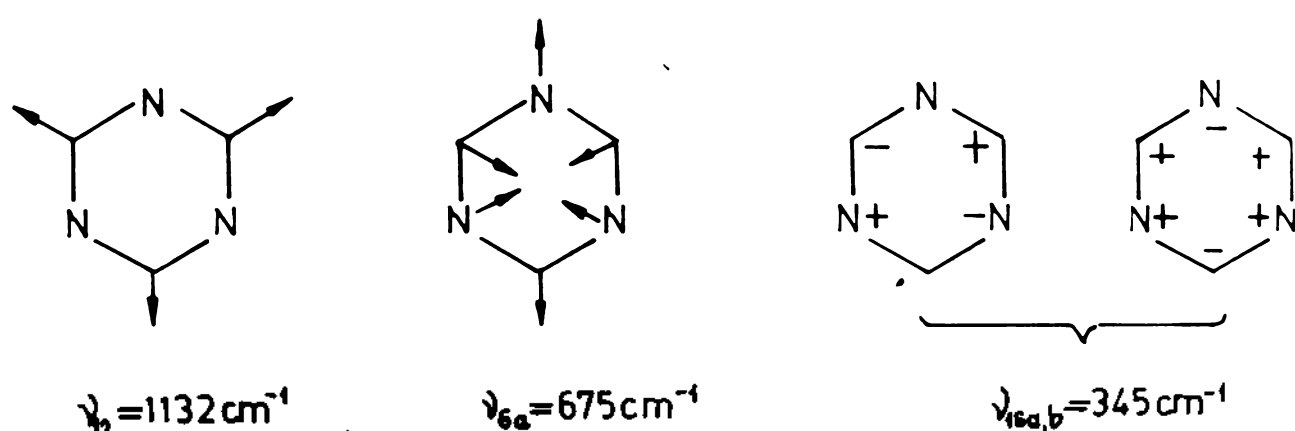


Fig. 2.1. Vibrațiile moleculei de 1,3,5-triazină ce determină structura fină a benzii  $n \rightarrow \pi^*$

Prezența acestor vibrații conduce la concluzia că în stare excitată moleculea are altă geometrie și este neplană. Modificarea distanței interatomice și a unghiului CNC în starea excitată singlet este semnalată recent de cercetători japonezi /81/.

Peste structura fină a spectrului se suprapun benzi difuze, atribuite efectului Jahn-Teller de scindare a stării excitate /60, 82, 83/.

În regiunea UV îndepărtat 1,3,5-triazina (în soluție sau vaporii) prezintă o absorbție ( $\sim 180 \text{ nm}$ ) caracterizată prin benzi foarte înguste și intense /82/. Benzile aparțin unor serii Rydberg, care se obțin utilizând cîteva trevențe de modulare. Acestea din urmă sunt modificate față de starea fundamentală indicind astfel că în starea excitată moleculea are altă geometrie, în acord cu observațiile anterioare.

Pelîngă tranzitiiile  $n \rightarrow \pi^*$  singlet, în spectrul 1,3,5-triazinei s-au identificat și tranzitii triplet situate la  $3455 \text{ Å}$  /60, 84/. A fost obținut și spectrul de fosforescență datorat tot tranzitiei  $n \rightarrow \pi^*$  triplet /85/.

Datele referitoare la cele două stări electronice

(singlet și triplet) ale triazinei au fost recent completeate prin studiul spectral al cristalelor, efect Stark și Zeeman și măsurători magnetice /86-93/.

Hochstrasser și colaboratorii /92,94/ au analizat și natura momentului tranzitoriu în tranziția singlet. Iar în 1972 s-au întreprins studii de spectroscopie fotoelectronică /95-97/ obținându-se informații referitoare la ordinea orbitalelor, geometria moleculei și la natura electronilor implicați în ionizare.

În continuare vom prezenta literatura - tabelul 2.4. și principalele probleme legate de spectroscopia derivaților triazinică.

## 2.2. Alchil- și aril - 1,3,5-triazine

Spectrul IR al unor alchil și aril derivați a fost înregistrat inițial pentru caracterizare sau pentru a servi ca termen de comparație la stabilirea structurii unor triazine.

O analiză detaliată a modurilor de vibrație a-a făcut numai pentru fluor-alchil-1,3,5-triazine /101/, constătindu-se o slabă deviere de la simetria  $D_{3h}$ .

2,4,6-trimetil-1,3,5-triazina a stat în centrul atenției în studiul naturii tranzițiilor electronice /78,103/ - tabelul 2.3. Analog compozitului de benză, metil-1,3,5-triazinele prezintă absorbție în UV îndepărtat, benzile care o compun au lungime de undă ce crește cu numărul grupărilor metil din moleculă /82/.

Atribuirea absorbțiilor din spectrul IR al 2,4,6-trifenil-1,3,5-triazinei /63, 106, 107/ arată că vibratiile

TABELUL 2.4. *c.*

Derivații triezinici studiați pe cale spectrală

Derivații 2,4,6-R-1,3,5-triezinici	Indicele bibliografic pentru spectroscopia		
	IR	Raman	vizibil și UV
Alcool : (2,4,6)	67, 99-102	67,	78, 82, 94, 102, 103
micetil	75	-	-
Aril : (2,4,6)	63, 75, 99, 104-107	110	103
micetil	105, 106	-	108, 109, 111
Clor : (2,4,6)	64, 112-115, 121	115, 121	52, 122-126
micetil	35, 52, 76, 116-121, 130	117, 121	118, 124, 126-129
Flor : (2,4,6)	65, 121, 125, 126, 131-133	65, 121,	132
micetil	117, 121, 135	117, 121	-
Amino : (molemine)	34, 62, 66, 112, 113, 136, 164	66	7, 10-12, 33, 38, 62, 122, 123, 138-142
molemine substituite	137	-	12, 15, 123, 137, 139, 143
micetil	35, 52, 75, 76, 99, 114, 117, 118, 121, 130, 146-151	151	36, 62, 108, 118, 124, 126-129, 139, 140, 142, 144, 152-156
Amino-hidroxid: Hidroxid: acid: cloruri	34, 62, 113, 136 19, 34, 42, 43, 53, 62, 112, 113, 136, 157-160, 234	159	7, 11, 37, 38, 62, 141, 143, 144, 145 7, 10, 17, 38, 40, 41, 62, 142, 141, 142
esteri și aciduluri	45-48, 50, 62, 136, 151, 161, 162	151, 162	7, 122, 138, 161
micetil	22, 52, 75, 76, 114, 149, 162	-	22, 124, 129, 144, 153, 156, 163, 165
Alți :	16, 23, 47, 149, 166, 167, 234	-	23, 28, 144, 156
Alți derivați	168-173, 177, 179, 180, 235 ; 237	169, 177, 235	27, 54, 169, 174-176, 178 ; 238



ciclului triazinic sint puțin modificate față de cele din 1,3,5-triazină, datorită caracterului electrofil al grupării fenil-- tabelul 2.1.

Gruparea fenil influențează apreciabil numai intensitatea benzilor din UV nu și poziția lor /57, 108/.

### 2.3. Halogen-1,3,5-triazine

Studiul spectrelor de vibrație a clorurii și fluorurii de cianuril confirmă pentru moleculele acestora o simetrie  $D_{3h}$ . Planaritatea moleculei este dovedită și de un studiu de spectroscopie fotoelectronică /96/. Pentru derivații clor-triazinici nesimetric substituiți, printre alte constatări se amintește faptul că aceia care conțin 2-3 atomi de clor legați direct de ciclu, prezintă în domeniul IR o bandă ( $\sim 848 \text{ cm}^{-1}$ ) caracteristică ce poate servi în scopuri analitice /76/. Această bandă nu se întâlnește la monoclor derivați /118/.

Un studiu interesant este cel al lui Sawodny și colaboratorii /117/, care se referă la seria  $C_3N_3F_{3-n}Cl_n$  cu scopul de a determina schimbările aduse în spectru prin substituirea nesimetrică a ciclului triazinic (substituție care reduce simetria moleculară de la  $D_{3h}$  la  $C_{2v}$ ).

Priuitor la absorbția în UV menționăm studiul lui Hartley și colaboratorii săi /122/, unul dintre cele mai vechi studii spectrale (1901) referitoare la substanțele heterociclice. În ciuda debutului timpuriu natura tranzițiilor spectrale nu este încă elucidată.

#### 2.4. Amino-1,3,5-triazine

- Melamina și derivații ei au fost foarte mult studiați sub aspect spectral.

Din analiza detaliată a spectrului IR /66, 164/ se trage concluzia că molecula melaminei are tot simetrie  $D_{3h}$ . Această simetrie poate fi afectată în stare cristalină datorită influenței cimpului cristalin și al legăturilor de hidrogen.

Spectrul de vibrație al soluțiilor de melamină se modifică în funcție de pH, indicând existența echilibrelor protolitice /34/.

Klotz și Askounis /10/ studiind absorbția în UV, confirmă structura amidinică a melaminei (tip II).

La substituția succesivă a atomilor de hidrogen din 1,3,5-triazină cu grupări amino se produc schimbări evidente în poziția și intensitatea – tabelul 2.4.6- benzilor din UV /62, 139, 140/. Este de așteptat ca schimbarea simetriei moleculare să afecteze intensitatea absorbțiilor ; pe de altă parte electronii neparticipanti ai grupării amino interacționează cu ciclul.

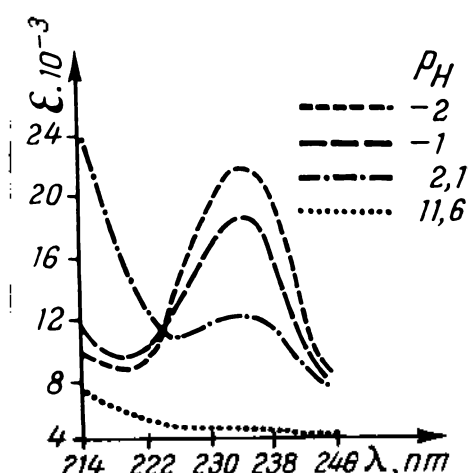
TABELUL 2.4.6.

Maximele de absorbție în UV ale amino-1,3,5-triazinelor

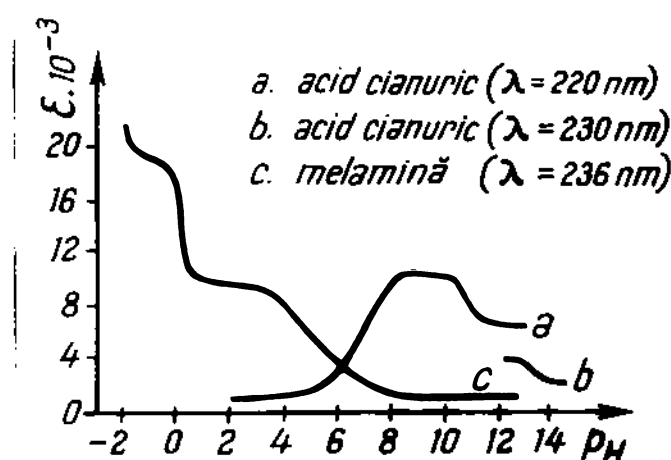
Compusul	Solvent	$\lambda_{\text{max}}^{\text{I}}$ (cm <sup>-1</sup> )	$\epsilon$	$\lambda_{\text{max}}^{\text{II}}$	$\epsilon$	Bibl.
1,3,5-triazina	H <sub>2</sub> O	38.450	747	45.250	183	78
2-amino-	- " -	38.300	1960	45.440	16.230	139
2,4-diamino-	- " -	38.760	3620	48.780	38.400	139
2,4,6-triamino+	- " -	37.	33.900 ; 42.500 ; 47.000			139

Din păcate nu există informații sigure asupra naturii benzilor (două sau trei) prezente în spectrul amino-1,3,5-triazinelor.

S-a constatat că spectrul UV al melaminei (ca și al hidroxi-amino- și hidroxi-derivațiilor) se modifică cu natura mediului - figura 2.2. Această comportare se datorează schimbărilor de structură a moleculei.



**Fig.2.2.** Spectrele UV ale melaminei la diferite pH-uri



**Fig.2.3.** Dependența coeficientului de extincție de pH.

Boitsov și Finkelshtein /7/ au urmărit dependența coeficientului molar de extincție de pH-ul soluției pentru acești derivați. El au obținut curbe cu trepte, sau porțiuni în care coeficientul  $\epsilon$  nu depinde de pH - figura 2.3. Aceste porțiuni se referă la domeniile de existență a unei singure forme. Înregistrând spectrul la pH-uri de palier s-a putut obține curba de absorbție caracteristică fiecărei specii moleculare.

În paralel cu melamina au fost studiate spectral și melaminele substituite. Cele simetric substituite (tri ori hexa)

au spectre foarte asemănătoare cu cel al melaminei /139/, spre deosebire de cele nesimetric substituite /15/. Modificările observate sunt datorate printre altele schimbării simetriei moleculare. Legătura spectru-simetrie se manifestă atât în cazul substituirii atomilor de hidrogen din molecula 1,3,5-triazinei, cât și în cel al modificărilor legate de grupările substituite (protonarea melaminei, melamine nesimetric substituite).

- Amino-hidroxi-1,3,5-triazine. În această categorie de derivați intră amelina și amelida. Studiul spectral de IR al substanțelor solide conduce, datorită prezenței benzii caracteristice grupării C = O, la concluzia că acești derivați au structură oxo. La trecerea de la melamină la amelidă se constată că unele benzi caracteristice ciclului triazinic manifestă o deplasare batocromă /62, 113, 136/.

Spectrul IR al soluțiilor acide și bazice de derivați amino-hidroxi-triazinici relevă că în cazul sărurilor alcăline frecvența  $\nu$  C = O dispare, iar absorbțiile aparținând ciclului suferă o deplasare hipsocromă (în comparație cu cele ale substanței în soluție neutră), lipsesc vibrațiile  $\nu$  NH ciclu. Aceasta înseamnă că formarea sărurilor alcăline se face astfel încât crește multiplicitatea legăturilor C - N din ciclu, iar a celor acide în mod invers /34, 62/, conform figurii 1.1.

Datorită schimbărilor ce însoțesc ionizarea, spectrul în UV se schimbă mult cu natura mediului. Prin alegerea corespunzătoare a domeniului de pH--figura 1.1. - se poate obține spectrul diverselor forme, ca și la melamină sau acidul cianuric.

- Alte amino-1,3,5-triazine. Referitor la acestea vom aminti numai cîteva constatări ce ni se par mai interesante.

Studiind diverse 2,4-diamino-6-X-1,3,5-triazine, Morimoto /140/ arată că benzile datorate tranzitiei  $\tilde{\nu} \rightarrow \tilde{\nu}^*$  (230-260 nm) arată o deplasare hipsocromă (față de 2,4-diamino-1,3,5-triazină), ce poate fi corelată cu parametrul de rezonanță Taft.

In cazul derivațiilor substituți la grupările amino cu alchil, deplasarea batocromă a benzii  $\tilde{\nu} \rightarrow \tilde{\nu}^*$  este cu atît mai mare cu cît crește numărul substituenților /156/. S-a amintit la pag. 6 că bazicitatea aminelor substituite crește și ea cu numărul grupărilor prezente. Deci creșterea bazicității este paralelă cu o promovare usoară a electronilor într-o tranziție optică, fapt ce se manifestă printr-o lungime de undă mai mare. Ambele proprietăți pot fi atribuite creșterii efectului inductiv la substituția cu grupări alchil.

## 2.5. Hidroxi-1,3,5-triazine

- Acidul cianuric și derivații săi. Discutarea structurii acestui acid pe baza datelor spectrale (UV) datează din 1901. Crymble și colaboratorii (1911), studiind absorbția în UV a trietilesterului normal și izo /158/, constată că primul are un sistem de conjugare asemănător benzenului.

Structura oxo a acidului cianuric, în stare solidă a fost confirmată de studiile IR. Benzile apărute în spectru au fost corelate cu vibrațiile NH, C = O și vibrațiile ciclului.

In domeniul vibrațiilor NH ( $3700-2940 \text{ cm}^{-1}$ ) apar benzi ce indică formarea a două tipuri de legături de hidro-

gen la acidul în stare solidă /53/. Intervalul  $1500-1650 \text{ cm}^{-1}$  este lipsit de benzi ce s-ar datora dublelor legături C = N, ceea ce e o dovadă în plus pentru structura izo (tip III).

La trecerea acidului din stare solidă în soluție neutră sau acidă, structura să nu se modifică. În mediu alcalin spectrul IR suferă modificări datorită schimbării structurii, ca urmare a ionizării succesive, împreună cu creșterea pH-ului.

Spectrul sărurilor acidului cianuric în stare solidă indică structuri cu sistem de conjugare c, b, și a - figure 1.1. - pentru sarea mono, di și trisodică. Prezența benzii  $\text{C}=\text{O}$  amidic și efectele conjugării asupra vibrațiilor  $\text{C}=\text{O}$  și  $\text{C}=\text{N}$  sunt dovezi pentru aceste structuri - tabelul 2.5.

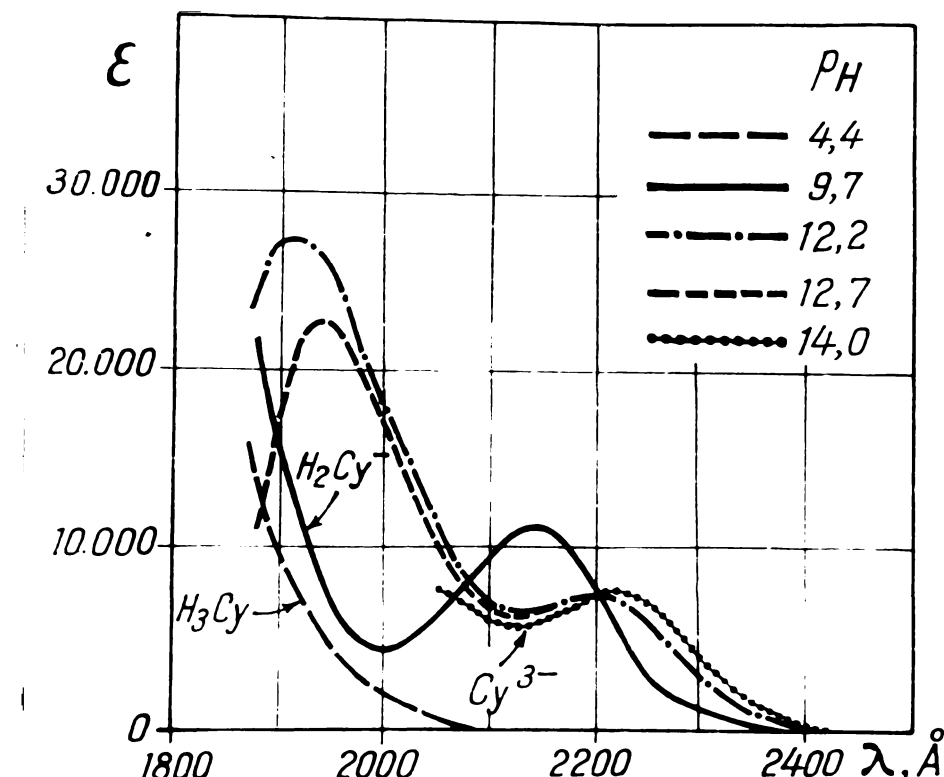
TABELUL 2.5.

Frecvențe caracteristice ale sărurilor acidului  
cianuric

Sarea acidului cianuric	$\text{C}=\text{O}$ amidic	$\text{C}=\text{N}$ ciclu
Monosodică	$1656 \text{ cm}^{-1}$	1608
Di - " -	1636	1525
Tri - " -	-	1505 (în 1,3,5-triazină)

Studiul spectral în UV al echilibrului tautomer lactam-lactim început calitativ, pentru acidul cianuric, de Hantzsch /40/ și cantitativ de Agallidis și colaboratorii săi /41/, este continuat după un interval de 20 ani de foarte mulți cercetători. Concluziile ce se pot desprinde din studiile întreprinse sunt analoge celor prezentate în cazul melaminei. În domeniul

de pH : 1-14 au fost observate trei aluri de curbe de absorbție - figura 2.4. - iar dependența coeficientului molar de extincție de pH indică tot trei trepte - figura 2.3.



**Fig.2.4. Spectre de absorbție ale acidului cianuric la diferite pH-uri**

In funcție de pH se manifestă diversele specii moleculare, cînd sarcina de la 0 la 3- (sistem de conjugare d, c, b, a, conform figurii 1.1.). Se constată că la creșterea sistemului de conjugare (de la c la b) apare o deplasare bathocromă a benzii de la lungimi de undă mari. Intensitatea benzii de la lungimi de undă scurte descrește pentru  $pH > 12$ ; această modificare este probabil legată de creșterea simetriei moleculare la trecerea de la  $Cy^{2-}$  la  $Cy^{3-}$  (de la b la a).

Originea celor două benzi ce apar în spectrul acidului cianuric ionizat nu este pe deolin lămurită. După unii autori ambele s-ar datora tranzițiilor  $\tilde{X} \rightarrow \tilde{X}^*$ .

Urmărind spectrele diverselor forme moleculare de melamină, amelină, amelidă și acid cianuric, se constată că alura curbelor de absorbție este influențată esențial de structura electronică a inelului triazinic și nu de substituent sau sarcina electrică /142/.

Esterii acidului cianuric, normali și izo, au fost foarte mult studiați atât în domeniul IR cât și în UV – tabelul 2.4. Ei au servit drept model pentru a decide structura unor derivați, pentru studiul echilibrului tautomer sau pentru a preciza originea benzilor spectrale.

### 3. METODE TEORETICE DE CALCUL UTILIZATE ÎN STUDIUL

#### 1,3,5-TRIAZINELOR

Studiul teoretic al acestei clase de compusă s-a făcut în cadrul calculelor privind heterocicli cu azot. Prima lucrare referitoare la derivații triazinici aparține lui Pauling și Sturdivant /181/, care au folosit metoda orbitalor moleculare (MO). Această metodă este utilizată și în continuare, cu excepția lucrărilor lui Maccoll /182/ și Halvarson-Hirt /125/, care aparțin metodei legăturilor de valență /VB/.

Interpretarea proprietăților fizice și chimice a compusului de bază prin metoda MO s-a făcut atât prin varianta Hückel /183-187/ și prin variante evoluate /58, 78, 80, 186-<sup>239</sup> 188/, Asupra celor din urmă nu ne vom opri.

Metoda HMO fiind mai puțin pretentioasă ne-a fost accesibilă pentru calcule proprii și de aceea a stat în atenția noastră. Vom prezenta doar cîteva rezultate obținu-

te prin intermediul acestei variante.

Nucleul triazinic este un sistem format din 6 electroni  $\tilde{N}$ . Atomului de azot și legăturii C - N i se asociază parametri coulombian și de rezonanță adecvați. În calcule, acești parametri au fost adoptați de la alți heterocicli cu azot. S-au făcut și încercări de a-i deduce din date experimentale /189-191/, sau au fost calculați prin metode perfecționate /192/.

Rezultatele calculului întreprins de Paolini /184/ pentru 1,3,5-triazină sunt redăte în tabelul 3.1.

TABELUL 3.1.

Nivelele de energie și orbitalele moleculare ale  
1,3,5-triazinei

Nivele energetice $x = \frac{d - E}{\beta}$	Orbitalele moleculare
- 2,7223	$\Psi_6 = 0,4375(\Psi_1 + \Psi_3 + \Psi_5) + 0,3767(\Psi_2 + \Psi_4 + \Psi_6)$
- 1,7440	$\Psi_5 = 0,3275(2\Psi_1 - \Psi_3 - \Psi_5) - 0,2437(2\Psi_4 - \Psi_2 - \Psi_6)$
- 1,7440	$\Psi_4 = 0,4241(\Psi_2 - \Psi_6) + 0,5673(\Psi_3 - \Psi_5)$
+ 0,3440	$\Psi_3 = 0,5673(\Psi_2 - \Psi_6) - 0,4221(\Psi_3 - \Psi_5)$
+ 0,3440	$\Psi_2 = 0,2437(2\Psi_1 - \Psi_3 - \Psi_5) + 0,3275(2\Psi_4 - \Psi_2 - \Psi_6)$
+ 1,3223	$\Psi_1 = 0,3767(\Psi_1 + \Psi_3 + \Psi_5) - 0,4375(\Psi_2 + \Psi_4 + \Psi_6)$

$\Psi_i$  - orbitale atomice

Diagrama moleculară a stării fundamentale este reflectată de datele tabelului 3.2. Ea indică în cazul atomilor de azot afinitate pentru ioni pozitivi iar pentru cele de carbon posibilitatea de angajare în reacții nucleofile.

TABEUL 3.2.

Parametrii privind distribuția electronilor în molecula 1,3,5-triazină

Parametrul	Valori după :		
	/184/	/185/ *	/185/**
Densitatea de sarcină $q_C$	0,759	0,822	0,821
$q_N$	1,241	1,178	1,179
Ordinul de legătură $p_{NC}$	0,649	0,657	0,658

\* - fără suprapunere ;     \*\* - cu suprapunere

Aceste rezultate sunt în acord cu proprietățile substanței (hidrolizează ușor, nu se poate bromura, formează complexe ca  $\text{AgNO}_3$ ,  $\text{HgCl}_2$ , etc.). Se poate prevedea de asemenea că derivații triazinici, obținuți prin înlocuirea atomilor de hidrogen cu grupări ce posedă electroni neparticipanți ( $-\text{OH}$ ,  $-\text{NH}_2$ , etc.), sunt mai stabili decât compusul de bază, fapt confirmat de realitate.

Introducând în calcul suprapunerea, se constată că diagrama moleculară - tabelul 3.2. - și energia transiției spectrale nu este modificată mult (valoarea densității electronice de frontieră este însă afectată).

Dintre derivații triazinici cei mai studiați din punct de vedere teoretic amintim : melamina /39, 184, 193-195/, acidul cianuric /39, 195, 196/ și esterii săi /28, 45, 50, 197/.

Utilizând metoda HMO, Paolini /184/ recurge la un calcul perturbational în cazul amino-1,3,5-triazinelor. Redăm în tabelul 3.3. cîteva din rezultatele obținute.

TABELUL 3.3.

Parametrii energetici și de distribuție electronică  
pentru amino-1,3,5-triazine :

Compusul :	Energia de rezonanță	Energia transi- ției	$q_C$		$p_{NC}$ (cielu)	
			+	++	+	++
1,3,5-triazină	1,96 $\beta$	2,088 $\beta$	0,759	-	0,649	-
2-amino-	3,04 $\beta$	2,024 $\beta$	0,784	1,254	0,600- 0,433	0,622
2,4-diamino-	4,13 $\beta$	2,122 $\beta$	0,786	1,067	0,608	0,505- 0,510
2,4,6-triamino-	5,20 $\beta$	2,381 $\beta$	-	0,943- 1,003	-	0,519- 0,546

+- atom de carbon fără substituent

++ - atom de carbon legat de gruparea  $NH_2$

Faptul că stabilitatea moleculei crește cu numărul grupărilor este indicat de : creșterea energiei de rezonanță și micșorarea sarcinii pozitive a atomului de carbon, datorită migrării spre nucleu a electronilor neparticipanți ai azotului din gruparea amino.

Deplasarea hipsocromă - (tabelul 2.4.b), ce se observă la creșterea numărului de grupări amino, a putut fi corelată cu reducerea ordinului de legătură  $p_{NC}$ , care reflectă diminuarea conjugării aromatice.

Metodele teoretice de calcul au servit și la prevederea poziției de protonare /24/, la interpretarea spectrului /140, 198/, la studiul echilibrului protolitic și tautomer /21, 28, 39, 49, 50/ al unor amino- și hidroxi-derivați triazinici. A fost studiată din punct de vedere teoretic și 2,4,6-trinitrohexahidro-1,3,5-triazina /169, 199/.

PARTEA II.

CERCETARI FIZICO-CHIMICE ASUPRA UNOR DERIVATI

TRIAZINICI

S-a arătat în partea I-a că A. Ostrogovich și colaboratorii săi au obținut și caracterizat o serie de triazine noi. Ne-am îndreptat atenția asupra cîtorva substanțe mai interesante din acest grup, cu scopul de a îmbogății datele privitoare la structura și comportarea lor fizico-chimică.

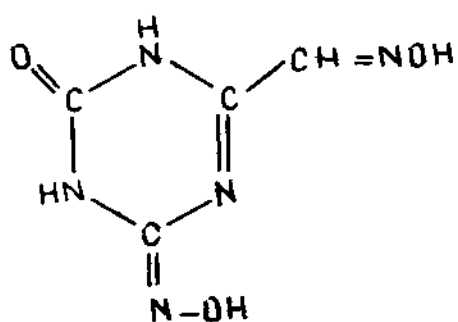
4. STUDIUL BAZICITATII

Derivații triazinici sunt adeseori substanțe amfotere, a căror caracterizare cantitativă necesită cunoașterea constantelor acido-bazice respective. Am căutat deci să determinăm aceste constante la compusii care fac obiectul studiului nostru.

Prima substanță luată în studiu a fost 2-oxo-4-hidroximino-1H, 3H-s-triazinil-6-formaldoxima, pe care o vom numi scurt „dioxina” (VIII).

Ea a fost preparată de A. Ostrogovich și I. Cădariu /203/ care au semnalat și caracterul amfoter al acestei substanțe.

Avind în vedere că acest derivat este greu solubil,



VIII

am ales inițial metoda spectrofotometrică pentru determinarea constantelor de aciditate, considerind că ea va conduce la rezultate mai precise/200/.

Datele obținute au fost incomplete așa cum se va vedea mai tîrziu și de aceea am făcut și de măsurători potențiometrice.

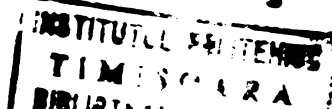
#### 4.1. Studiu potențiometric/201/

Pentru a realiza titrarea potențiometrică s-a alcătuit o pilă avînd ca electrod de referință electrodul de calomel saturat, iar ca electrod indicator electrodul de hidrogen. Forța electromotoare s-a măsurat cu un potențiometru Q.L.K.-Metra.

Soluția de dioximă utilizată la titrare avea concentrația  $1,8436 \cdot 10^{-3}$  M și a fost preparată prin solvirea substanței solide(cintărîtă la microbalanță) în apă bidistilată liberă de bioxid de carbon.

Această soluție a fost titrată cu  $\text{HClO}_4$  0,10295 M și apoi cu o soluție de NaOH 0,1037 M. Ambele soluții s-au preparat prin diluare cu apă bidistilată, liberă de  $\text{CO}_2$ , a acidului  $\text{HClO}_4$  p.a. 70% respectiv a unei soluții saturate de NaOH obținută din substanță p.a.

S-au folosit la titrare 10 ml soluție de dioximă, iar soluțiile titrante au fost adăugate cu microbiuretă (legată de

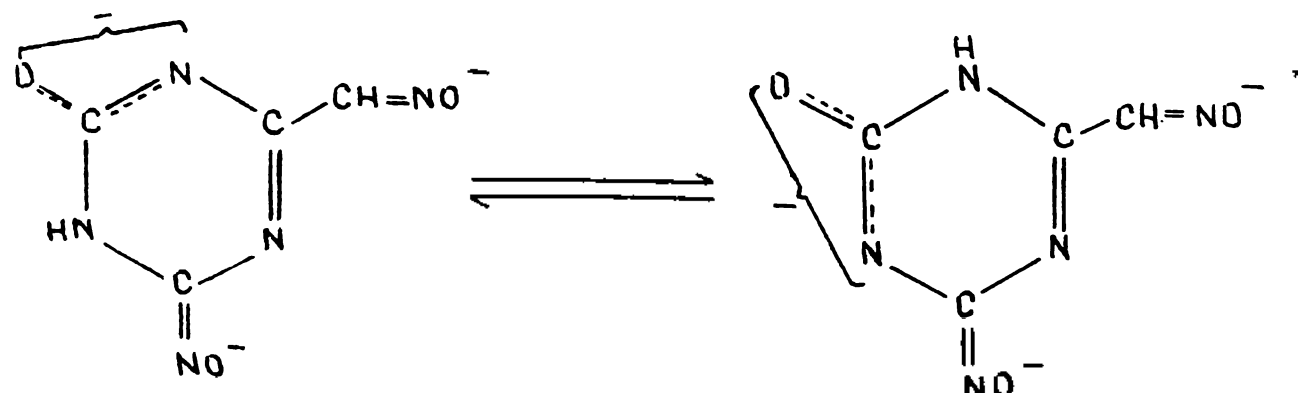


un tub cu calce sedată spre a opri accesul bioxidului de carbon). Temperatura de lucru a fost  $24-24,5^{\circ}\text{C}$ .

Efectuind o titrare cu electrod de sticlă am obținut o curbă de titrare cu alură identică celei cu electrod de hidrogen, deci substanța nu suferă modificări în prezență de  $\text{H}_2$ . S-a verificat acest lucru și direct, barbotind  $\text{H}_2$  în soluție timp de o oră; f.e.m. a rămas aceeași. Am preferat să interpretem rezultatele obținute cu electrodul de hidrogen deoarece se ating pH-uri mai mari și pentru că în cazul măsurătorilor specrale am folosit tot acest electrod.

Din curba de titrare -fig.4.1.- se vede că dioxima protonată are patru trepte de ionizare. Ionizarea primului proton este practic completă și ca urmare prima treaptă de ionizare este distinctă. Celelalte trei trepte de ionizare se suprapun, deci constantele de ionizare succesivă diferă relativ puțin una de alta. Rezultă că în mediu alcalin, la  $\text{pH} < 14$ , pentru dioximă se pun în evidență trei atomi de hidrogen ionizabili, fapt pentru care am notat prescurtat această substanță cu  $\text{DH}_3^-$ .

Structura anionului trivalent este redată de una dintre structurile tautomere:



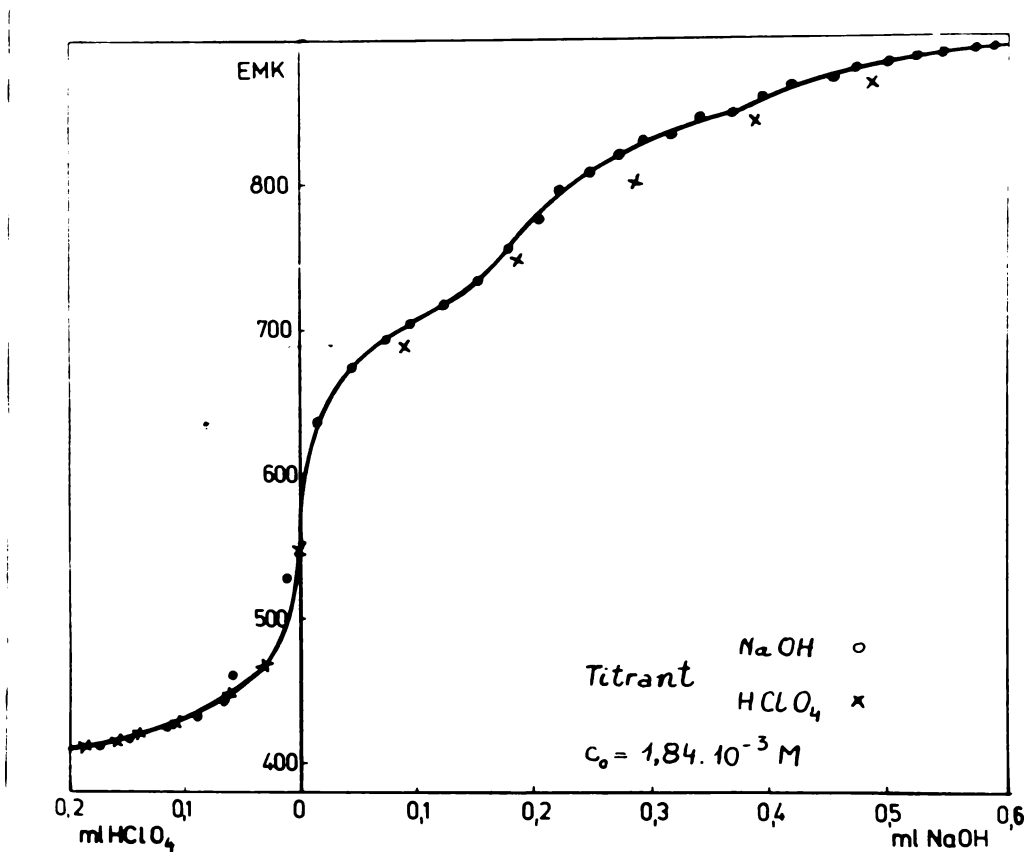


Fig. 41. Variatia f.e.m. in functie de adausul de solutie titrantă

Echilibrele posibile sunt :



Constanta termodinamică  $K_{al}$ , caracteristică primei trepte de ionizare bine definite a fost determinată pe cale spectrală /200/.

Ecuatia curbei de titrare pentru dioxima neutră,  $DH_3^-$ , poate fi dedusă /202/ din ecuația bilanțului de concentrații și cea de electroneutralitate. Notăm titrantul (hidroxidul) cu  $NaOH$ . Deci :

$$c_0 = [DH_3] + [DH_2^-] + [DH^{2-}] + [D^{3-}] \quad (4.5)$$

$$[M^+] + [H^+] = [OH^-] + [DH_2^-] + 2[DH^{2-}] + 3[D^{3-}] \quad (4.6)$$

unde  $c_0$  reprezintă concentrația inițială de acid, iar prin paranteze se notează concentrațiile speciilor la echilibru.

Exprimând concentrațiile prin intermediul constanțelor termodinamice de aciditate  $K_a$  și divizind ecuația 4.6 cu 4.5 se obține relația:

$$\frac{[M^+] + [H^+] - [OH^-]}{c_0} = \frac{\frac{K_{a2}}{a_H f_2} + \frac{2K_{a2}K_{a3}}{a_H^2 f_3} + \frac{3K_{a2}K_{a3}K_{a4}}{a_H^3 f_4}}{1 + \frac{K_{a2}}{a_H f_2} + \frac{K_{a2}K_{a3}}{a_H^2 f_3} + \frac{K_{a2}K_{a3}K_{a4}}{a_H^3 f_4}} \quad (4.7)$$

în care  $f_2$ ,  $f_3$  și  $f_4$  reprezintă factorii de activitate ai speciilor uni-, bi- și trivalente iar  $a_H$ , activitatea protonilor.

Factorii de activitate au fost calculați după o relație de tip Debye-Hückel la forță ionică corespunzătoare punctului de semiechivalentă. Făcem această aproximare deoarece ne situăm în domeniul de concentrații mai mic de 0,01 M (6, cap.I).

Făcind produsul mezilor și al extremilor în ecuația 4.7. și rearanjând termenii se obține ecuația curbei de titrare :

$$\left\{ 3 - \frac{[M^+] + [H^+] - [OH^-]}{c_0} \right\} \frac{K_{a2}K_{a3}K_{a4}}{a_H^3 f_4} + \\ + \left\{ 2 - \frac{[M^+] + [H^+] - [OH^-]}{c_0} \right\} \frac{K_{a2}K_{a3}}{a_H^2 f_3} +$$

$$+ \left\{ 1 - \frac{[M^+] + [H^+] - [OH^-]}{C_0} \right\} \frac{K_{a2}}{a_H r_2} = \\ = \frac{[Y^+] + [H^+] - [OH^-]}{C_0} \quad (4.8)$$

în care notăm

$$h^* = \frac{[Y^+] + [H^+] - [OH^-]}{C_0} \quad (4.9)$$

$$\bar{h} = \frac{[M^+]}{C_0} \quad (4.10)$$

$h^*$  reprezintă numărul protonilor eliberați de acidul polibasic iar  $\bar{h}$  indică numărul mediu de protoni teoretic consumați prin adăugarea de bază. Când concentrațiile ionilor de  $H^+$  și  $OH^-$  sunt mici în comparație cu  $C_0$  sau  $[M^+]$ ,  $h^* = \bar{h}$ .

In mod prescurtat ecuația 4.8. se mai poate scrie :

$$AK_{a2}K_{a3}K_{a4} + BK_{a2}K_{a3}a_H + CK_{a2}a_H^2 = Da_H^3 \quad (4.11)$$

unde

$$A = \left\{ (3-\bar{h})C_0 - [H^+] + [OH^-] \right\} \frac{1}{r_4} = \frac{(3-h^*)}{r_4} \quad (4.12)$$

$$B = \left\{ (2-\bar{h})C_0 - [H^+] + [OH^-] \right\} \frac{1}{r_3} = \frac{(2-h^*)}{r_3} \quad (4.13)$$

$$C = \left\{ (1-\bar{h})C_0 - [H^+] + [OH^-] \right\} \frac{1}{r_2} = \frac{(1-h^*)}{r_2} \quad (4.14)$$

$$D = \bar{h} C_0, \text{ și } [H^+] - [OH^-] = h^* \quad (4.15)$$

Curba de titrare a dioximei neprotoonate, în coordinate  $h^* = f(-\log [H^+])$ , este reprezentată în figura 4.2.

Pentru acizi cu mai mult decât doi atomi de hidrogen ionizabili și pentru aceia cu trei de ionizare suprapuse ecuația 4.11 este foarte greu de rezolvat.

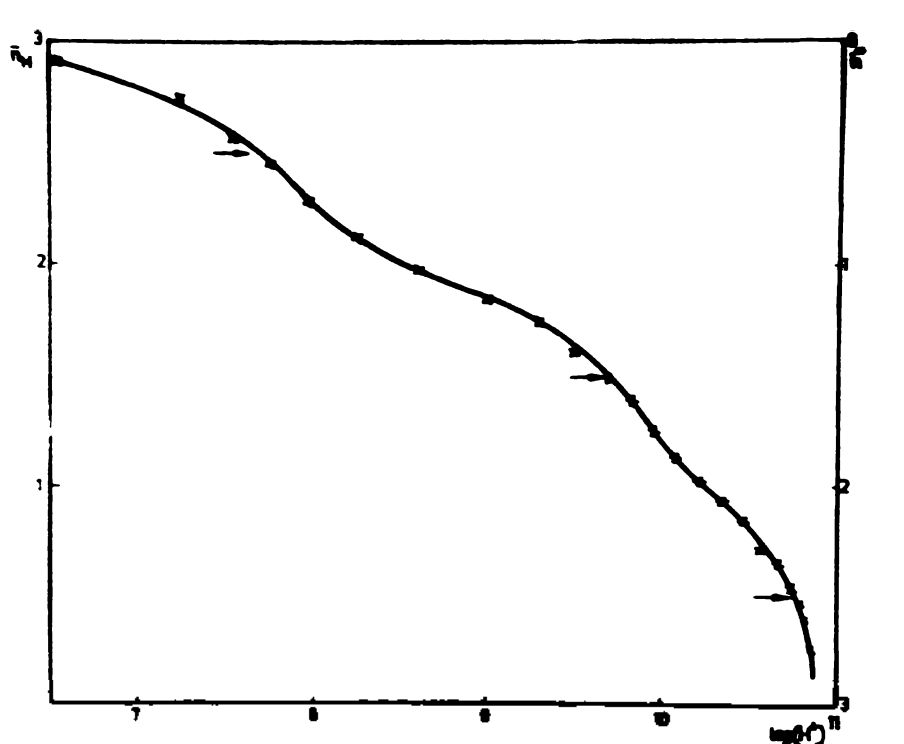


Fig.4.2. Curba de titrare a dioxinei în coordonate  $h^*$ ,  
 $\bar{n}_H$  funcție de  $-\log [H^+]$

Ong /202, pag.227/ calculează, din curba de titrare constantele acidului piridin pentacarboxilic prin aroximări succesive. În mod analog vom proceda și noi.

În tabelul 4.1. sunt trecute datele experimentale și cele calculate, referitoare la curba de titrare a dioxinei.

Din porțiunea finală a curbei de titrare se determină o valoare aproximativă a constantei  $K_{a4}$ . Pentru această porțiune (determinările 21-18) activitățea ionilor de hidrogen este mică și termenii în  $a_H^2$  și  $a_H^3$  sunt neglijabili. Deci ecuația 4.11 devine :

$$K_{a3} K_{a4} + \frac{B}{A} K_{a3} a_H \approx 0 \quad (4.16)$$

De unde

$$K_{a4} \approx - \frac{B}{A} a_H \quad (4.17)$$

TABLEUL 4.1.

DATELE CURRERI DE TITRARE A  $\text{D}\text{H}_3$ 

Nr. crt.	ml NaOH	mV	h	pH	J sec-1	$f_2$	$f_3$	$f_4$	$\frac{B}{A}$	$a_H^2$	$\frac{C}{A}$	$a_H^3$	$\frac{D}{A}$	$\tilde{a}_H$	$-\log [H^+]$
1.	0,016	636	0,090	6,585		1,245.10 <sup>-7</sup>		1,280.10 <sup>-14</sup>		3,093.10 <sup>-22</sup>		2,910	6,557		
2.	0,046	675	0,259	7,282		2,436.10 <sup>-8</sup>		4,520.10 <sup>-16</sup>		7,770.10 <sup>-24</sup>		2,741	7,252		
3.	0,076	692	0,427	7,570		1,199.10 <sup>-8</sup>		9,768.10 <sup>-17</sup>		1,837.10 <sup>-24</sup>		2,573	7,543		
4.	0,096	705	0,540	7,791		7,014.10 <sup>-9</sup>		2,965.10 <sup>-17</sup>		5,310.10 <sup>-25</sup>		2,460	7,763		
5.	0,126	718	0,709	8,012		4,037.10 <sup>-9</sup>		7,320.10 <sup>-18</sup>		1,631.10 <sup>-25</sup>		2,291	7,984		
6.	0,156	734	0,877	8,292		1,980.10 <sup>-9</sup>		9,210.10 <sup>-19</sup>		3,172.10 <sup>-26</sup>		2,124	8,263		
7.	0,181	756	1,018	8,646		7,272.10 <sup>-10</sup>		-2,040.10 <sup>-20</sup>		2,704.10 <sup>-27</sup>		1,984	8,908		
8.	0,206	778	1,159	9,039		2,712.10 <sup>-10</sup>		-3,435.10 <sup>-20</sup>		2,291.10 <sup>-28</sup>		1,847	9,002		
9.	0,226	795	1,271	9,331		1,294.10 <sup>-10</sup>		-1,618.10 <sup>-20</sup>		3,391.10 <sup>-29</sup>		1,742	9,292		
10.	0,251	808	1,412	9,548		6,953.10 <sup>-11</sup>		-9,715.10 <sup>-21</sup>		8,973.10 <sup>-30</sup>		1,609	9,510		
11.	0,276	819	1,552	9,735		3,875.10 <sup>-11</sup>		-5,924.10 <sup>-21</sup>		2,927.10 <sup>-30</sup>		1,480	9,697		
12.	0,296	828	1,665	9,880		2,357.10 <sup>-11</sup>		-3,910.10 <sup>-21</sup>		1,236.10 <sup>-30</sup>		1,380	9,842		
13.	0,321	835	1,806	9,998		1,310.10 <sup>-11</sup>		-2,970.10 <sup>-21</sup>		6,370.10 <sup>-31</sup>		1,264	9,958		
14.	0,346	843	1,946	10,13		5,700.10 <sup>-12</sup>		-2,094.10 <sup>-21</sup>		3,064.10 <sup>-31</sup>		1,134	10,092		

- 37 -

• / •

TABLELUL 4.1. (continuare)

Introducem apoi valoarea lui  $K_{a4}$  în ecuația 4.16 aplicată la porțiunea imediat următoare a curbei de titrare (determinările 17-15) și obținem o primă valoare pentru  $K_{a3}$ . Concentrația  $K_{a3}$  se introduce în ecuația 4.16 scrisă pentru porțiunea finală dar cu considerarea termenului în  $a_H^2$  și se obține o nouă valoare pentru  $K_{a4}$ .

Având valorile aproximative ale constantelor  $K_{a4}$  și  $K_{a3}$  se determină o primă valoare pentru  $K_{a2}$  (determinările 6-4). Se continuă aproximarea pentru calcularea constantelor venind de la sfîrșitul curbei de titrare spre început pînă ce valorile obținute converg. Am constatat că dispersia este mai mică în porțiunile  $\bar{h} : 0,5 - 1$  pentru  $K_{a2}$ ,  $1,5 - 2$  pentru  $K_{a3}$  și  $2,5 - 3$  pentru  $K_{a4}$ .

Datele obținute sunt trecute în tabelul 4.2. Menționăm că valorile cu abatere mare au fost eliminate din medie.

TABELUL 4.2.

**Valorile constantelor termodinamice de aciditate a dioximei**

	$K_{a2}$	$K_{a3}$	$K_{a4}$
Metoda Ong	$1,9 \cdot 10^{-8}$	$1,3 \cdot 10^{-10}$	$1,0 \cdot 10^{-11}$
Metoda Bjerrum	$1,7 \cdot 10^{-8}$	$1,1 \cdot 10^{-10}$	$1,2 \cdot 10^{-11}$
Valoare medie	$1,8 \cdot 10^{-8}$	$1,2 \cdot 10^{-10}$	$1,1 \cdot 10^{-11}$

Efectuind titrarea inversă (titrarea soluției de ion trivalent  $D^{3+}$  cu  $HClO_4$ ) constatăm că punctele nu se suprapun peste cele ale titrării directe, există deci un histerezis datorat probabil transformărilor tautomere ce se desfășoară în mediul alcălin. În consecință constantele ( $K_{a2}$ ,  $K_{a3}$ ,  $K_{a4}$ )

vor fi afectate de o nesiguranță de aproximativ 0,2 - 0,4 unități de  $pK_a$ .

O altă cale de a prezenta curbe de titrare îs ca referință formă complet deprotoonată  $D^{3-}$ , este cazul metodei lui Bjerrum. Aceasta operează cu funcție de formare  $\bar{n}_H$ , care reprezintă numărul mediu al protonilor legați de anionul polibazic

$$\bar{n}_H = \frac{3C_0 - [H^+] + [OH^-] - [M^+]}{C_0} \quad (4.18)$$

Reprezentind  $\bar{n}_H$  în funcție de  $-\log [H^+]$  se obține aceeași curbă de titrare - figura 4.2. - ca și în cazul reprezentării lui  $h^*$  în funcție de  $-\log [H^+]$ . Există numai o deplasare a originii, căci  $\bar{n}_H = 3 - h^*$ .

Punctele de semiechivalență indică niște prime valori aproximative ale concentrațiilor de aciditate, exprimate prin intermediul concentrațiilor și la forță ionică respectivă. Acestea sint :

$$(K_2)_{\bar{n}=0,5} = 2 \cdot 10^{-8} \quad (K_3)_{\bar{n}=1,5} = 2 \cdot 10^{-10} \quad (K_4)_{\bar{n}=2,5} = 1,7 \cdot 10^{-11}$$

Introducind aceste prime valori în expresiile aproximative /22/ ale constanțelor :

$$K_2 = \left( \frac{1}{[H^+]} \right)_{\bar{n}=0,5} \frac{1}{1 + 3K_3[H^+]_{\bar{n}=0,5} + 5K_2K_3[H^+]_{\bar{n}=0,5}^2} \quad (4.19)$$

$$K_3 = \left( \frac{1}{[H^+]} \right)_{\bar{n}=1,5} \frac{1 + \frac{3}{K_2[H^+]_{\bar{n}=1,5}}}{1 + 3K_4[H^+]_{\bar{n}=1,5}} \quad (4.20)$$

$$K_4 = \left( \frac{1}{[H^+]} \right)_{\bar{n}=2,5} \left( 1 + \frac{3}{K_3[H^+]}_{\bar{n}=2,5} + \frac{5}{K_2 K_3 [H^+]}_{\bar{n}=2,5} \right) \quad (4.21)$$

se obține o a doua serie de valori aproximative care se reintroduc în ecuațiile 4.19, 4.20 și 4.21. Se repetă calculul pînă la convergența valorilor obținute; în cazul nostru aceasta se realizează pentru

$$K_2 = 1,9 \cdot 10^{-8} \quad K_3 = 1,5 \cdot 10^{-10} \quad K_4 = 2,2 \cdot 10^{-11}$$

Constantele termodinamice de aciditate se pot calcula acum utilizînd următoarele relații :

$$K_{a2} = K_2 f_2^2 \quad K_{a3} = K_3 f_3 \quad K_{a4} = K_4 \frac{f_2 f_4}{f_3} \quad (4.22)$$

Valorile astfel obținute sunt trecute în tabelul 4.2. și considerăm că sunt în concordanță satisfăcătoare cu cele obținute prin procedeul lui Ong.

#### 4.2. Studiul spectrofometric /200/

Spectrul de absorbție al dioximei este influențat puternic de natura mediului - figure 4.3. Această modificare a curbelor de absorbție pentru soluții care diferează numai prin pH - figurile 4.4. și 4.5. - se atribuit-o dissociatiei acide și deci apariției în soluție a diverselor forme anionice.

Prezența punctelor izosbestice în domeniul acid cit și în cel alcalin este de asemenea o dovadă a existenței simultane în soluție a cîte două forme colorate, în echilibru. Am considerat deci că datele spectrale ne pot servi la determinarea constantelor de dissociere acidă.

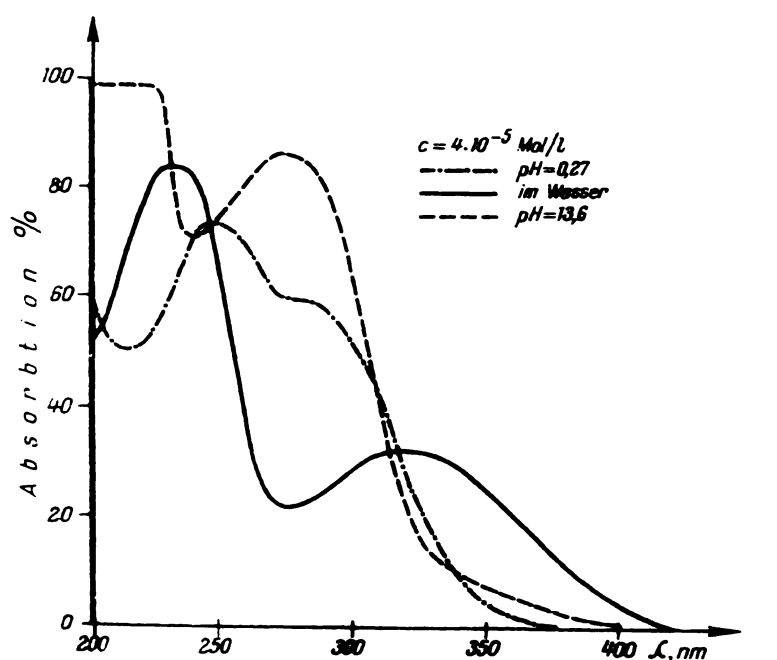


Fig.4.3. Spectrele de absorbtie UV ale dioximei in mediu acid, neutru si alcalin

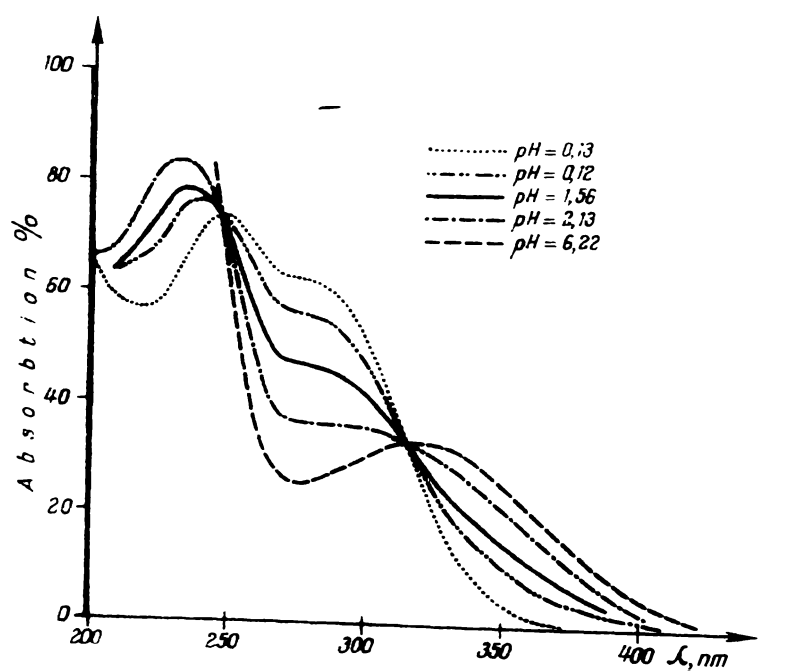


Fig.4.4. Dependenta spectrului de absorbtie al dioximei (mediu acid) de pH.

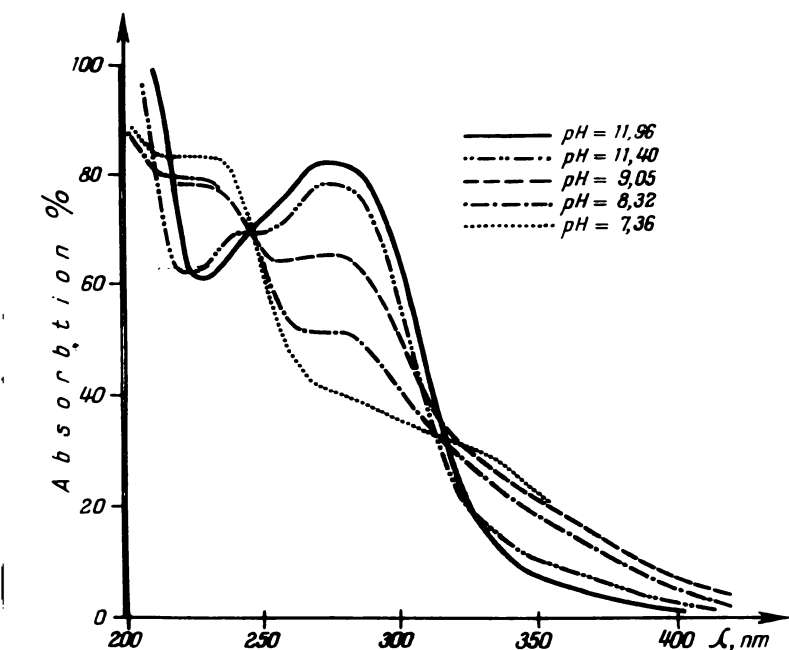


Fig.4.5. Dependența spectrului de absorbție a dioximei (mediu alcalin) de pH.

In acest scop s-a înscris la un spectrofotometru înregistrător Beckman model DB spectrul soluțiilor de dioximă de concentrație  $4 \cdot 10^{-5}$  M, cuve de 1 cm, în mediu acid (pH = 0,27), neutru (în apă) și alcalin (pH = 13,6).

Măsurările de extincție la diferite pH-uri s-au făcut cu un spectrofotometru Zeiss VSU-1 la două lungimi de undă : 280 nm și 350 nm, la temperatură camerei ( $\sim 25^\circ\text{C}$ ), soluții tot  $4 \cdot 10^{-5}$  M și cuve de 2,003 cm grosime. Deoarece s-a constatat că în mediu acid curbe de absorbție se modifică în timp (approximativ după 2 ore), măsurările de extincție s-au făcut imediat după determinarea ce pH.

S-a lucrat cu soluții de forță ionică  $J = 0,3$ , menținută constantă la toate pH-urile prin adăugarea de  $\text{NaClO}_4$ . pH-ul s-a determinat potențiometric folosind drept electrod indicator electrodul de hidrogen.

Din figura 4.6, în care s-a reprezentat extincția în funcție de pH, se decelează trei domenii de pH, care corespund la trei forme de oxigenată a dioximei : forma protonată, forma neutră și formele anionice.

Deoarece inițial am început studiul bazicității pe cale spectrală ne-a surprins nedecelarea a cel puțin doi anioni, cu atât mai mult ca cât A. Ostrogojovich și I. Căderiu au izolat atât o sare mono- cât și disodică /203/.

În prezent cunoscând că valorile constantelor de dissociere sunt propriate ne dăm scame că nu se pot să pune în evidență, prin poliere, etapele de dissociere ale dioximei neutre. Pe de altă parte, la lungimile de undă la care s-a lucrat formele anionice absorb la fel.

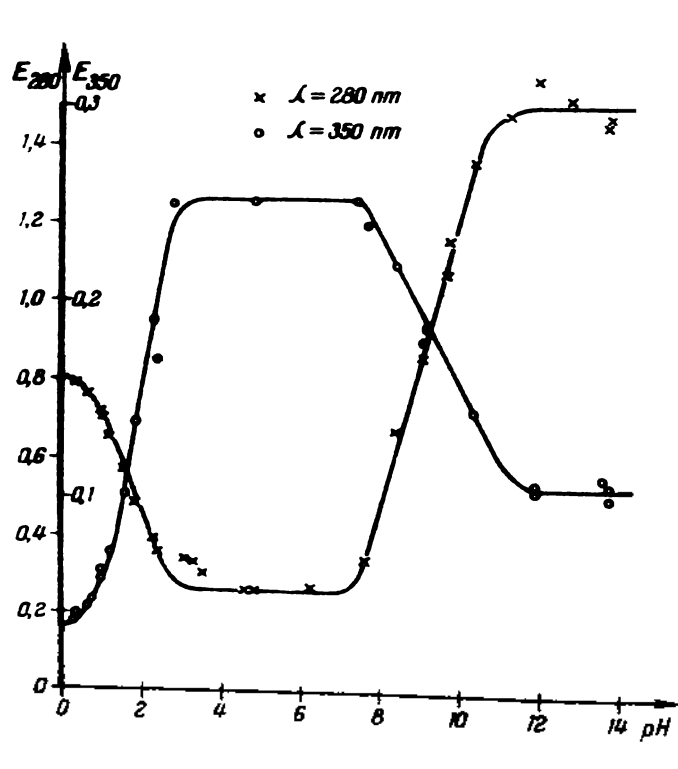


Fig.4.6. Variație extincției soluțiilor de dioximă cu pH-ul

Urmează că metoda spectrofotometrică poate fi utilizată numai pentru determinarea constantei de deprotonare,  $K_{al}$ , asociată echilibrului redat de reacția 1.1. Ea se poate calcula cu ajutorul ecuației :

$$pK_{al} = pH - \log \frac{[DH_3^-]}{[DH_4^+]} + \log f \quad (4.23)$$

în care concentrațiile le-am exprimat prin intermediul gradului de disociere & iar factorul de activitate l-am obținut dintr-o relație de tip Davies decarece s-a lucrat la forță ionică mare. Deci :

$$\frac{[DH_3^-]}{[DH_4^+]} = \frac{d}{1-d} \quad (4.24)$$

iar

$$\log f = - \frac{Az^2 \sqrt{J}}{1 + \sqrt{J}} + 0,1 z^2 J \quad (4.25)$$

Gradul de disociere poate fi determinat din măsurători de extincție. Pentru cele două lungimi de undă se folosesc relațiile :

$$d = \frac{\frac{E}{DH_4^+} - E}{\frac{E}{DH_4^+} - \frac{E}{DH_3^-}} \quad (\lambda = 280 \text{ nm}) \quad (4.26)$$

$$d = \frac{\frac{E}{DH_4^+} - E}{\frac{E}{DH_4^+} - \frac{E}{DH_3^-}} \quad (\lambda = 350 \text{ nm}) \quad (4.27)$$

unde  $E$  - este extincția amestecului de echilibru la un pH dat  
 $E_{DH_4^+}$  - extincția speciei protonate pure considerată de noi ca fiind egală cu valoarea extincției la pH = 0,  $E_{DH_3^-}$  - ex-

tinția dioximei neutre, sau extincția palierului de la pH : 3-7.

Ecuația 4.23 scrisă sub forma de mai jos reprezintă ecuația unei drepte.

$$\log \frac{\alpha}{1-\alpha} = \log K_{al} - \log f - pH \quad (4.28)$$

a cărei pantă indică numărul protonilor rezultați prin disociere, iar ordonata la origine permite calculul constantei termodinamice  $K_{al}$ .

Datele experimentale și cele calculate, necesare pentru prezentările din figura 4.6. și 4.7. sunt trecute în tabelele 4.3 și 4.4. Considerăm că punctele pentru ambele lungimi de undă, se însiră destul de bine pe o dreaptă. Prin metoda celor mai mici pătrate am prelucrat datele corespunzătoare intervalului de pH : 0,3-3 obținând valoarea constantei termodinamice de aciditate și abaterea standard.

Mentionăm că  $pK_{al}$  mai poate fi obținut prin simplă citire fie din graficul 4.6. fie din 4.7, deoarece la semiechivalență este satisfăcută egalitatea

$$\frac{\alpha}{1-\alpha} = 1 = \frac{E_{DH_4^+} + E_{DH_3^-}}{2} \quad (4.29)$$

iar ecuația 4.28 se reduce la forma

$$pK_{al} = - pH_{semiechiv.} + \log f \quad (4.30)$$

O ecuație analogă se poate scrie și pentru treapta următoare de disociere acidă.

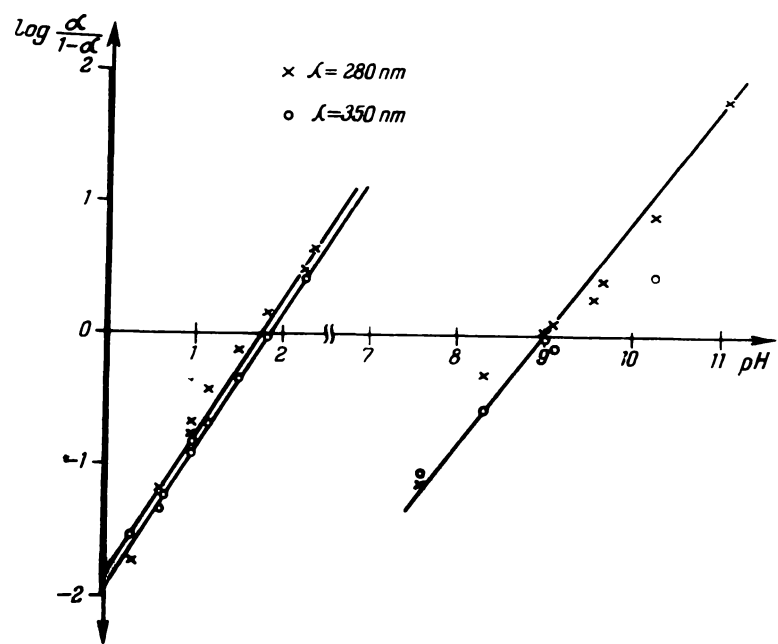


Fig. 4.7. Reprezentarea  $\log \frac{d}{1-d}$  în funcție de pH

TABELUL 4.3.

Date privind curba de titrare spectrofotometrică a dioximei la lungimea de undă  $\lambda = 280 \text{ nm}$

pH	E	d	$\log \frac{d}{1-d}$	pH	E
0,29	0,790	0,018	2,275	6,18	0,270
0,63	0,765	0,065	2,842	7,61	0,343
0,94	0,720	0,148	1,240	8,32	0,675
1,15	0,655	0,268	1,565	9,00	0,860
1,49	0,570	0,426	1,870	9,08	0,945
1,83	0,485	0,583	0,146	9,55	1,07
2,24	0,392	0,755	0,490	9,64	1,16
2,34	0,358	0,819	0,656	10,25	1,36
3,07	0,340	0,852	0,760	11,07	1,48
3,25	0,333	0,865	0,806	11,31	1,57
3,44	0,300	-	-	12,57	1,52
3,88	0,320	-	-	13,50	1,45
4,54	0,262	-	-	13,62	1,47
4,82	0,262	-	-	-	-

TABELUL 4.4.

Date privind curba de titrare spectrofotometrică a dioxinei la lungimea de undă  $\lambda = 350 \text{ nm}$ .

pH	E	$\alpha$	$\log \frac{\alpha}{1-\alpha}$	pH	E
0,26	0,036	-	-	7,36	0,252
0,29	0,040	0,027	2,452	7,61	0,240
0,63	0,043	0,043	2,658	8,32	0,220
0,67	0,046	0,055	2,765	9,00	0,179
0,94	0,058	0,110	1,092	9,10	0,188
1,15	0,072	0,128	1,138	10,25	0,145
1,49	0,101	0,174	1,324	11,80	0,107
1,83	0,139	0,307	1,647	11,81	0,105
2,24	0,191	0,482	1,968	13,50	0,111
2,34	0,171	0,720	0,410	13,62	0,108
4,82	0,252	-	-	-	-

În prezentarea  $E = f(\text{pH})$  - figura 4.6., pH-ul de semiechivalență este egal cu pH-ul la care extincția este semisuma extincțiilor de palier /204/. În cazul nostru se obțin valorile : 1,7 și 9 (pentru  $\lambda = 280 \text{ nm}$ ), ultime conduce însă la un  $\text{pK}_e$  ce reprezintă o mărime compusă din  $\text{pK}_{e2}$ ,  $\text{pK}_{e3}$  și  $\text{pK}_{e4}$ .

Din figura 4.7, se poate căuta de asemenea pH-ul de semiechivalență (punctul în care este intersectată axa absciselor) care introdus în ecuație 4.30 permite calcularea constantei de aciditate.

În tabelul 4.5. sunt trecute rezultatele finele ale calculului după datele reprezentate în figura 4.7.

TABELUL 4.5.

Valoarea constantei de aciditate pentru forma protonată a dioxinei

$\lambda_{\text{nm}}$	$\log f$	Panta	Ordonata $\equiv \text{pK}_{e1}$	$\text{pH}_{\text{semiechiv.}}$	$\text{pK}_{e1}$
280	-0,15	1,08	1,67	1,68	1,53
350		1,03	1,70	1,89	1,65

$$\bar{\sigma} K_{e1} = 1,6 \pm 0,2$$

Reptul că în domeniul de pH = 7-11 se manifestă mai multe specii ionice este cauza dispersării punctelor din reprezentarea liniară - figura 4.7. Pe de altă parte prelucrarea datelor conduce la o valoare a pantei de 0,8 în loc de 1; or această abatere nu poate fi pusă pe seama erorilor experimentale.

Deoarece pentru intervalul de pH mai sus menționat nu putem vorbi de o treaptă unică de disociere, deci de un grad de disociere bine definit am omis din tabelele 4.3. și 4.4. această mărime (deși inițial am operat cu ea - figura 4.7.).

Din studiul bazicității dioximei reiese că specia protonată este un acid puternic pe cătă vreme cea neutră este un acid polibasic slab. Valorile găsite pentru constantele de ionizare se încadrează printre cele ale compușilor heterocyclici cu grupări hidroxi și aldoximice - tabelul 4.6.

#### TABELUL 4.6.

Constantele de aciditate ale unor derivați aromatici cu funcțiuni bazice și acide

Compound	pK <sub>a1</sub>	pK <sub>a2</sub>	Solvent °C	Bibl.
2-hidroxi-piridine	0,75	11,62	.	5
2-formaldoxim-piridină	3,63	10,14		205, 206
2-hidroxi-pirimidina	2,24	9,17 6,73	20 °C	207
2,4-dihidroxi-1,3,5-triazina		{(pK <sub>a3</sub> ) ≈ 12,2}	H <sub>2</sub> O	20,22
Panol	-	9,77		-
Benzaldoxima	-	10,75		205

Trebuie avut înșă în vedere că la creșterea numărului de atomi de azot din ciclu aciditățea formei protonate a heterociclului crește (acea cum s-a arătat în partea I, pag. 5) și că existența mai multor grupări acide în moleculă influențează manifestarea fiecăreia din ele.

S-a constatat că în sistemele aromaticice derivate hidroxi sănt mai acizi decât aldoximele cu 1-2 unități de  $pK_{a_1}$  /205/, deși gruparea OH în oxime este legată de un atom mai electronegativ. Aceasta indică o conjugare mai puternică a electronilor neparticipanți de la oxigenul fenolic decât a celor de la oxigenul oximic.

Dacă această observație este valabilă și pentru sistemul nostru înseamnă că  $pK_{a_2}$  ar caracteriza aciditatea grupării amidice,  $pK_{a_3}$  să ar putea asocia cu gruparea oximică legată direct de nucleu iar  $pK_{a_4}$  cu cea formaldoximică.

Am încercat să determinăm constantele de aciditate și pentru alți compuși triazinici, solubilitatea foarte redusă a acestora a împiedicat însă obținerea unor date interpretabile cu metodele obișnuite.

Concluzii. Studiul bazicității dioximei indică pentru aceasta existența unei funcții slab bazice și a trei funcții acide. Acestea din urmă sănt și ele slabe fapt pentru care în curba de titrare nu se manifestă trepte de dissociere perfecte distincte.

- La trecerea din mediu neutru spre cel alcalin au loc transformări teutomere care aduc un histerezis în curba de titrare și o eroare în determinarea constantei de aciditate.

- Din punct de vedere spectral se manifestă în mod individual numai cationul, molecula neutră și trianionul.

Ceilalți anioni par să absorbi la lungimi de undă apropiate.

- Pentru alți derivați, cu solubilitate foarte scăzută în apă, trebuie să căutăm metode mai particulare în vederea determinării bazicității.

### 5. STUDIUL SPECTRELOR IR /208/

Compusii triezinici sintetizați de A. Ostrogovich și colaboratorii /203/ sunt în majoritatea cazurilor amino și hidroxi derivați. S-a arătat că aceste substanțe se pot prezenta în mai multe forme teutomere.

Analizând proprietățile chimice ale compușilor obținuți autorii au indicat și structurile probabile. Dintre aceste unele sunt în acord cu datele actuale din literatură, alttele vor trebui revizuite.

În vederea obținerii de noi informații privind strucțura și proprietățile acestor compuși ne-am propus un studiu al spectrelor IR.

Studiile de IR ale N-heterociclicilor cu grupări hidroxil în pozițiile  $\alpha$  și  $\beta$  au condus la concluzie că în stare solidă, în soluție apăsă neutră și în unii solventi ( $\text{CHCl}_3, \text{CCl}_4$ ) aceștia se găsesc în forme amidică /42, 209 a/. Amino derivații analogi, în același condiții, se prezintă în forma amidinică /30, 209 b/.

În cazul particular al derivaților triezinici concluziile de mai sus au fost confirmate (cap. 1.4. pag. 11).

Dispunând de aceste informații din literatură am analizat spectrele IR a 25 derivați triezinici – tabelul 5.1. După cum se poate observa printre aceștia se găsesc și compuși cu grupări oximice. Se știe că spectrele de IR pot da unele in-

TABELUL 5.1.

Compuși triazinici a căror spectre IR au fost analizate

Nr crt	Compusul și denumirea	Nr crt	Compusul și denumirea	Nr crt	Compusul și denumirea
1.*		7.*		15.	DH <sub>3</sub> ·HCl·C <sub>2</sub> H <sub>5</sub> OH·1/2 H <sub>2</sub> O
2.*	 Acetoguanidă	8.*		16.	DH <sub>3</sub> ·2 CH <sub>3</sub> COOH
3.*		9.*		17.	
4.*	 sare cu C <sub>6</sub> H <sub>5</sub> -N(CH <sub>3</sub> ) <sub>2</sub> -NH <sub>2</sub>	10.*		18.	DHNa <sub>2</sub>
5.*		11.		19.	
6.*		12.*		20.	ADH <sub>3</sub> ·3/2 HCl
		13.		21.	DH <sub>3</sub> ·C <sub>6</sub> H <sub>5</sub> -NNHNH <sub>2</sub>
		14.		22.*	
				23.	
				24.	
				25.	

\* Structuri propuse de noi

diceții cu privire la izomeria geometrică a acestora, aspect ce era de interes și pentru noi.

Spectrele IR au fost înregistrate cu spectrofotometre UNICAM SP 200 G sau UR-10 și UR-20, Carl-Zeiss Jena, folosind tehnica pastiliării în KBr.

Din păcate domeniile de interes (3600-2500; 1700-1500  $\text{cm}^{-1}$ ) pentru stabilirea structurii sunt comune vibrațiilor mai multor grupări. De aceea interpretarea spectrelor este îngreuiată iar concluziile nu au toate un caracter definitiv necesitând să fie verificate și prin studiul altor proprietăți.

În capitolul de față vom discuta spectrele IR /210, 6 cap. 10/ numai pentru cîteva compuși mai reprezentativi. Spectrele celorlalți derivați nu relevă aspecte noi și am considerat că nu este indispensabil să fie prezentate.

S-a arătat în capitolul 2.1. că ciclul triezinic se manifestă în spectru prin benzi caracteristice. Ele sunt modificate de către substituenți.

Compușii studiați de noi sunt derivați cu nucleu de dihidro- sau tetrahidro- 1,3,5- triezină. În spectrul tuturor se manifestă vibrațiile nucleului - tabelele 5.2., 5.3 și 5.4. Acestea se situează între 1580-1510, 1480-1420 și 810-750  $\text{cm}^{-1}$ , în acord cu datele din literatură (tabelul 2.1.).

Reînăscător la vibrațiile substituentilor am socotit că nu prezintă interes analiza vibrațiilor datorate grupărilor alchilice și silice, deci ele nu vor fi trecute în tabele.

- Derivați hidroxiliți. Această manifestă în spectru absorbiții caracteristice grupării amidice (legături C=O, C-N și NH), adică bands "amidă I" (1730-1650  $\text{cm}^{-1}$ ), "amidă II" (1550-1475  $\text{cm}^{-1}$ ), "amidă III" (1250-1200  $\text{cm}^{-1}$ ) și vibrație  $\nu_{\text{NH}}$  - tabelul 5.2. și 5.3.

In spectrul compusului 1 (tabelul 5.1) prezenta se două benzi "amidă I" - figure 5.1 - indică un lanț  $-CO-NH-CO-$  deci structură dilactamică /211/ și nu monolactamică cum s-a considerat anterior /212/.

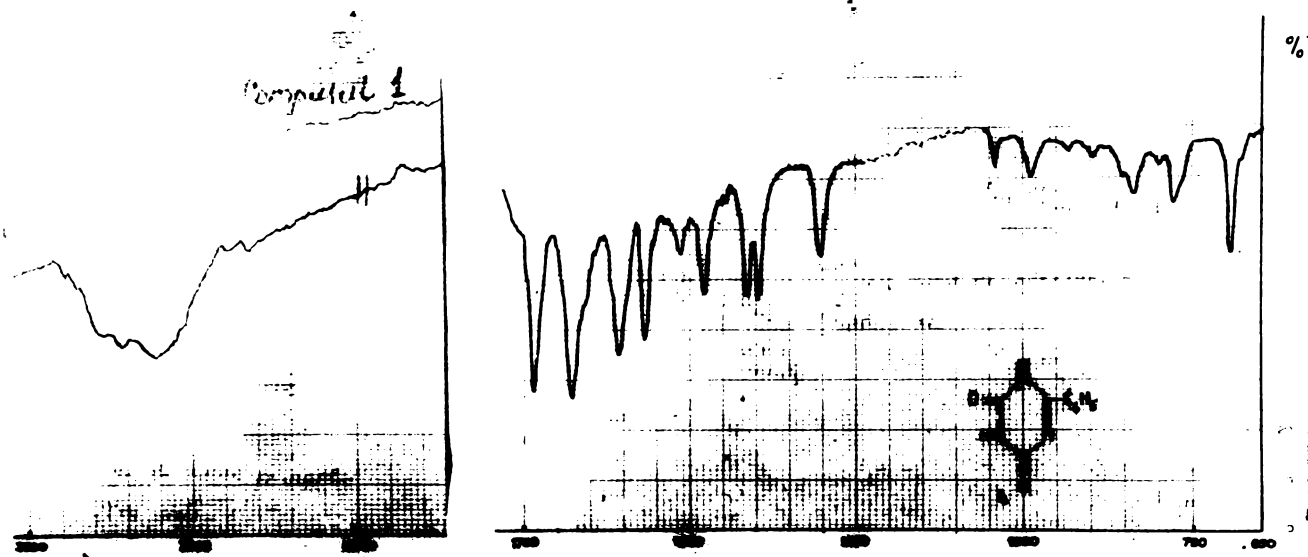
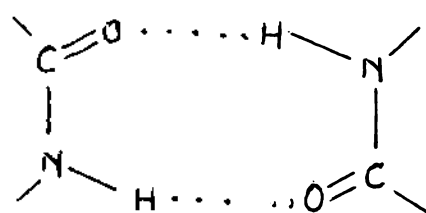


Fig.5.1. Spectrul IR al 2-fenil-4,6-dioxo-tetrahidro-1,3,5-triazinei.

Vibrările  $\nu_{NH}$  amidic sunt în acord cu datele din literatură /210/ referitoare la amidele secundare cheklise care formează asociatii de tipul :



- Derivați hidroxi-amino. In spectrul acestor derivați se găsesc absorbiile caracteristice amidelor, deci o structură lactam (structura V). Pentru cel de al doilea sis-

TABELUL 5.2.

Absorbțiile în IR ( $\text{cm}^{-1}$ ) și atribuirea lor

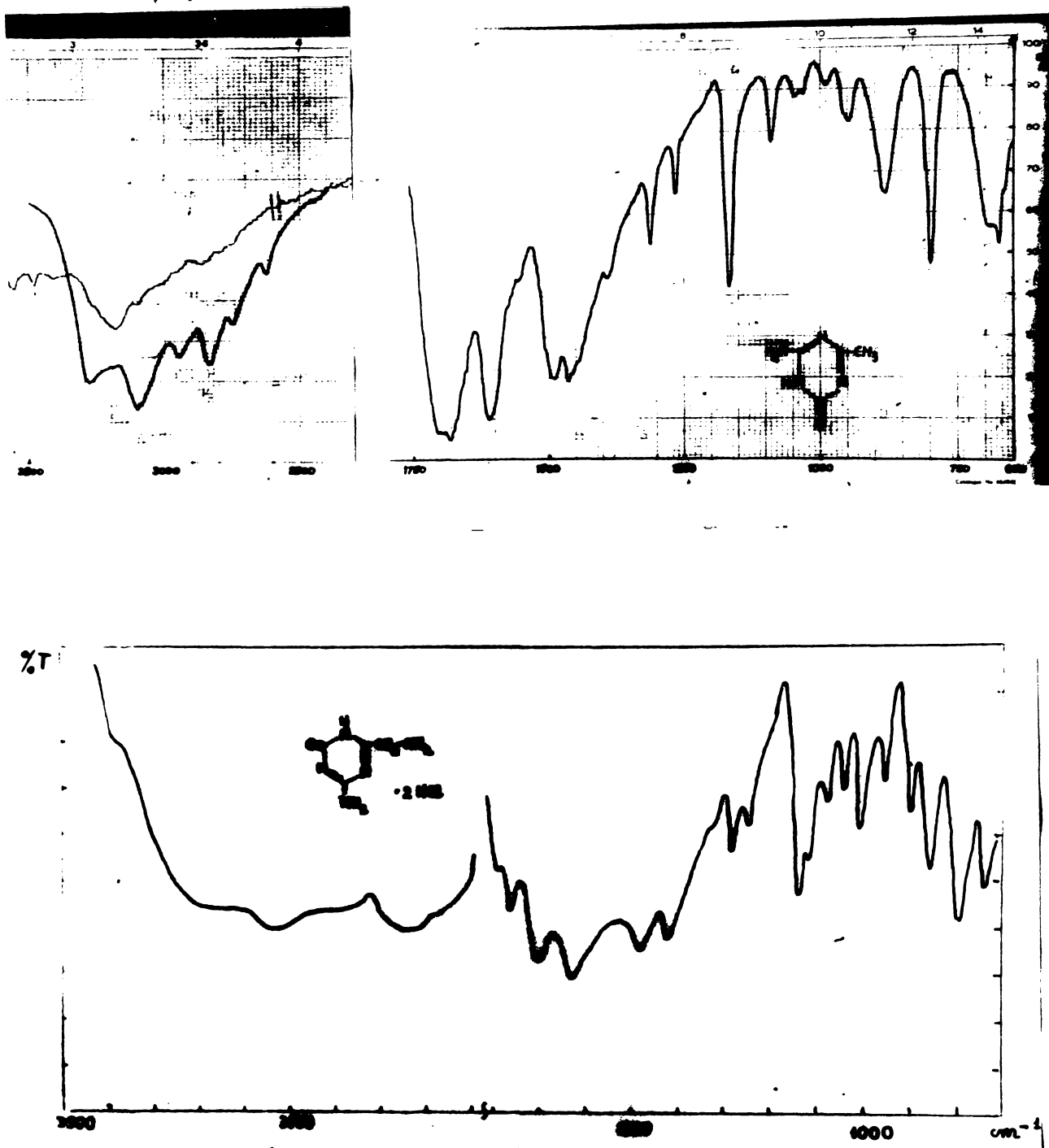
C O M P U S U L				Atribuire
1	2	7	9	
		3540 s		$\nu\text{OH(epă)}$
	3280 fl 3100 fl	3390 m 3285 m		$\nu\text{NH}_2$
3170 i 3070 i		3080 m	3195 i	$\nu\text{NH}$
1735 fl 1680 fl	1720-1660 fl (largă)	1750 i ? 1660-1600 fl	3060 m 1650 fl 1635 fl	amidic $\nu\text{CO, amidic}$
	- " -	- " -		$\delta\text{NH}_2$
1570 fl 1515 fl	1610 fl 1490 fl	1570 fl 1510 i	1550 fl	$\nu\text{ciclul}$ "amidă II" sau $\delta\text{CH}_3$
1410 i	1460 fl 1312 m	1440 m 1310 i	1425 i 1370 fl	$\nu\text{ciclul}$ $\nu\text{C-N}$ (C-NH <sub>2</sub> )
1300 m	1270 m 1170 i 1090 s		1270 i 1240 m	"amidă III" rocking $\text{NH}_2$
770 s	795 m 710-670 m	1100 s 790 s	795 m	$\delta\text{ciclul}$ $\delta\text{NH}_2$

fi = foarte intensă, i = intensă, m = moderată, s = slabă

? = atribuire nesigură

tem din moleculă capabil și el de a se prezenta în două forme tautomere, s-a crezut că este prezent în forma iminică (compusul 2-tabelul 5.1).

Analiza spectrelor IR a acestor derivații indică în toate cazurile prezenta grupării NH<sub>2</sub> prin benzi în domeniile 3400-3200 ( $\nu\text{NH}_2$ ), 1700-1600 ( $\delta\text{NH}_2$ ), 1340-1250 ( $\nu\text{C-N}$ ) și 900-650 ( $\delta\text{NH}_2$ )  $\text{cm}^{-1}$  - figure 5.2. și tabelul 5.2.



**Fig.5.2.** Spectrele IR ale unor hidroxi-amino derivati triazinici

Se observă că vibrațiile  $\delta \text{NH}_2$  se situează la frecvențe mai mici decât cele obișnuite pentru aminele primare. Această cădere de frecvență a fost observată de Short și Thompson /213/ și la amino-pirimidine; autorii consideră că se poate face参aciparea structurilor polare și formării legăturilor de hidrogen.

Absorbția produsă de vibrația  $\nu_{\text{NH}_2}$  scoperă deseori pe cee datorată lui  $\nu_{\text{NH}}$  amidic. De aceea în amino-hidroxi derivați nu am putut constata formarea asocierelor de tip dimer, deși este posibil, ca ele să existe.

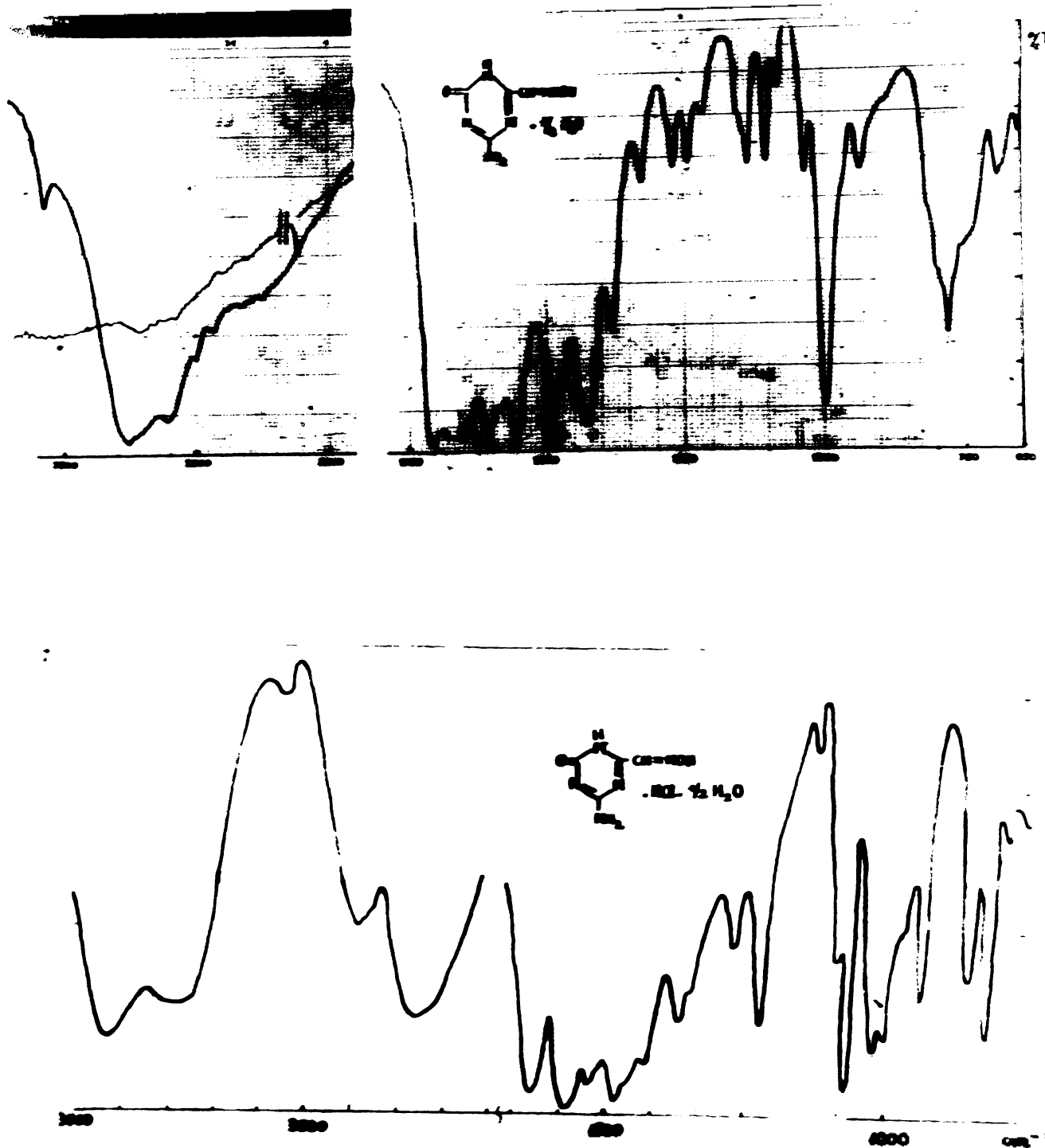
Banda vibrațiilor de deformare  $\delta_{\text{NH}_2}$  se suprapune de obicei pe cea "amidă I", în acești derivați mici (compușii 2 și 7, tabelul 5.1), obținindu-se o singură bandă largă - figure 5.2.

O dovedă în plus a faptului că amino derivații studiați se găsesc în forma amidinică este prezența a două benzi "amidă I" și două benzi "amidă III" - tabelul 5.2. - în spectrul substanței 9 (tabelul 5.1). O pereche de benzi I - III se dătoresc amidei ciclice iar cealaltă amidei din gruparea substituită. Aceste două perechi de benzi apar și în spectrul compusului 6.

Pentru a vedea care este poziția de protonare într-un derivat hidroxi-amino am înregistrat și spectrul unui clorhidrat (compusul 3) - figura 5.2. Cercetările lui nu ne-a furnizat însă suficiente date structurale. Ni se pare probabil ca absorbția de la  $3040 \text{ cm}^{-1}$  să fie cauzată de vibrația  $\nu_{\text{NH}_3^+}$  iar banda largă cu maximul la  $2740 \text{ cm}^{-1}$  vibrației  $\nu_{\text{NH}^+}$  [210].

- Monoxime și derivații ei. De că în locul grupării metil din compusul 2 se substituie gruparea formaldoximică obținindu-se monoxime (compusul 10 - tabelul 5.1) în spectrul IR - figura 5.3. - constatăm o creștere a numărului de benzi.

Este de interes pentru noi să încercăm să obține informații în legătură cu izomeria geometrică a derivaților oximici. Vibrația de alungire  $\nu_{\text{OH}}$  din piridin-2-formaldoxi-



**Fig.5.3.** Spectrul IR al monoximei și clorhidratului ei  
mă s-a fost corelată cu formele izomere ale acesteia  
/214, 215/. În spectrul formei sin, cu gruparea OH din formal-  
doximă legată prin punte de hidrogen de azotul ciclului, se gă-  
sesc în intervalul  $2900\text{--}2500\text{ cm}^{-1}$  mai multe picuri. Pentru unele  
oxime, în forme sin, și în domeniul vibrăției  $\nu\text{ N=O}$  s-a semna-  
lat o absorbtie complexă cu mai multe maxime /216/.

În spectrul monoximed - figura 5.3 și tabelul 5.3 -

| găsim aceste  
absorbții complexe, deci este probabil că ea se prezintă în  
forme sin.

TABELUL 5.3.

Frecvențe caracteristice ( $\text{cm}^{-1}$ ) și atribuirea lor

Compusul			Atribuiri
10	13 (B)	19	
3570 m	3550 i	3595 s } 3495 m }	$\nu \text{OH}$ (spaț)
3260 fi } 3110 fi }		3320 i } 3235 i }	$\nu \text{NH}_2$
- " -	3270-3150 fi	3100 i	$\nu \text{NH}$ amidic
3000-2500* i	3000-2600 fi	3000-2600 m	$\nu \text{OH}$ asociat
1720 fi	1720 fi	1720 fi	"amidă I"
1660 fi		1680 fi	$\delta \text{NH}_2$
1610 fi	1630 fi	1650 fi	$\nu \text{C=N}$ (oxime)
1550 fi	1510 i	1570 fi	$\nu$ ciclu
1490 fi	1485 i	1470 i	"amidă II : sau ( $\delta \text{OH} + \delta \text{CH}$ )
1425 fi	1420 fi	1430 fi	$\nu$ ciclu
1382 i }	1360 i }	1375 i }	$\delta \text{OH}$
1325 m ?	1300 i }	1320 i }	
1270 m			"amidă III"
120 m			rocking
1135 m		1180 m	$\text{NH}_2$
1100 m		1115 m	
	1060 fi }	1055 fi }	$\nu \text{N-O}$ (cetoxină)
	1020 i }	1040 fi }	
1030 m }	970 i }	980 fi }	$\nu \text{N-O}$ (aldoxină)
1000 fi }	954 fi }	930 i }	
933 m }	910 m }	785 fi	$\delta$ ciclu
780 i	740 fi		$\delta \text{NH}_2$
820-720 i	.		

\* - maxime cu intensitate în scădere ;

Vibratia de alungire  $\nu C = H$  se situeaza in jurul valorii  $1650 \text{ cm}^{-1}$ . Tot aici apar vibratiile  $\delta NH$  si  $\nu C=O$  fapt pentru care in spectrul multor substante se inregistreaza benzi foarte largi, deseori cu mai multe maxime. După indicațiile lui Sadler /216/ în spectrul formaldoximelor mai apare o bandă, situată la  $\sim 1500 \text{ cm}^{-1}$ , care ar fi rezultatul unui cuplaj  $\delta OH$  cu  $\delta CH$ . Această absorbție nu o putem identifica cu siguranță deoarece la compusii noștri se suprapune peste banda "amidă II".

In domeniul  $1400-1300 \text{ cm}^{-1}$  am constatat o absorbție datorată vibratiei de deformare  $\delta OH$ , iar între  $1050 - 950 \text{ cm}^{-1}$  apare absorbția, cu 3 maxime, atribuită vibratiei  $\nu N-O$ .

Absorbțiile caracteristice grupării amidice și a celei  $NH_2$  se manifestă ca și în compusii discutăți anterior.

Dacă la monoximă s-a obținut și un clorhidrat (compusul 11) al cărui spectru l-am înregistrat - figura 5.3. Comparând spectrul bazei cu cel al clorhidratului constatăm absența absorbției complexe dintre  $3000-2500 \text{ cm}^{-1}$  și apariția unei benzi foarte largi și proeminente la  $2760 \text{ cm}^{-1}$  pe care noi am atribuit-o vibratiei  $\nu NH^+$ . Dacă admitem că protonarea se face la atomul de azot al ciclului din vecinătatea dublei legături, ca și în cazul piridin-aldoximelor /205/, apare în ciclu gruparea de cation tertiar  $=NH^+-$ ; formarea acestuia înălțură posibilitatea stabilirii legăturilor de hidrogen între N ciclului și OH-ul din gruparea formaldoximică. Ca urmare absorbția caracteristică OH-ului oximic (în legătură cheletică) dispare.

Benzile ce apar între  $3450-3200 \text{ cm}^{-1}$  ar putea fi atribuite vibratiei OH într-o asociere de alt tip decât cel precedent. Tot în acest domeniu s-ar situa și benzile  $\nu NH_2$ , deplasate față de poziția lor din spectrul monoximei. Probabil vecinătatea

grupării cationice influențează vibrațiile  $\nu$  NH<sub>2</sub>.

Așa cum este de așteptat, ca urmare a substituției, în spectrul derivatului fenilhidrazone (compusul 12) absorbțiile caracteristice legăturii OH și N-O lipsesc.

- Dioxime și derivații ei. În cazul dioximei (compusul 13) datorită prezenței a două grupări oximice crește numărul benzilor caracteristice legăturilor O-H și N-O - figura 5.4. și tabelul 5.3.

Nu am putut determina care sunt benzile produse de vibrația  $\nu$  OH din amidoximă. Este foarte probabil că și această grupare să stabilească legături de hidrogen; despre natura cărora nu putem da informații deoarece frecvența  $\nu$  OH se suprapune peste cele ale grupării formaldoximice sau  $\nu$  NH ciclu.

După indicațiile din literatură /216, 217/ se pare că putem atribui benzile dintre 1100-1000 cm<sup>-1</sup> vibrațiilor  $\nu$  N-O cetoximice iar cele dintre 1000 - 900 cm<sup>-1</sup> vibrațiilor analoge din gruparea formaldoximică.

Ni se pare interesant faptul că spectrul compusului fenilhidrazonei și dioximei (compusul 22) prezintă în domeniul  $\nu$  N-O numai absorbțiile grupării formaldoximice. Ele se situează exact la aceleasi valori ca și în spectrul dioximei. După cum s-a arătat mai sus în spectrul derivatului analog al monoximei (compusul 12) aceste vibrații lipseau. Rezultă deci că reacția cu fenilhidraza se petrece la gruparea amidoximică și nu la cea aldoximică cum s-a considerat anterior /203/.

În saree de fenilhidrazină și dioximei (compusul 21), benzile datorate vibrațiilor  $\nu$  N-O, indică interacțiune cu grupării formaldoximică.

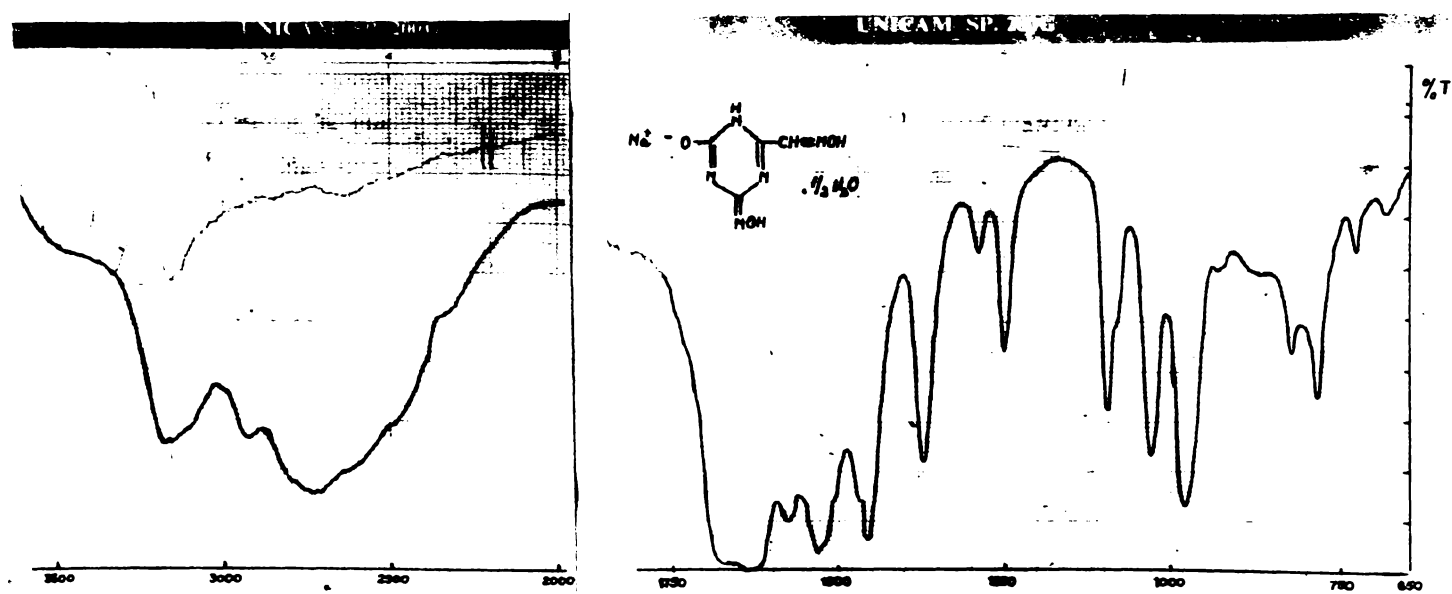
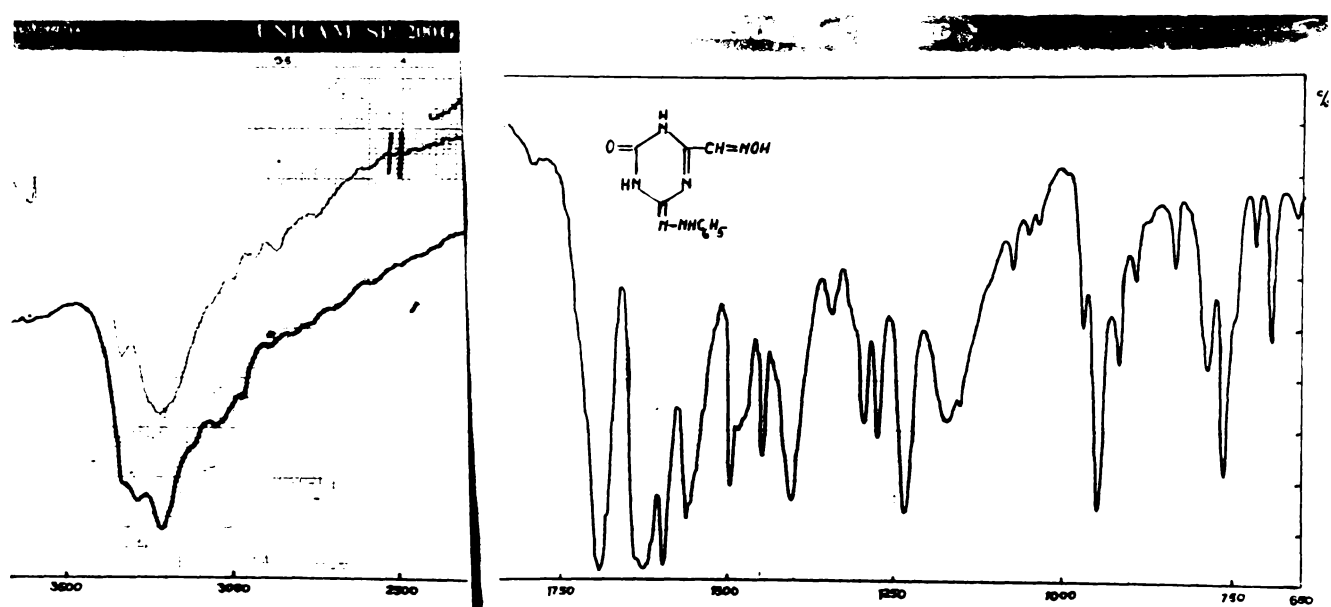
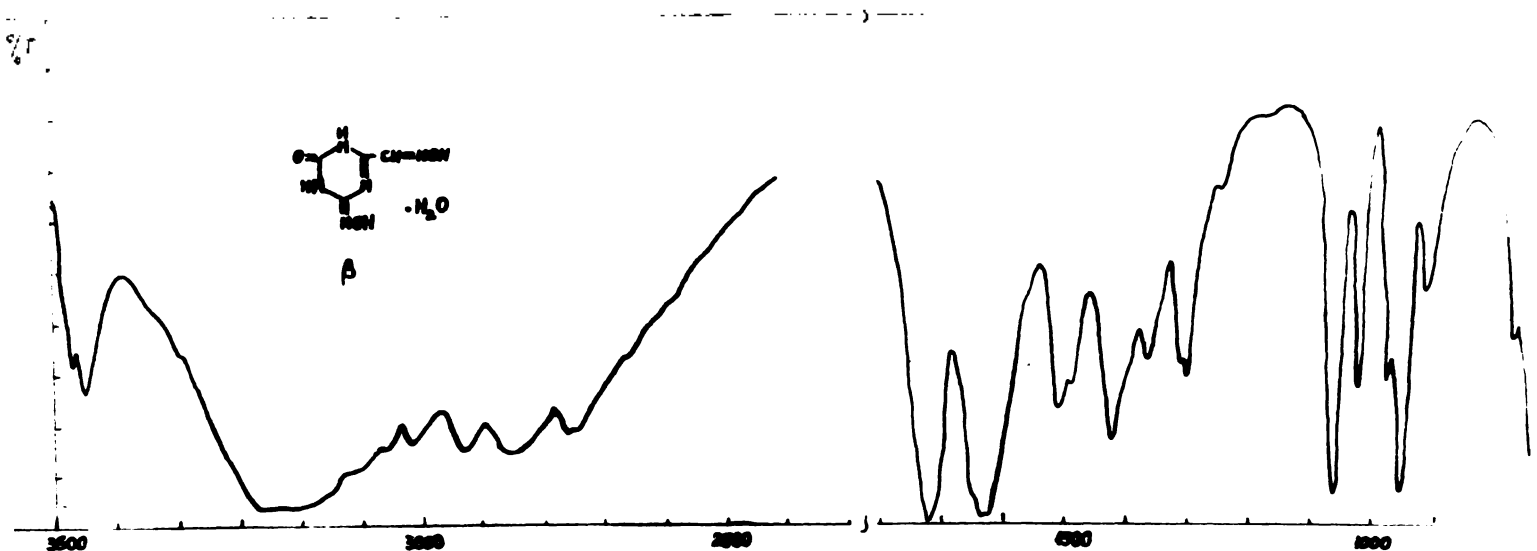


Fig.5.4. Spectrele IR ale dioximei, derivatului fenilhidrazonnic și sării de sodiu a dioximei.

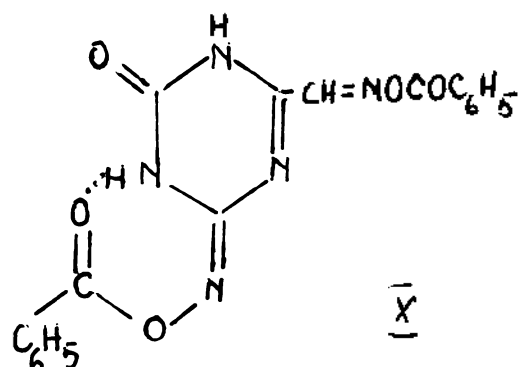
TABELUL 5.4.

Frecvențe caracteristice ( $\text{cm}^{-1}$ ) și atribuirile lor

	Compusul	Atribuirile	
	14	20	17
3355 i	3580 s ? 3490 m ? 3320 i 3260 i	3500(u) m	$\delta$ OH (spațiu)
3240 $\sim$ 3100 i 3000-2500 f1	3200 i 3000-2500 i	3200-3130 i 2980-2600 f1	$\delta$ NH <sub>2</sub> $\nu$ NH amidic $\delta$ OH (asociat)
2830 f1	2830 i		$\delta$ NH <sup>+</sup> (cation terțiar)
1760 f1	1710 f1		"amidă I"
1690 f1	1680 f1		$\nu$ C=NH <sup>+</sup>
1655 f1	1655 f1		$\delta$ NH <sub>2</sub>
1610 f1	1635 f1	1610-1690 f1	$\nu$ C=N (oxime)
1550 f1	1600 f1 1570 i		$\delta$ NH <sup>+</sup>
1510(u) i	1545 i 1510 m	1545 f1	$\nu$ ciclu "amidă II" sau $\delta$ OH + $\delta$ CH
1385 i 1350 i	1425 i 1380 m 1360(u) m	1475 f1 1380 i 1300 s	$\nu$ ciclu $\delta$ OH (oxime)
1275 i, 1260 i	1220 s ?	1305 m	$\nu$ C-N
1140 i ?	1120 m ?		"amidă III"
1065 f1 1015 i	1035 m 1010 s	1100 i 1040 i	$\nu$ C-O
980 i 935 i	980 m 925 m	987 f1 937 s	$\nu$ H-O
773 f1	780 m	790 i	$\nu$ ciclu
845 f1 ?		825 m ?	

u-umăr

Cu privire la derivatul dibenzoilic al dioximei (compusul 23) menționăm în capitolul că la  $3390 \text{ cm}^{-1}$  apare în spectru o absorbție intensă despre natura căreia deocamdată nu putem spune ceva sigur. S-ar putea că ea să se dețină și cu amidele legate prin puncte de hidrogen cu gruparea benzoilică de la amidoximă (X).



După cum s-a arătat în capitolul 4, dioxima protonată are patru funcții protolitice. Cantitativ tăria acestora am determinat-o prin constantele termodynamice de aciditate. În stare solidă s-a obținut un clorhidrat, saree mono- și disodică. Am considerat că studiul spectrelor IR ale acestor ne va putea da indicații despre structura cationului și anionilor dioximei.

Deglăzând clorhidratul dioximei (compusul 14) nu este prea stabil (el hidrolizează) i-am înregistrat spectrul - tabelul 5.4. - urmând să verificăm concluziile la care ne va conduce studiul absorbțiilor.

Comparând spectrul bazei (figura 5.4.) cu cel al clorhidratului - figura 5.5. constatăm că benzile  $\nu \text{OH}$  (oxime) sunt mai intense iar la  $2830 \text{ cm}^{-1}$  apare un maxim pe care noi l-am atribuit vârstei  $\nu \text{NH}^+$  (ciclu). Ca și în cazul clorhidratului monoximei prin adiția protonului la atomul de azot din ciclu

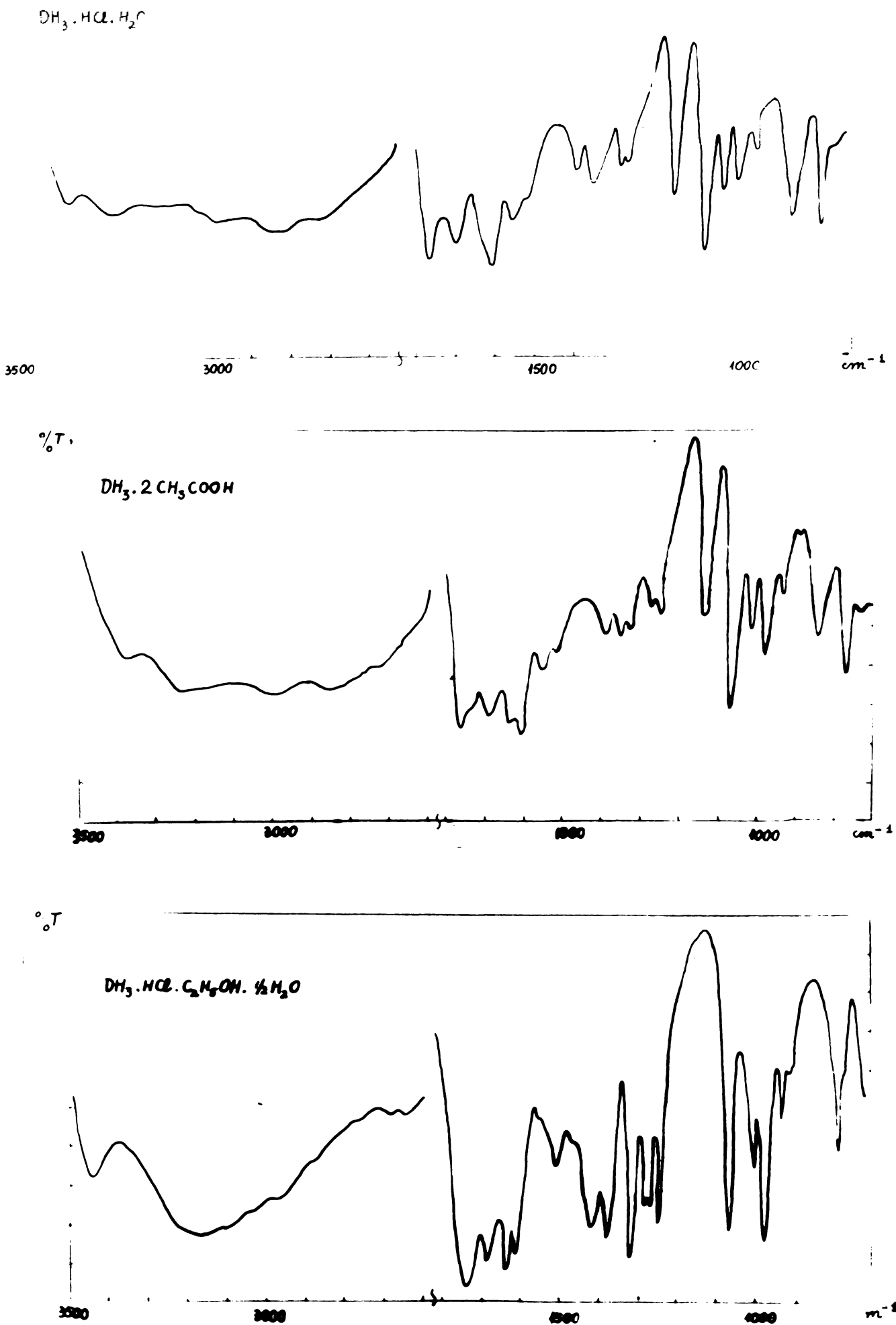


Fig.3.5. Spectrele IR ale clorurilor diclorinei

este împiedecă formarea chelatului. Acestui fapt i se datoră probabil și modificarea absorbției produsă de vibrația legăturii N-O din gruparea formaldoximică.

Este aproape sigur că și în cation, gruparea formaldoximică stabilește punți de hidrogen dar de altă natură.

Alternativa ca protonul să se fixeze la oxigen (process urmat de deplasarea sarcinii la atomul de azot al ciclului) este cum se presupune că protonează 2-hidroxipiridina /218/ ni se pare exclusă în cazul dioximei, datorită prezenței benzii de la  $1770\text{ cm}^{-1}$  caracteristică grupării amide. În favoarea unei structuri lactimice ar pleda dubletul situat la  $1270$ ,  $1260\text{ cm}^{-1}$  (care nu apare în spectrul bazei) atribuit vibrației  $\nu\text{ C=O}$ . Ne-a rămas nelămurită și originea absorbției de la  $1140\text{ cm}^{-1}$ .

Am înregistrat pentru completarea informațiilor spectrul clorhidratului (din alcool) și a dicetatului (compusele 15 și 16). În ambele spectre am găsit banda "amidă I" și dubletul situat între  $1300-1250\text{ cm}^{-1}$ . Absorbția intensă de la  $1140\text{ cm}^{-1}$  o regăsim numai în spectrul dicetatului - figura 5.5.

În domeniul  $3000-2500\text{ cm}^{-1}$  spre deosebire de absorbție cu mai multe maxime de intensitate identică pe care o întâlnim la clorhidratul din apă și la dicetat, în spectrul clorhidratului din alcool absorbția este fără maxime proeminentă și în descreștere continuă, semănătoare celei din monoximă.

Se pare deci că structura clorhidratului (din apă) și a dicetatului este semănătoare.

Am considerat necesar să verificăm datele obținute prin analiza spectrului dat de un clorhidrat stabil (compusul

20). Regăsim și aici absorbție mai pronunțată de la  $2830\text{ cm}^{-1}$  despre care am presupus că dovedește protonarea la atomul de N din ciclu. Deoarece clorhidratul are  $\frac{3}{2}\text{ HCl}$  se protonează și gruparea  $\text{NH}_2$  fapt ce se evidențiază prin benzile din intervalul  $1600-1500\text{ cm}^{-1}$  ( $\delta\text{ NH}_2^+$ ). Menținerea absorbțiilor  $\nu\text{ NH}_2$  și  $\delta\text{ NH}_2$  la valori puțin modificate față de cele din bază -tabelul 5.4. - sugerează o structură dimeră pentru clorhidrat sau o fixare alternativă a protonului la moleculele din rețea. Ne-a rămas și în acest caz nelămurită apartenența benzilor de la  $3580$  și  $3480\text{ cm}^{-1}$ .

Studiul spectrului IR al sării monosodicice a dioximei (compusul 17) conduce la concluzia că în anionul  $\text{DH}_2^-$  sarcina este concentrată la oxigenul amidic. Numai așa ne putem explica absența benzii  $\nu\text{ C=O}$  și apariția unei benzi la  $1250\text{ cm}^{-1}$  (inexistență în spectrul dioximei), atribuită de noi vibrației de valență  $\nu\text{ C=O}$  - figura 5.4. și tabelul 5.4. Intensificarea benzilor  $\nu\text{ OH}$  oximice și deplasarea celor  $\nu\text{ N=O}$  credem că se datorează acemenea schimbării structurii ciclului cu care grupările oximice se conjugă.

Faptul că sare monosodică are o culoare galbenă, mai intensă decât a dioximei, ar sprijini concluzia de mai sus, deoarece această schimbare se poate explica prin extinderea cromoforului (ca urmare a ionizării apare încă o dublă legătură în ciclu).

Sarea disodică a dioximei nu s-a obținut în stare pură (se carbonatasează ușor) deci datele spectrale pe care ni le oferă nu sunt sigure. Cu toate acestea reținem faptul că în spectru nu apare benză  $\nu\text{ C=O}$  dar apare absorbție de la  $1260\text{ cm}^{-1}$  datată probabil vibrației  $\nu\text{ C=O}$ .

Studiul formelor cristaline. Deoarece de la mai mulți derivații oximici s-au obținut două sau trei forme cristaline, în funcție de condițiile de lucru, ne-e interesat cum se vor manifesta acestea în spectrul IR.

Dioxima se prezintă în trei forme cristaline (notele  $\alpha$ ,  $\beta$ ,  $\gamma$ ) emidoxima și monoxima în două ( $\alpha$ ,  $\beta$ ).

Am constatat că spectrul  $\beta$  dioximei este puțin modificat înță de spectrul formei  $\alpha$ . Se pare că numai legăturile de hidrogen ce se formează sunt diferite în cazul celor două specii, de aceea se modifică absorbțiile în domeniile în care se manifestă grupările implicate în aceste legături - tabelul 5.5. și figure 5.6.

TABELUL 5.5.

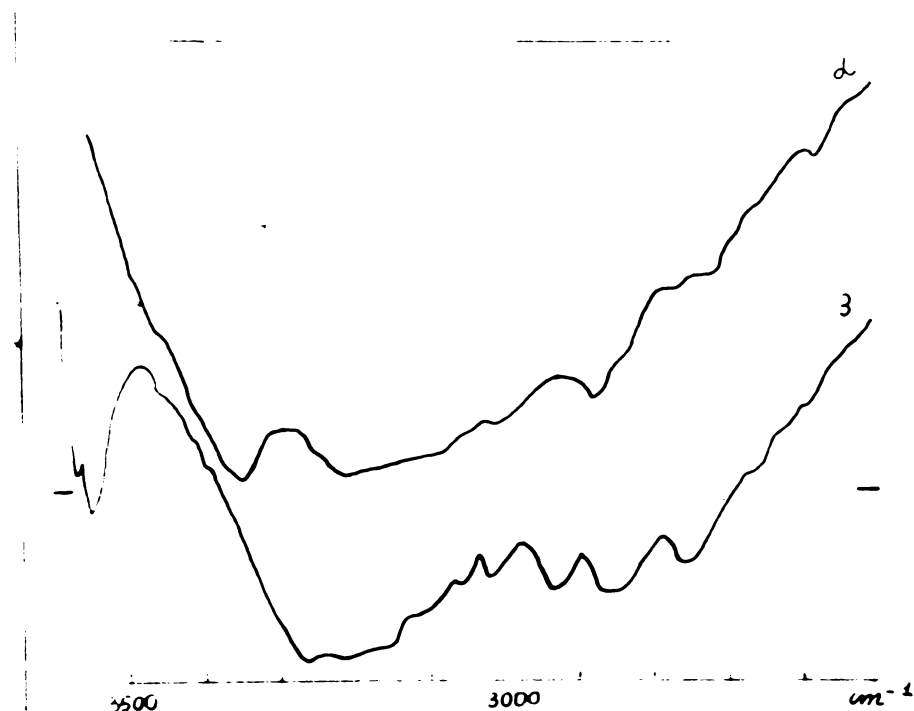
Cîteva frecvențe caracteristice din spectrul  $\alpha$  și  $\beta$  dioximei

$\text{OH}_3$ (forme)	Frecvențe de vibrație. ( $\text{cm}^{-1}$ )				
	$\nu \text{OH}$ ( $\text{H}_2\text{O}$ )	$\nu \text{OH}$ (oxime)	$\nu$ ciclu	$\delta \text{OH}$ (oxime)	
$\alpha$	3350 f1	3100-2600*	1490 1410 770	1350 1290	
$\beta$	3550 i	3100-2700**	1510 1420 740	1360 1300	

\* - Maxime cu intensitate în creștere  
\*\* - Maxime cu intensitate identică

În acord cu această presupunere ar fi și răspunsul că formele cristaline manifestă solubilități diferite.

După cum se observă din tabelele 5.2, 5.3, 5.4 și 5.5. chiar și apa de cristalizare se poate lega probabil în diverse moduri. Legăturile mai slabe fac ca vibrația  $\nu \text{OH}$



**Fig.5.6. Spectrul IR al dioximelor (forma  $\alpha$  și  $\beta$ ) în domeniul  $2500 - 3600 \text{ cm}^{-1}$**

din apă să se manifeste în intervalul  $3600-3500 \text{ cm}^{-1}$  cele mai puternice deplasări această vibrație între  $3500-3400 \text{ cm}^{-1}$ . G. Ostrogovich și colaboratorii săi consideră că ultima absorbție se datorează speciei ce stabilește legături de hidrogen cu gruparea C=O /219/.

In cazul  $\alpha$  și  $\beta$  monoximei nu constatăm nici o deosebire a spectrelor IR.

- Concluzii. Studiul spectrelor IR al unor derivați triazinici (tabelul 5.1) ne-a furnizat o serie de informații structurale. Deși unele din ele nu sunt sigure credem util să le menționăm :

- Derivații hidroxilici, se găsesc, în stare solidă, în forme lactam. Gruparea amidică stabilește diferite tipuri

de legături de hidrogen; cu grupări amidice dintr-o altă moleculă (în compuși fără apă de cristalizare) sau cu moleculele de apă (în cazul substanțelor hidratate).

- Amino-derivații se prezintă în forma amidinică având gruparea  $\text{NH}_2$  implicată în legături de hidrogen.

- Compuși având în moleculă gruparea formaldoximică se găsesc în forme săi și formează chelați, prin punți de hidrogen între szotul ciclului și gruparea OH oximică.

În cazul dioximei, probabil că cea de a doua grupare oximică (amidoxică) stabilește legături intermoleculare.

- Protonarea monoximei și dioximei se pare că are loc la atomul de szot al ciclului.

- Sărurile de sodiu a dioximei au anioni în care sarcina negativă este predominant concentrată la oxigenul amidic.

- Formele cristaline ale derivaților au structură identică, deci sunt izomeri cristalini, unori angajați în diverse feluri de legături de hidrogen.

- Prin studiul spectrului IR am putut indica gruparea oximică (din dioximă) care reacționează pentru a da derivatul fenilhidrazone.

## 6. STUDII SPECTRALE ÎN VIZIBIL SI UV /200, 201/

Ne-am oprit atenția asupra spectrelor de vizibil și UV a compușilor cu scopul de a completa sau verifica unele concluzii privitoare la structura moleculară a acestora. Pe de altă parte era de interes să cunoaștem comportarea spectrală a unor din derivații înainte de a studia pe cea a complexilor pe care li dă cu metalele.

Spectrele spectrale le vom utiliza și pentru corela-

rea cu cele ce le vom obține prin metoda MO.

Din cauza echilibrelor ionice la care participă compușii studiați, spectrele se modifică în funcție de natura mediului. Multă dintre ei nu sunt solubili în apă, în soluție apoi căci și ană său bazică substanțele se solvă însă datorită formării de săruri cu acizii respectiv cu bazele.

Dispunem de măsurători cantitative numai în cazul dioximei, pentru alți compuși datele - tabelul 6.1. - sunt numai orientative.

TABELUL 6.1.

Maximele de absorbție în UV ale unor triazine

Compușul nr (tab. 5.1)	Mediu	$\lambda_{max}$ • nm	Compușul nr	Mediu	$\lambda_{max}$ • nm
2	a	245	23	$C_2H_5OH$	310
	b	247			< 200
10	a	400	24	$H_2O$	248(u)
	b	350			275 < 210
19	$H_2O$	280	25	$H_2O$	220
20	$H_2O$	280			215
21	$H_2O$	330			230
22	$C_2H_5OH$	370			242
	a	405			255
	b	340			290
					230

(u) - maxim de absorbție cu număr

Mediu      a- acid  
              b- alcalin

În soluție apoi că neutră toți compușii prezintă în spectru două benzi de absorbție. Alura spectrului dioximei, ceea ce care o vom discuta în detaliu, este dată în figura 4.3, ea se schimbă după cum se schimbă în funcție de pH. Având în vedere mărimile constantelor de aciditate considerăm că spectre-

le înregistrate corespund celor trei specii moleculare : cation, moleculă neutră și trianion. Caracteristicile acestor spectre sunt trecute în tabelul 6.2.

TABELUL 6.2.

Benzile de absorbție în UV ale dioximei protonate, neutre și anion

pH	Specia moleculară	Banda I	Banda II	Banda III	
		$\lambda_{\text{max}} (\text{nm})$	$\epsilon$	$\lambda_{\text{max}}$	$\epsilon$
0,27	DH <sub>4</sub> <sup>+</sup>	- -	245 umăr ? 280	14,6.10 <sup>3</sup> 9,9.10 <sup>3</sup>	- -
ln H <sub>2</sub> O DH <sub>3</sub>		- -	230	19,9.10 <sup>3</sup>	320 4,2.10 <sup>3</sup>
13,6	D <sup>3-</sup>	< 220 f. puternică	273	21,3.10 <sup>3</sup>	- -

Presupunem că banda II se datorește unei tranzitii  $\text{I} \rightarrow \text{I}^*$ , având în vedere criteriile de clasificare ale tranzitiei /79/, adică intensitatea mare și menținerea poziției benzilor și în mediu acid.

Constatăm o depășire batocromă a benzii la protonare cît și la ionizarea grupărilor acide. O depășire similară este observată la ionizarea benzaldoximei /220/ cît și la protonarea și ionizarea piridin-2-formaldoximei /206/.

Referitor la banda III, menționăm că în spectrul soluției apoase a piridin-2- și -4-aldoximei există o bandă de intensitate foarte scăzută la  $\sim 360$  nm. Banda a fost atribuită de Mason /205/ formei de ion dublu existentă în mică proporție în echilibru cu forma normală. În cazul nostru însă banda de la 320 nm are o intensitate destul de mare, deci probabil că este de altă natură.

Din curbele de titrare spectrofotométrice înregis-

trate la două lungimi de undă, altele decât cele corespunzătoare maximelor, am încercat să determinăm coeficienții molari de extincție pentru toate speciile moleculare (încărcate sau neutre).

Pentru cation, molecule neutră și trianion coeficienții se pot calcula din extincția valierelor curbelor  $E = f(\text{pH})$  - figura 4.6., având în vedere că soluțiile au concentrația  $4 \cdot 10^{-5} \text{ M}$  și s-a lucrat cu cuva de grosime 2,003 cm. Valorile numerice sunt trecute în tabelul 6.3.

TABELUL 6.3.

**Coefficientii molari de extincție a diverselor forme  
de dioximă**

$\lambda, \text{ nm}$	$\text{DH}_4^+$	$\text{DH}_3^-$	$\text{D}^{3-}$
	$\varepsilon_1 (\text{l.mol}^{-1} \cdot \text{cm})$	$\varepsilon$	$\varepsilon_4$
280	10.000	3250	18.750
350	2.120	3150	1.340

Extincția de la  $\text{pH} > 7$  se compune aditiv conform ecuației :

$$E = d \left\{ [\text{DH}_3^-] \varepsilon + [\text{DH}_2^-] \varepsilon_2 + [\text{DH}^{2-}] \varepsilon_3 + [\text{D}^{3-}] \varepsilon_4 \right\} \quad (6.1)$$

sau, exprimând concentrațiile prin intermediul constantelor  $K_2, K_3, K_4$  la forță ionică dată, cu ajutorul relațiilor (4.22), se obține :

$$\frac{E}{d} = [\text{DH}_3^-] \left\{ \varepsilon + \frac{K_2}{[\text{H}^+]} \varepsilon_2 + \frac{K_2 K_3}{[\text{H}^+]^2} \varepsilon_3 + \frac{K_2 K_3 K_4}{[\text{H}^+]^3} \varepsilon_4 \right\} \quad (6.2.)$$

Această ecuație divizată prin ecuația de bilanț a concentrațiilor 4.5 și rearanjată conduce la o relație liniară de forma :

$$\frac{E}{dc_0} \left\{ [H^+]^2 + K_2[H^+] + K_2K_3 + \frac{K_2K_3K_4}{[H^+]} \right\} - E[H^+]^2 - \frac{K_2K_3K_4 \varepsilon_4}{[H^+]} = K_2 \varepsilon_2[H^+] + K_2K_3 \varepsilon_3$$

(6.3)

în care d = rezistență grosimea cuvei iar  $c_0$  concentrația inițială de dioximă.

Constantele de aciditate la forță ionică  $J = 0,3$  sint :

$$K_2 = 3,57 \cdot 10^{-8} \quad K_3 = 4,72 \cdot 10^{-10} \quad K_4 = 8,57 \cdot 10^{-11}$$

Cu aceste valori, cu cele ale coeficienților de extincție – tabelul 6.3. și cu extincțiile trecute în tabelul 6.4. se poate calcula membrul prim al ecuației. Vom nota cu F această funcție, care depinde liniar de  $[H^+]$ . Datele corespunzătoare celor două lungimi de undă sunt trecute în tabelul 6.4.

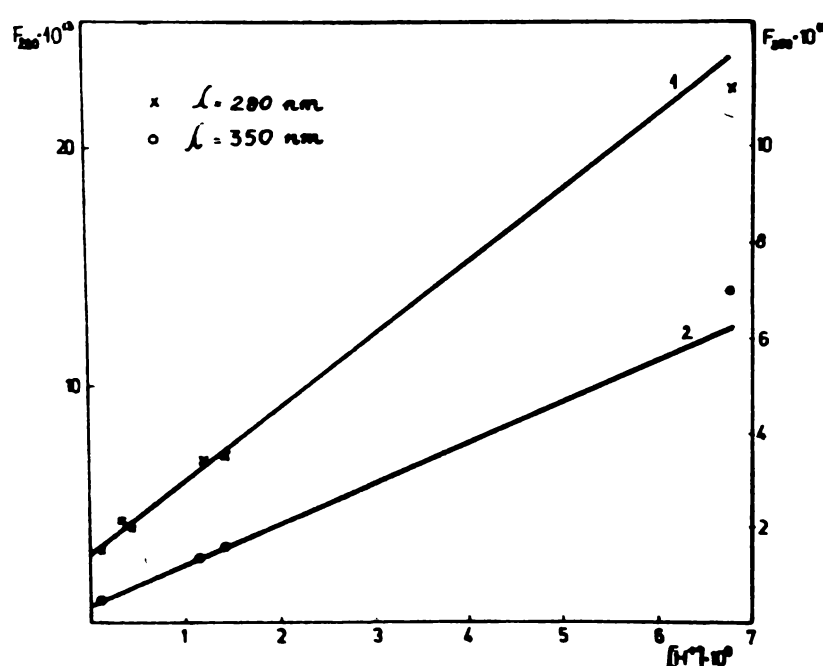


Fig. 6.1. Reprezentarea F în funcție de  $[H^+]$ .

- 75 -

TABELUL 6.4.  
Datele privind calculul curbelor de titrare spectrofotometrică

pH	$[H^+]$	$\lambda = 280 \text{ nm}$			$\lambda = 350 \text{ nm}$		
		$F \cdot 10^{-13}$	$E_{\text{exp.}}$	$E_{\text{calc.}}$	$F \cdot 10^{-13}$	$E_{\text{exp.}}$	$E_{\text{calc.}}$
8,32	$6,75 \cdot 10^9$	22,4	(0,630)	0,666	6,9	0,220	0,206
9,00	1,41.	7,2	0,860	0,847	1,6	(0,192)	0,192
9,08	1,17	6,9	0,945	0,879	-	-	-
9,10	1,12	-	-	-	1,3	0,188	0,189
9,55	$3,97 \cdot 10^{-10}$	4,0	1,07	1,08	-	-	-
9,64	3,23	4,3	1,16	1,13	-	-	-
10,25	$5,62 \cdot 10^{-11}$	3,0	1,36	1,37	0,4	0,145	0,140
(11,00)	1,41	-	-	-	(0,118)	0,137	0,137
11,07	1,20	2,9	1,48	1,48	-	-	-
(12,00)	$1,41 \cdot 10^{-12}$	-	(1,50)	1,50	(0,107)	0,116	0,116
(13,00)	$1,41 \cdot 10^{-13}$	-	(1,50)	1,50	(0,107)	0,110	0,110

Valourile din paranteze sunt cizite de pe curba de titrare - figure 4.6.

Dreptele obținute prin reprezentarea grafică  $F = f[H^+]$  - figura 6.1. - dă pentru pantele și ordonatele la origine valorile indicate în tabelul 6.5. Din acestea s-au calculat apoi cei doi coeficienți de extincție:  $\epsilon_2$  (pentru monoanion) respectiv  $\epsilon_3$  (pentru dianion).

TABELUL 6.5.

Parametrii dreptelor (fig. 6.1.) și coeficienții

molari de extincție ai mono- și di-anionului

dioximei

$\lambda, \text{nm}$	$K_2 K_3 \epsilon_3$	$K_2 \epsilon_2$	$\epsilon_2$	$\epsilon_3$
280	$2,8 \cdot 10^{-13}$	$3,1 \cdot 10^{-4}$	$8,7 \cdot 10^3$	$1,7 \cdot 10^4$
350	$0,3 \cdot 10^{-13}$	$0,9 \cdot 10^{-4}$	$2,5 \cdot 10^3$	$2,0 \cdot 10^3$

Comparind valorile coeficienților de extincție ale anionilor - tabelele 6.3 și 6.5 - constatăm că ele cresc sau descresc, în funcție de lungimea de undă, concomitent cu gradul de ionizare.

Deoarece în reprezentările  $F = f[H^+]$  am dispus de puține puncte și pentru că unele dintre aceste puncte se abat semnificativ de la linia dreaptă, ne-am propus să verificăm valorile obținute recalculând punctele curbei de titrare spectrofotometrică (adică extincția) - tabelul 6.4. Deși o porțiunea de salt a curbei (panta mare) există unele valori ce par să fi mult diferite de cele experimentale, considerăm că acestea sunt multumitor regăsite prin calcul. Existenta valierului la pH-uri mai mari de 12 este de asemenea confirmată.

## 7. INTERPRETAREA PROPRIETATILOR UNOR DERIVATI TRIAZINICI PRIN METODA MO

Cercetările referitoare la bazicitatea și comportarea spectrală a derivațiilor triazinici au lăsat nelămurite o serie de probleme cum ar fi : poziția de protonare a moleculelor, stabilitatea tautomerilor și unele aspecte ale relației structură-spectru. Am considerat că vom putea primi unele informații teoretice referitoare la aceste chestiuni apelând la metoda MO (aproximația Hückel).

Ne având posibilitatea de a efectua calcule pentru mai mulți derivati, ne-am dorit atenția asupra a doi din cei mai studiați de autorii clujeni : acetoguanida și dioxima (compusii 2 și 13 din tabelul 5.1).

In cazul celor două molecule numărul atomilor implicați în orbitalele moleculare este de 9, respectiv 12 - figura 7.1. și 7.2. Deoarece moleculele luate în studiu nu au deficit un element de simetrie, planul lor, ecuațiile seculare sunt de ordin egal cu numărul atomilor considerați.

Parametrii Coulombian ( $\alpha$ ) și de schimb ( $\beta$ ) asociati fiecărui atom, respectiv legături, au fost luati în general după recomandările lui Streitwieser /222/ și Hafelinger /191/. Valorile numerice sunt trecute în tabelul 7.1.

Datele obținute prin rezolvarea ecuațiilor seculare le-am utilizat pentru evaluarea stabilității relative a structurilor posibile și a calcula energiile tranzițiilor electronice, deplasările de frecvență, diagramele moleculare.

Datoruz rezolvarea sistemelor de ecuații (valori proprii și vectori proprii) Catedrei de Calcul numeric a Universității "Babeș-Bolyai" din Cluj-Napoca.

TABELUL 7.1.

Valorile parametrilor utilizati in calculul HMO

Integrale Coulombiene	Integrale de schimb
$\alpha_{\text{NH}} = \alpha + 1,5\beta$	$\beta_{\text{C-N(ciclu)}} = \beta$
$\alpha_{\text{N}} = \alpha + 0,5\beta$	$\beta_{\text{C-C}} = 0,9\beta$
$\alpha_{\text{NH}^+} = \alpha + 1,5\beta$	$\beta_{\text{C=N}} = 1,1\beta$
$\alpha_{\text{N}(-)} = \alpha + 0,5\beta$	
$\alpha_{\text{O}} = \alpha + \beta$	
$\alpha_{\text{O}} = \alpha + 2\beta$	$\beta_{\text{N-O}} = 0,7\beta$
$\alpha_{\text{O}(-)} = \alpha + \beta$	$\beta_{\text{C=O}} = \beta$
$\alpha_{\text{OH}^+} = \alpha + 2\beta$	$\beta_{\text{C-O}} = 0,8\beta$
$\alpha_{\text{CH}_3} = \alpha_x = \alpha + 2\beta$	$\beta_{\text{C-X}} = 0,6\beta$

$$\alpha = \alpha_{\text{(benzen)}} ;$$

$$\beta = \beta_{\text{CC (benzen)}}$$

### 7.1. Stabilitatea relativă a structurilor posibile și a celor limite /223/

Se știe că datele teoretice privitoare la starea fundamentală pot fi utilizate cu succes pentru a prevedea stabilitatea relativă a moleculelor încadrăte.

Un indice de stabilitate este energia de rezonanță ( $E_R$ ), iar din punct de vedere termodinamic drept măsură a stabilității poate servi, cu o aproximare destul de bună, energia de formare a moleculei  $\Delta H^\ddagger$ . Aceasta din urmă reprezintă suma dintre energia de rezonanță și totalul energiilor de legătură :

$$\Delta H^f = E_R + \sum E_{leg} \quad (7.1)$$

Z. Simon și colaboratorii /224/, într-un studiu asemănător, calculează energia de rezonanță ca diferență dintre energia sistemului  $\tilde{H}$  ( $E_{\tilde{H}}$ ) și suma energiei electronilor ( $2 \alpha_x$ ) sau legăturilor localizate ( $E_{y=z}$ ):

$$E_R = E_{\tilde{H}} - \sum (2 \alpha_x + E_{y=z}) \quad (7.2)$$

Așa am procedat și noi.

In cazul primului compus studiat, structurile luate în considerare pentru moleculă neutră, cation și anion sunt indicate în figura 7.1, ele ne-au parut a fi cele mai probabile din punct de vedere teoretic.

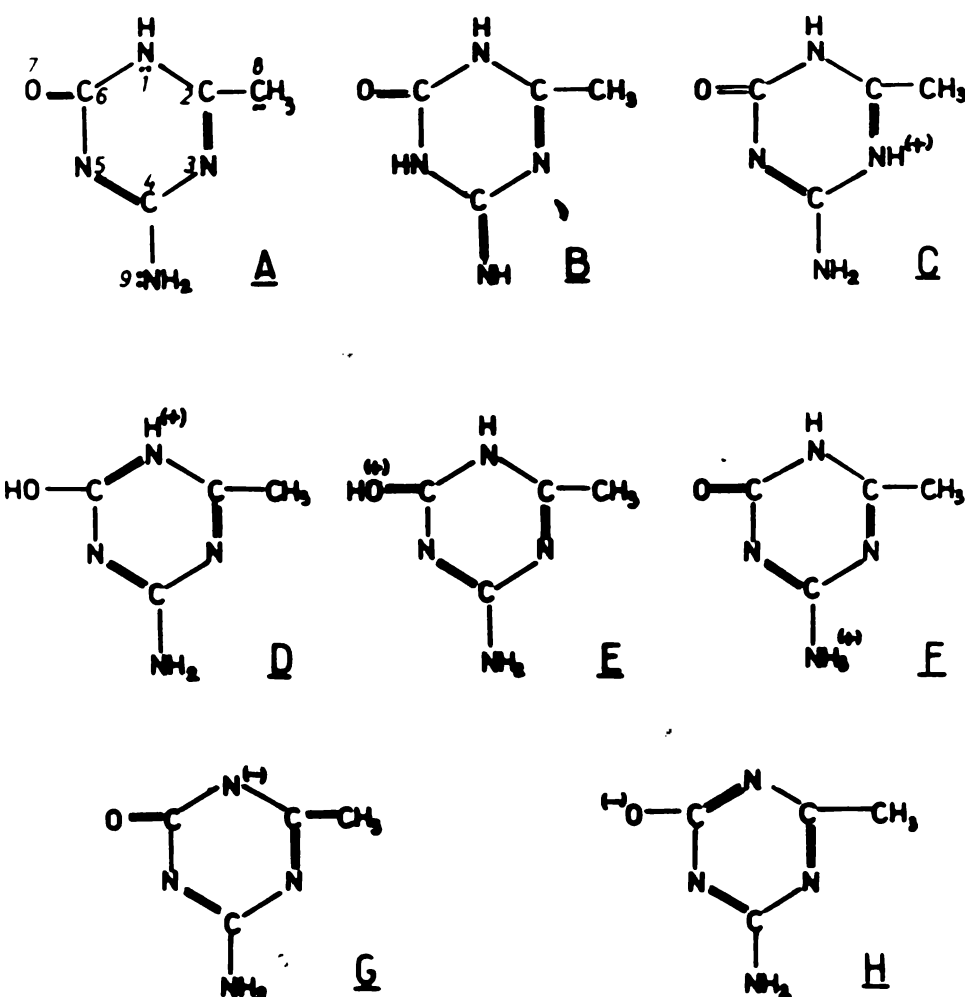


Fig.7.1. Structurile considerate pentru moleculă, cationul și anionul de acetojuanidă.

TABELUL 7.2.

Parametrii energetici ai structurilor considerate pentru acetoguanidă

Struc- tura	$\epsilon_{\text{J}}$	$E_{\text{R}}$	$\epsilon_{\text{HO}}$	$\epsilon_{\text{LE}}$	$-\sum E_{\text{leg}}$	$-\Delta H_f^{\circ}$
		Kcal/mol			Kcal/mol	
A	21,316 $\beta$	3,460 $\beta$	d +0,829 $\beta$	d -0,808 $\beta$	1429,18	1492,94
B	21,147 $\beta$	2,845 $\beta$	d +0,683 $\beta$	d -0,790 $\beta$	1436,58	1483,52
C	22,806 $\beta$	3,260 $\beta$	d +0,896 $\beta$	d -0,780 $\beta$	1529,78	1583,57
D	23,126 $\beta$	3,506 $\beta$	d +1,061 $\beta$	d -0,804 $\beta$	1503,64	1561,49
E	23,126 $\beta$	3,678 $\beta$	d +1,061 $\beta$	d -0,804 $\beta$	1529,48	1590,17
F	23,180 $\beta$	3,325 $\beta$	d +0,835 $\beta$	d -0,770 $\beta$	1522,38	1577,24
G	21,342 $\beta$	5,486 $\beta$	d +0,788 $\beta$	d -0,789 $\beta$	1335,98	1426,50
H	22,846 $\beta$	6,916 $\beta$	d +0,999 $\beta$	d -0,719 $\beta$	1302,74	1416,84

Din datele obținute prin rezolvarea ecuațiilor seculare am calculat energia de rezonanță, luând pentru  $\beta$  valoarea de -16,5 Kcal/mol /225/. În tabelul 7.2. sunt trecute valorile parametrilor necesari la aprecierea stabilității, energia celei mai înalte orbitale ocupate ( $E_{HO}$ ) și energia celei mai joase orbitale libere ( $E_{LE}$ ). Totalul energiilor de legătură l-am obținut folosind valorile date de N. Bodor și colaboratorii /226/, deoarece ele se referă la derivați heterociclici cu azot. Calculele efectuate cu valori ale energiilor de legătură luate după alte surse nu produc schimbări în ce privește ordinea de stabilitate. Menționăm, că nu am corectat valoarea energiei totale pentru contribuția legăturilor de hidrogen.

Urmărind valoarea lui  $\Delta H^\ddagger$ , rezultă că dintre structurile luate în considerare cele mai stabile sunt A pentru moleculea neutră, E pentru cation și G pentru anion.

Pentru dioximă am avut în vedere structurile din figure 7.2. Iar mărimele calculate sunt trecute în tabelul 7.3. Concluzia ce se desprinde din datele obținute este că pentru cationul dioximei cea mai stabilită structură este K iar în cazul anionului trivalent structurile N, N și O au stabilitate practic identică.

Dacă luăm drept criteriu de stabilitate energia de rezonanță, constatăm schimbări în ceea ce privește ordinea de stabilitate a structurilor teoretic posibile considerate pentru anion.

În ansamblu, din rezultatele calculului întreprins reiese că în cazul moleculei neutre de acetoguenidă o stabilitate mai mare are forma tautomeră amidinică A, în acord cu concluziile studiului IR și cu datele din literatură (parte I,

pag. 11).

Refător la structurile posibile ale speciei cationice, pentru ambi derivări, datele obținute indică drept centru de protonare atomul de oxigen carbonilic (deci structuri E respectiv K pentru cationi). La această concluzie contrară intuiției chimice, conduce și diagrame moleculare a speciei neutre, după care, că cum se va arăta mai tîrziu, densitatea de sarcină și cea mai mare este tocmai la acest atom.

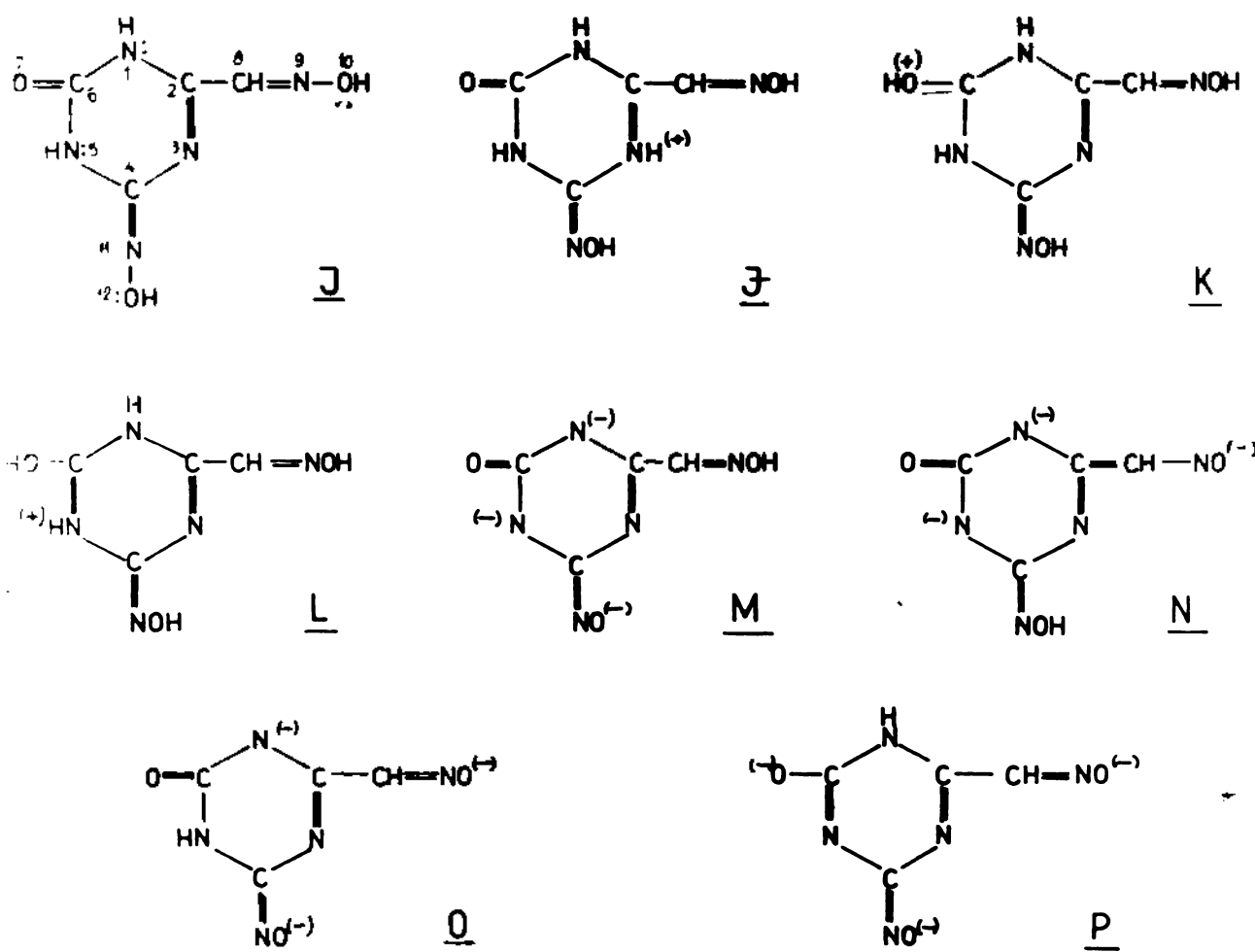


Fig. 7.2. Structurile considerate pentru dioximă (moleculă, cation, anion)

TABLELUL 7.3.

Parametrii energetici ai structurilor considerate pentru dioximă

Struc- tura	$\epsilon_{\Sigma}$	$E_R$	$\epsilon_{HO}$	$\epsilon_{LB}$	$-\sum E_{leg}$	$-\Delta H_f$
			Kcal/mol	Kcal/mol	Kcal/mol	Kcal/mol
I	28,446	$\beta$	3,388 $\beta$	$\alpha + 0,521 \beta$	$d - 0,433 \beta$	1542,82
J	29,942	$\beta$	3,194 $\beta$	$d + 0,635 \beta$	$d - 0,336 \beta$	1636,56
K	30,229	$\beta$	3,579 $\beta$	$d + 0,521 \beta$	$d - 0,426 \beta$	1644,92
L	30,057	$\beta$	3,235 $\beta$	$d + 0,521 \beta$	$d - 0,421 \beta$	1611,68
M	23,352	$\beta$	4,294 $\beta$	$d + 0,177 \beta$	$d - 0,525 \beta$	1254,32
N	23,415	$\beta$	4,357 $\beta$	$d + 0,340 \beta$	$d - 0,561 \beta$	1254,32
O	23,038	$\beta$	4,980 $\beta$	$d + 0,253 \beta$	$d - 0,519 \beta$	1245,42
P	24,590	$\beta$	5,458 $\beta$	$d + 0,369 \beta$	$d - 0,481 \beta$	1212,18

Absorția în IR (figurile 5.2 și 5.5) a clorhidratelor celor două substanțe, a fost interpretată de noi ca pleind pentru structuri de tipul C respectiv J. În cazul primului derivat diferența dintre căldurile de formare ale celor două structuri (E și C - figura 7.1) nici nu este suficient de semnificativă pentru stabilirea ierarhiei. Pe de altă parte trebuie să avem în vedere că spectrul IR a fost înregistrat pentru substanțele solide în formă hidratată. S-a arătat că, în acest caz, în rețea se stabilesc mai multe feluri de legături de hidrogen care afectează distribuția electronică. Or noi, așa cum am menționat, nu am ținut seama în calcul de aceste legături.

Reamintim apoi că, preparativ vorbind, factorii cinetici pot determina obținerea unei forme care nu este neapărat cea mai stabilă din punct de vedere termodinamic.

Compusii studiați de noi fiind hidroxi-derivați se pot prezenta în două forme tautomere. Cel două forme au însă un anion comun. Deci evaluarea stabilității relative a formelor ipotetice alături asemenea anion trebuie privită ca indicând doar care dintre schemele limită ar contribui mai mult la structura reală a anionului mezomer.

Având în vedere cele de mai sus considerăm că studiul de stabilitate întreprins cu ajutorul metodei HMO nu oferă totdeauna date sigure pentru deciderea structurii. De aceea, în cele ce urmează, ne-am oprit asupra acelor structuri care ni s-au parut că reflectă mai bine proprietățile fizice și chimice ale substanței.

## 7.2. Calculul tranzitiei electronice /227/

N-am propus să încercăm în ce măsură datele oferite de metoda HMO se pot corela cu cele experimentale în ceea ce privește tranzitiiile spectrale.

Rezultatele obținute prin rezolvarea ecuațiilor seculare sunt trecute în tabelele 7.4 și 7.5.

Pentru fiecare specie moleculară sunt indicate, în aceste tabele, stările de energie exurate în forme  $d - \epsilon_i/\beta$  ( $\epsilon_i$  = energia orbitalei moleculare) precum și coeficienții ( $c_i$ ) orbitalelor atomice în expresia funcției de unde corespunzătoare fiecărei orbitale moleculare -  $\Psi_i$ .

Cu ajutorul acestor date am calculat energiile tranzitiei electronice:  $\Psi_m \rightarrow \Psi_{m+1}$ ,  $\Psi_m \rightarrow \Psi_{m+2}$  și  $\Psi_{m-1} \rightarrow \Psi_{m+1}$  unde  $\Psi_m$  reprezintă cea mai înaltă orbitală moleculară ocupată. Valorile acestor energii sunt trecute, alături de cele experimentale, în tabelele 7.6 și 7.7.

Pentru acetoguanidă maximele de absorbție prezente în spectru sunt cele indicate în tabelul 6.1. Dar aşa cum am menționat anterior, aceste valori nu sunt prea sigure ci numai orientative. Pe de altă parte, deoarece substanța este foarte greu solubilă în apă, nu disponem nici de date referitoare la specia neutră. De aceea, am avut în vedere absorbțiile 2-amino-4-hidroxi-1,3,5-triazinei care nu trebuie să difere prea mult de cele ale compusului nostru. Flament și colab. /144/ indică următoarele valori pentru maximele de absorbție a soluțiilor apoase:

TABELUL 7.4.

Orbitale moleculare ale speciilor (neutra, cation, anion) de acetoguanidă

$\psi_i$	$d = \epsilon_1/\beta$	$c_1$	$c_2$	$c_3$	$c_4$	$c_5$	$c_6$	$c_7$	$c_8$	$c_9$
<u>STRUCTURA A</u>										
9	1,8257	-0,2390	0,3533	-0,3729	0,5138	-0,4107	0,4414	-0,1562	-0,0554	-0,1545
8	1,0265	-0,1339	-0,3159	0,4206	-0,3262	-0,2149	0,6542	-0,3228	0,0626	0,1291
7	0,8077	-0,3340	0,6606	-0,1148	-0,5104	0,3059	0,1103	-0,0610	-0,1411	0,2211
6	-0,8294	-0,1500	0,2092	0,3879	-0,0814	-0,5769	-0,1086	0,6369	-0,1072	0,1214
5	-1,1444	-0,3459	0,1232	0,5388	0,2239	0,3472	-0,0002	-0,0015	-0,8864	-0,6297
4	-1,5253	-0,4045	-0,3090	-0,3011	0,0002	0,2916	0,2987	0,5686	0,3906	0,0099
3	-2,1224	-0,3144	0,1469	0,1942	0,1682	-0,1075	-0,3426	-0,3052	0,7199	0,2703
2	-2,2376	-0,2885	-0,1816	0,1573	0,4550	0,2439	-0,0312	-0,0252	-0,4586	0,6169
1	-2,8008	0,5704	0,3605	0,2772	0,2773	0,2864	0,3815	0,2119	0,2700	0,2132
<u>STRUCTURA C</u>										
9	1,7321	0,2557	0,3077	-0,2475	0,4924	-0,4530	0,5188	-0,1899	-0,0495	-0,1524
8	0,8921	0,2057	0,1088	-0,2892	0,5831	0,0128	-0,6609	-0,3176	-0,0226	-0,2438
7	0,7800	-0,2909	0,7878	-0,2216	-0,2825	0,3181	-0,1246	0,0700	-0,1700	0,1239
6	-0,8962	-0,0461	0,0936	0,1605	-0,1905	-0,6469	-0,0658	0,6340	-0,0509	0,3156
5	-1,3673	-0,5236	-0,1085	0,3135	0,0669	0,2824	0,1780	0,4846	0,1029	-0,5044
4	-1,7294	-0,1729	-0,2275	-0,5230	0,1075	0,2402	0,1878	0,2575	0,5043	0,4687

TABLELUL 7.4 (continuare)

$\Psi_L$	$\alpha - \beta W/\beta$	$C_1$	$C_2$	$C_3$	$C_4$	$C_5$	$C_6$	$C_7$	$C_8$	$C_9$
3	-2,1673	-0,1985	0,2129	0,2018	-0,0782	-0,2541	-0,3454	-0,2959	0,7637	-0,1173
2	-2,3022	-0,4941	-0,1240	0,3563	0,4099	0,0763	-0,2723	-0,2091	0,2463	-0,5110
1	-2,9419	0,4668	0,3741	0,4906	0,3334	0,2590	0,2990	0,1540	0,2392	0,2312

## STRUCTURA H

9	1,7059	-0,2615	0,4273	-0,4258	0,5121	-0,2880	0,4112	-0,1520	-0,0692	-0,1597
8	0,9978	-0,2191	-0,1557	0,3558	-0,3772	-0,1304	0,7030	-0,3519	0,0312	0,1510
7	0,7196	-0,2648	0,6880	-0,1392	-0,5182	0,2786	-0,1002	0,0583	-0,1518	0,2335
6	-0,9991	-0,3540	0,1178	0,5956	0,1195	-0,2376	-0,0005	0,5911	-0,1066	-0,2386
5	-1,3113	0,0246	-0,1802	-0,3551	-0,1079	-0,3584	0,1755	0,5639	0,1570	0,5720
4	-1,6941	0,4476	0,2471	0,2617	0,0655	-0,4881	-0,1602	-0,2308	-0,4846	0,2373
3	-2,1330	-0,3225	0,1306	0,2477	0,2739	-0,0961	-0,3347	-0,2954	0,5889	0,4326
2	-2,3350	0,3089	0,3173	-0,0089	-0,3336	-0,3706	0,0241	0,0181	0,5682	-0,3995
1	-2,9506	0,4648	0,2775	0,2488	0,3323	0,5026	0,3968	0,2034	0,1751	0,2291

TABLUL 7.5.

Orbitale moleculare ale speciilor (neutră, cation, anion)  
de dioxină -

-88-

$\psi_i$	$\frac{d-\varepsilon}{\beta}$	$c_1$	$c_2$	$c_3$	$c_4$	$c_5$	$c_6$	$c_7$	$c_8$	$c_9$	$c_{10}$	$c_{11}$	$c_{12}$
STRUCTURA I													
12.	1,8860	-0,2325	0,4908	-0,3989	0,4609	-0,2236	0,2962	-0,1026	-0,3271	0,1592	-0,0287	-0,2243	0,0404
11.	1,3328	0,0640	-0,3713	-0,0582	0,4779	-0,2357	0,1899	-0,0814	0,5433	-0,3545	0,0745	-0,3118	0,0655
10.	1,0716	-0,2761	-0,0189	0,2251	-0,3350	-0,1537	0,7289	-0,3519	0,0791	-0,0616	0,0140	0,2609	-0,0595
9.	0,4327	-0,1874	0,4932	-0,3530	-0,1640	0,1526	-0,1310	0,0915	0,3633	-0,5465	0,1572	0,2467	-0,710
8.	-0,5210	0,2294	-0,2265	-0,4104	0,2179	-0,2245	0,0019	-0,0039	0,0699	0,2184	-0,1033	0,6803	-0,3220
7.	-1,0348	-0,1254	0,0382	0,4106	0,1814	-0,4334	0,0202	0,5797	-0,2729	-0,2880	0,2088	0,1914	-0,1388
6.	-1,1368	-0,3879	0,0726	0,0258	-0,0562	-0,0333	0,0682	0,4988	0,4940	0,4512	-0,3669	-0,0513	0,0416
5.	-1,7726	-0,1367	0,3068	0,5055	0,3365	-0,0278	-0,3441	-0,4454	0,1945	0,0624	-0,1922	0,1080	-0,3324
4.	-2,0379	0,4903	0,3351	0,0659	-0,2336	-0,5669	-0,0713	-0,0607	0,1406	-0,0136	-0,2509	0,0226	0,4168
3.	-2,3595	-0,2215	-0,0127	0,0577	0,1201	-0,0670	-0,1776	-0,1307	0,1486	0,3291	0,6408	0,2660	0,5178
2.	-2,4191	-0,2836	-0,1894	0,0157	0,2196	0,1613	-0,0713	-0,0503	-0,2114	-0,3099	-0,5176	0,3220	0,5378
1.	-2,9413	0,4722	0,2776	0,3256	0,5055	0,4030	0,2076	0,1081	0,0619	0,0460	0,1865	0,1387	

TABLEUL 7.5. (continuare)

$\psi_i$	$\frac{d-\epsilon}{\beta}$	$c_1$	$c_2$	$c_3$	$c_4$	$c_5$	$c_6$	$c_7$	$c_8$	$c_9$	$c_{10}$	$c_{11}$	$c_{12}$
STRUCTURA J													
12.	<b>1,7718</b>	<b>0,2586</b>	<b>-0,4921</b>	<b>0,2831</b>	<b>-0,4341</b>	<b>0,2408</b>	<b>-0,3539</b>	<b>0,1277</b>	<b>0,3669</b>	<b>-0,1884</b>	<b>0,0350</b>	<b>0,2229</b>	<b>-0,0413</b>
11.	<b>1,3302</b>	<b>0,0462</b>	<b>-0,3587</b>	<b>-0,0443</b>	<b>0,4842</b>	<b>-0,2516</b>	<b>0,2280</b>	<b>-0,0978</b>	<b>0,5281</b>	<b>-0,3451</b>	<b>0,0725</b>	<b>-0,3164</b>	<b>0,0665</b>
10.	<b>1,0329</b>	<b>-0,2619</b>	<b>-0,0211</b>	<b>0,1701</b>	<b>-0,4098</b>	<b>-0,1084</b>	<b>0,6844</b>	<b>-0,3367</b>	<b>0,1262</b>	<b>-0,1012</b>	<b>0,0233</b>	<b>0,3287</b>	<b>0,0759</b>
9.	<b>0,360</b>	<b>-0,2147</b>	<b>0,5731</b>	<b>-0,2687</b>	<b>-0,0800</b>	<b>0,1410</b>	<b>-0,1788</b>	<b>0,1339</b>	<b>0,3231</b>	<b>-0,5676</b>	<b>0,1701</b>	<b>0,1405</b>	<b>-0,0421</b>
8.	<b>-0,6356</b>	<b>0,1629</b>	<b>-0,0943</b>	<b>-0,2650</b>	<b>0,3233</b>	<b>-0,3202</b>	<b>-0,0465</b>	<b>0,1277</b>	<b>0,0469</b>	<b>0,1042</b>	<b>-0,0535</b>	<b>0,7189</b>	<b>-0,3688</b>
7.	<b>-1,1358</b>	<b>-0,3595</b>	<b>0,0781</b>	<b>-0,0388</b>	<b>-0,0639</b>	<b>0,0305</b>	<b>0,0528</b>	<b>0,3896</b>	<b>0,5411</b>	<b>0,4948</b>	<b>-0,4008</b>	<b>-0,0585</b>	<b>0,0474</b>
6.	<b>-1,1925</b>	<b>-0,2008</b>	<b>-0,0775</b>	<b>0,3486</b>	<b>-0,0297</b>	<b>-0,3564</b>	<b>0,1392</b>	<b>0,7232</b>	<b>-0,2669</b>	<b>-0,2260</b>	<b>0,1959</b>	<b>-0,0251</b>	<b>0,0218</b>
5.	<b>-2,0247</b>	<b>0,5348</b>	<b>0,2136</b>	<b>-0,1850</b>	<b>-0,3107</b>	<b>-0,4645</b>	<b>0,0669</b>	<b>0,0653</b>	<b>0,0920</b>	<b>-0,0055</b>	<b>-0,1565</b>	<b>0,0186</b>	<b>0,5288</b>
6.	<b>-2,1429</b>	<b>0,0219</b>	<b>-0,3183</b>	<b>-0,6107</b>	<b>-0,0755</b>	<b>0,3995</b>	<b>0,3324</b>	<b>0,2909</b>	<b>-0,1016</b>	<b>0,0625</b>	<b>0,3065</b>	<b>0,0465</b>	<b>0,2280</b>
3.	<b>-2,3689</b>	<b>-0,2508</b>	<b>0,0237</b>	<b>0,1603</b>	<b>0,1155</b>	<b>-0,1451</b>	<b>-0,2416</b>	<b>-0,1765</b>	<b>0,1630</b>	<b><b>0,3917</b></b>	<b><b>0,6237</b></b>	<b>0,2350</b>	<b>0,4460</b>
2.	<b>-2,4199</b>	<b>-0,3068</b>	<b>-0,1839</b>	<b>0,0451</b>	<b>0,2254</b>	<b>0,1281</b>	<b>-0,0984</b>	<b>-0,0693</b>	<b>-0,2036</b>	<b>-0,2975</b>	<b>-0,4959</b>	<b>0,3293</b>	<b>0,5489</b>
1.	<b>-3,0506</b>	<b>0,4203</b>	<b>0,3129</b>	<b>0,4315</b>	<b>0,3562</b>	<b>0,4483</b>	<b>0,3389</b>	<b>0,1653</b>	<b>0,1140</b>	<b>0,0602</b>	<b>0,0401</b>	<b>0,1880</b>	<b>0,1252</b>

TABLEUL 7.5 (continuare)

- 90 -

$\psi_i$	$\frac{d-\epsilon}{\beta}$	$c_1$	$c_2$	$c_3$	$c_4$	$c_5$	$c_6$	$c_7$	$c_8$	$c_9$	$c_{10}$	$c_{11}$	$c_{12}$
STRUCTURA P													
12.	1,8894	-0,2309	0,4884	-0,3977	0,4617	-0,2230	0,2941	-0,1018	-0,3270	0,1620	-0,0393	-0,2288	0,0554
11.	1,3471	0,0656	-0,3644	-0,0598	0,4749	-0,2292	0,1776	-0,0756	0,5390	0,3619	0,1079	-0,3189	0,0951
10.	1,0773	-0,2766	-0,0174	0,2149	-0,3216	-0,1586	0,7303	-0,3516	0,0893	-0,0733	0,0247	0,2637	-0,0889
9.	0,4815	-0,1744	-0,4894	0,3490	-0,1469	0,1467	-0,1437	0,0970	0,3198	-0,5405	0,2554	0,2483	-0,1173
8.	-0,3092	-0,1812	0,2007	0,3236	-0,2625	0,2073	0,0151	-0,0218	-0,0892	-0,1893	0,1918	-0,5569	0,5642
7.	-0,7445	0,1488	-0,1025	0,2242	0,1573	-0,1951	-0,0099	0,0388	-0,4993	-0,2540	0,6959	0,8800	-0,2193
6.	-1,0504	-0,3708	0,1309	0,4186	0,0995	-0,3009	0,0358	0,7093	0,0996	-0,0119	-0,1660	-0,0119	-0,1658
5.	-1,3966	-0,1116	0,1566	0,3048	0,1167	0,2748	-0,1451	-0,3658	0,0284	-0,0921	-0,1625	-0,3788	-0,6685
4.	-1,6874	-0,2893	-0,2043	-0,2472	-0,0893	0,3242	0,1500	0,2183	0,2132	0,4942	0,5032	-0,2070	-0,2108
3.	-1,9671	-0,1307	0,2682	0,3511	0,2468	-0,1765	-0,3292	-0,3405	0,3414	0,3910	0,2830	0,2827	0,2046
2.	-2,2078	0,5420	0,3201	-0,0381	-0,3851	-0,4544	0,0635	0,0526	c,2253	0,1904	0,1103	-0,3254	-0,1886
1.	-2,9323	0,4856	0,2329	0,2475	0,2191	0,5109	0,4127	0,2136	0,1071	0,0541	0,0196	0,1611	0,0584

- 91 -

TAHILUL 7.6.

Energile tranzitilor electronice (pentru acetoguanidă)

Molecule	Struc- tura	Tranzită	Energia tranzitiei (nm)	Calculată	Experimentală
Acetoguanidă - neutră	A	$\psi_6 \rightarrow \psi_7$	- 1,637 $\beta$	= 245	
		$\psi_6 \rightarrow \psi_8$	- 1,856 $\beta$	= 216	(228)
		$\psi_5 \rightarrow \psi_7$	- 1,952 $\beta$	= 205	
- cation	C	$\psi_6 \rightarrow \psi_7$	- 1,676 $\beta$	= 239	
		$\psi_6 \rightarrow \psi_8$	- 1,788 $\beta$	= 224	245; (236)
		$\psi_5 \rightarrow \psi_7$	- 2,147 $\beta$	= 186	
- anion	H	$\psi_6 \rightarrow \psi_7$	- 1,719 $\beta$	= 233	
		$\psi_6 \rightarrow \psi_8$	- 1,997 $\beta$	= 201	247; (253)
		$\psi_5 \rightarrow \psi_7$	- 2,031 $\beta$	= 197	

$$\beta = 25.000 \text{ cm}^{-1}$$

Valurile din paranteze se referă la 2-amino-4-hidroxi-1,3,5-triazină

TABELUL 7.7.

## Energiele tranzitilor electronice (pentru dioxină)

Molecule	Struc- tura	Tranzitie	Energia tranzitiei (nm)	
			Calculată	Experimen-
DH <sub>3</sub>	I	$\psi_8 \rightarrow \psi_9$	= 0,954 $\beta$	328
		$\psi_7 \rightarrow \psi_9$	- 1,467 $\beta$	213
		$\psi_8 \rightarrow \psi_{10}$	- 1,593 $\beta$	197
DH <sub>4</sub> <sup>+</sup>	J	$\psi_8 \rightarrow \psi_9$	- 0,971 $\beta$	322
		$\psi_7 \rightarrow \psi_9$	- 1,472 $\beta$	213
		$\psi_8 \rightarrow \psi_{10}$	- 1,668 $\beta$	188
D <sup>3-</sup>	P	$\psi_8 \rightarrow \psi_9$	- 0,791 $\beta$	395
		$\psi_7 \rightarrow \psi_9$	- 1,226 $\beta$	255
		$\psi_8 \rightarrow \psi_{10}$	- 1,386 $\beta$	225

$$\beta = - 32.000 \text{ cm}^{-1}$$

pH = 1	inflexiune	236 nm
H <sub>2</sub> O	- " -	228 nm
pH = 11		253 nm

Comparind energiile experimentale cu cele calculate - tabelul 7.6. - constatăm că poziția benzilor de absorbție este regăsită cu o aproximatie satisfăcătoare luând pentru integrala energiei de schimb valoarea uzuală (preluată de la benzene)  $\beta_{\text{spectroscopic}} = -25.000 \text{ cm}^{-1}$ . Datele calculului nu sunt însă în acord cu cele experimentale în ceea ce privește deplasarea benzilor ce însățesc trecerile de la forma neutră la formele încărcate (cationică sau anionică).

In casul dioximei, pentru a obține concordanță cu datele spectrale am luat o valoare  $\beta$  mult mai mare decât cea obișnuită - tabelul 7.7. Deși valori mărite pentru  $\beta$  au mai fost semnalate și pentru alte triazine /184/, ele nu se ridică chiar atât de mult.

Deplasarea batocromă constatătă la protonarea și dissocierea acidă a dioximei este regăsită prin calculul numai în cel de al doilea caz (formarea anionului).

Sensul de deplasare a benzilor de absorbție, ca urmare a ionizării (acceptare sau eliberare de prototipi), ar putea fi prevăzut, în principiu și printr-un calcul perturbativ. Variatia de energie cauzată de ionizare este proporțională cu densitatea de sarcină și variația integralei coulombiene a atomului perturbat /228/.

eci

$$\Delta(\Delta E_{k,n}) \approx \Delta d_i(c_{k,i}^2 - c_{n,i}^2) \quad (4.34)$$

$\Delta d$  reprezintă modificarea integralei Coulombiene a subatominului față de cea a atomului neperturbat,  $c_i$  este coefici-

entul orbitalei atomice i, care suferă perturbarea în orbitalele moleculare (k sau n) între care se face tranziția.

Utilizând valorile vectorilor proprii din tabelele 7.4 și 7.5 am calculat, pentru procesul de protonare, mărimea  $\Delta(\Delta E)$ . Dacă ținem seama de faptul că  $d_{NH_3} > d_N$  (tabelul 7.1) și că  $\alpha$  este o mărime negativă, rezultă din datele tabelului 7.8 o deolasare batocromă în cazul acetoguanidei. Pentru dioximă se prevede o deolasare hiposchromă. Datele experimentale confirmă doar prima dintre aceste concluzii.

TABELUL 7.8.

Variatiile de energie a tranzițiilor în procesul de protonare

Procesul	Atomul perturbat	Tranziția	$\Delta(\Delta E)$
A → C	3	$\psi_6 \rightarrow \psi_7$	- 0,1367 $\Delta d_N$
		$\psi_6 \rightarrow \psi_8$	0,0264 $\Delta d_N$
		$\psi_5 \rightarrow \psi_7$	0,2765 $\Delta d_N$
I → J	3	$\psi_8 \rightarrow \psi_9$	- 0,0438 $\Delta d_N$
		$\psi_7 \rightarrow \psi_9$	- 0,0439 $\Delta d_N$
		$\psi_8 \rightarrow \psi_{10}$	- 0,1177 $\Delta d_N$

In cazul disocierii acide, același calcul se aplică pentru moleculele cu o singură funcție acidă. La ionizarea mai multor funcții, variația de energie se obține prin însumarea contribuției aduse de toți factorii perturbatori. Rezultatele obținute în cazul procesului de ionizare acidă (molecule neutru → anion) a acetoguanidei și a dioximei

sunt adunate în tabelul 7.9. Având în vedere valorile integralelor Coulombiene (tabelul 7.1) constatăm că, deoarece  $d_{OH} > d_O$  în ambele cazuri protoliza are ca efect o scădere a energiei tranzitiei, deci o creștere a lungimii de undă. Această concluzie este în acord cu datele experimentale.

TABEUL 7.9.

Variatiile de energie a tranzitiilor în procesul de disociere acidă

Procesul	Atomii perturbăți	Tranzitie	$\Delta(\Delta E)$
$A \rightarrow H$	7	$\psi_6 \rightarrow \psi_7$	- 0,4020 $\Delta d_0$
		$\psi_6 \rightarrow \psi_8$	- 0,3014 $\Delta d_0$
		$\psi_5 \rightarrow \psi_7$	- 0,0036 $\Delta d_0$
$J \rightarrow P$	7	$\psi_8 \rightarrow \psi_9$	- 0,0663 $\Delta d_0$
		$\psi_7 \rightarrow \psi_9$	- 0,3608 $\Delta d_0$
		$\psi_8 \rightarrow \psi_{10}$	0,0131 $\Delta d_0$

### 7.3. Diagrame moleculare

Din coeficienții MO s-au calculat : ordinul de legătură  $\tilde{J}$  ( $p_{ij}$  - inscris în diagrame între atomii la care se referă), densitatea de sarcină  $\tilde{\rho}$  ( $\tilde{\rho}_i$  - notată în paranteze alături de fiecare atom) și indicele de valență liberă ( $\tilde{J}_i$  - notat în dreptul săgeților pentru fiecare atom).

In figura 7.3. sunt redați parametrii corespunzători speciilor moleculare (neutră, cation și anion) pentru acetoguanidă.

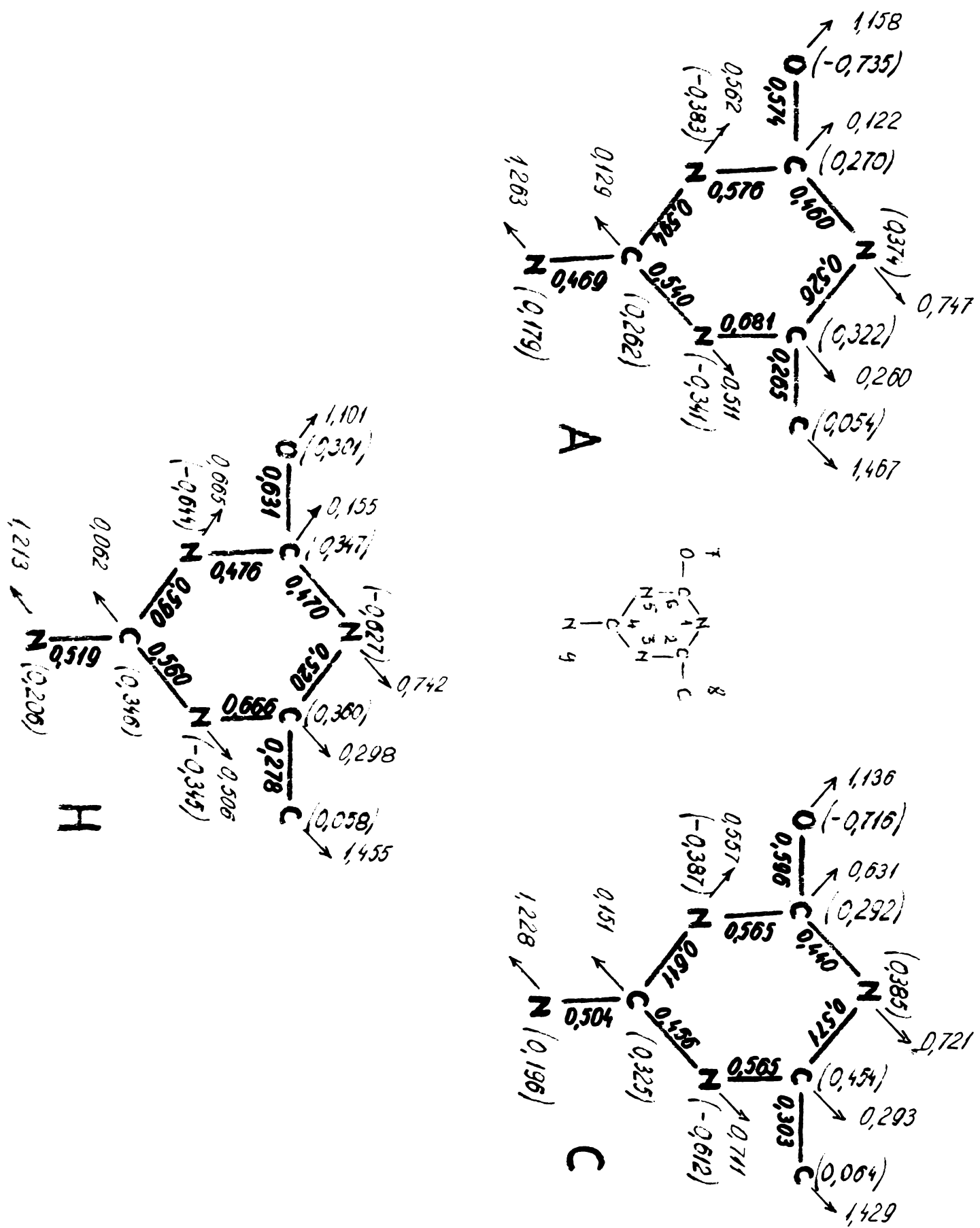


Fig. 7.3. Diagramele moleculare ale moleculei, cationului și anionului de acetoguanidă.

Diagrama moleculară a moleculei neutre (structura A) evidențiază, prin ordinea de legătură, o distribuție electronică relativ omogenă. Excepție face legătura dintre ciclu și grupa de metil; acest lucru este explicabil deoarece substituentul metil are un slab efect donor de electroni. Urmărind densitățile de sarcină, observăm că electronii neparticipanți ai atomului de azot I sunt puternic conjugăți cu cei 4 electroni II ai ciclului. Remarcăm de asemenea că manifestarea caracterului electronegativ mai pronunțat al atomilor de azot și oxigen (atomii 3, 5 și 7) se face simțită numai atunci cînd aceștia contribuie la conjugare cu un electron p și nu cu cei neparticipanți. Tot densitatea de sarcina ar sugera următoarea ordine pentru reacții cu agenți electrofili : atom 7, 5 și 3. În cazul concret al reacției cu acizii s-a sărit la pagina 82 că stabilitatea cationilor obedează pentru protonare la atomul de oxigen 7. Datele de IR (substanță în stare solidă) indică însă o protonare la atom de azot terțiar. Studiul de stabilitate întreprins de noi nu a avut în vedere și structura în care protonarea s-ar face la atomul 5, aceasta nu ar fi în contradicție cu spectrul IR.

Densitățile de sarcină și indicii de legătură în cationul de structură C arată, după cum este de așteptat, o deplasare a electronilor în sprijinul centru de protonare (atomul 3). Alte modificări semnificative nu se observă din diagrama moleculară a speciei cationice.

În cazul anionului, ordinea de legătură se mențin aproape la aceeași valoare pe care o au în moleculea neutră. Excepție face  $p_{56}$ ,  $p_{67}$  și  $p_{49}$  care sunt mai mari în cazul anionului. Aceasta ar însemna o întărire a legăturii C-O și o conjugare mai puternică a grupării  $\text{NH}_2$  cu ciclul. Toate aceste

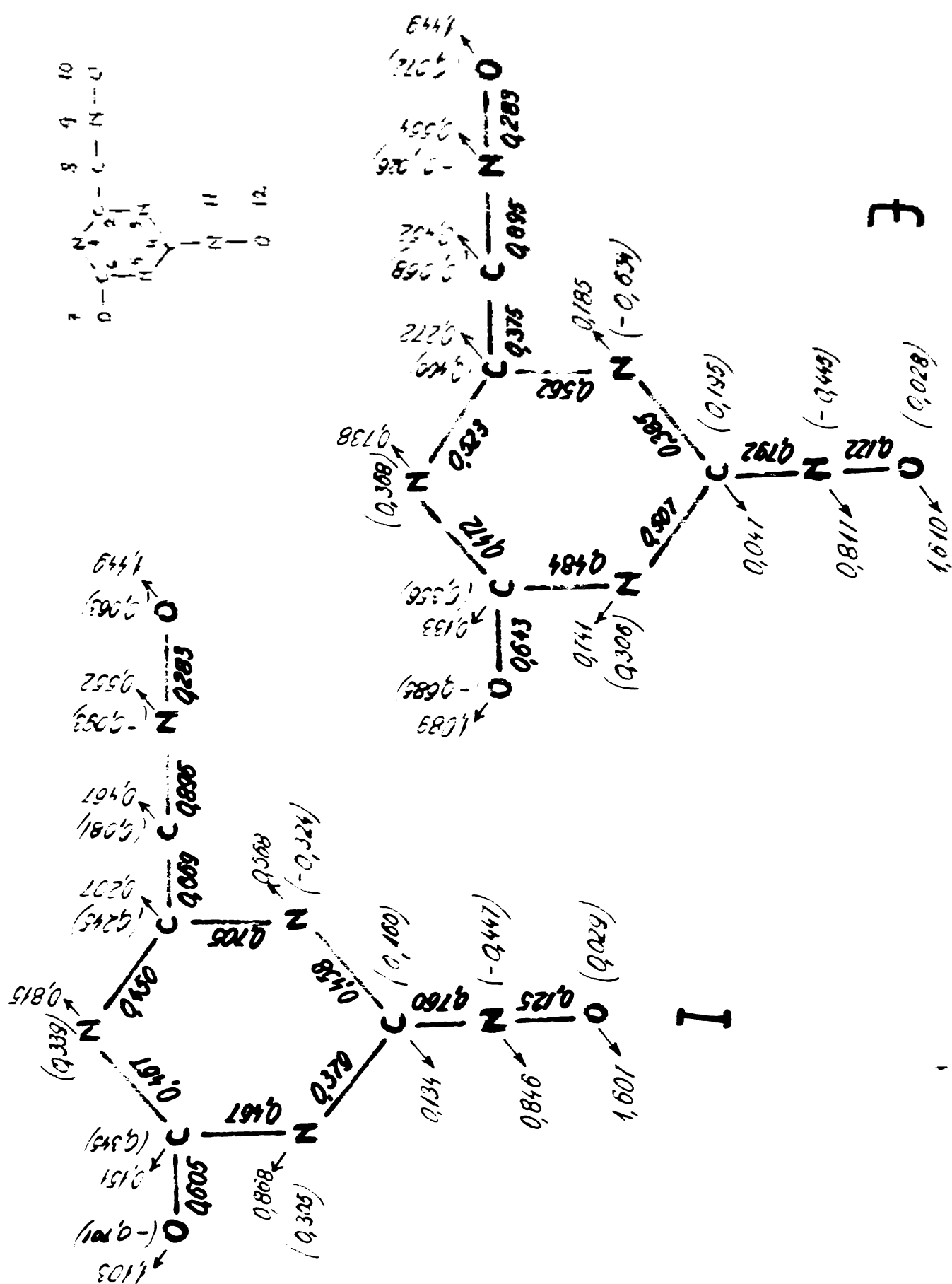


Fig. 7.4. Diagramale moleculare ale moleculei și cationului de dicianogen

date, împreună cu cele de la studiul stabilității ( $\Delta E^\circ$  mai mare pentru structura limită - G) ar putea sugera o proporție mărită de structură limită amidică în anionul mezomer.

Diagrama moleculară a dioximei este ilustrată în figura 7.4.

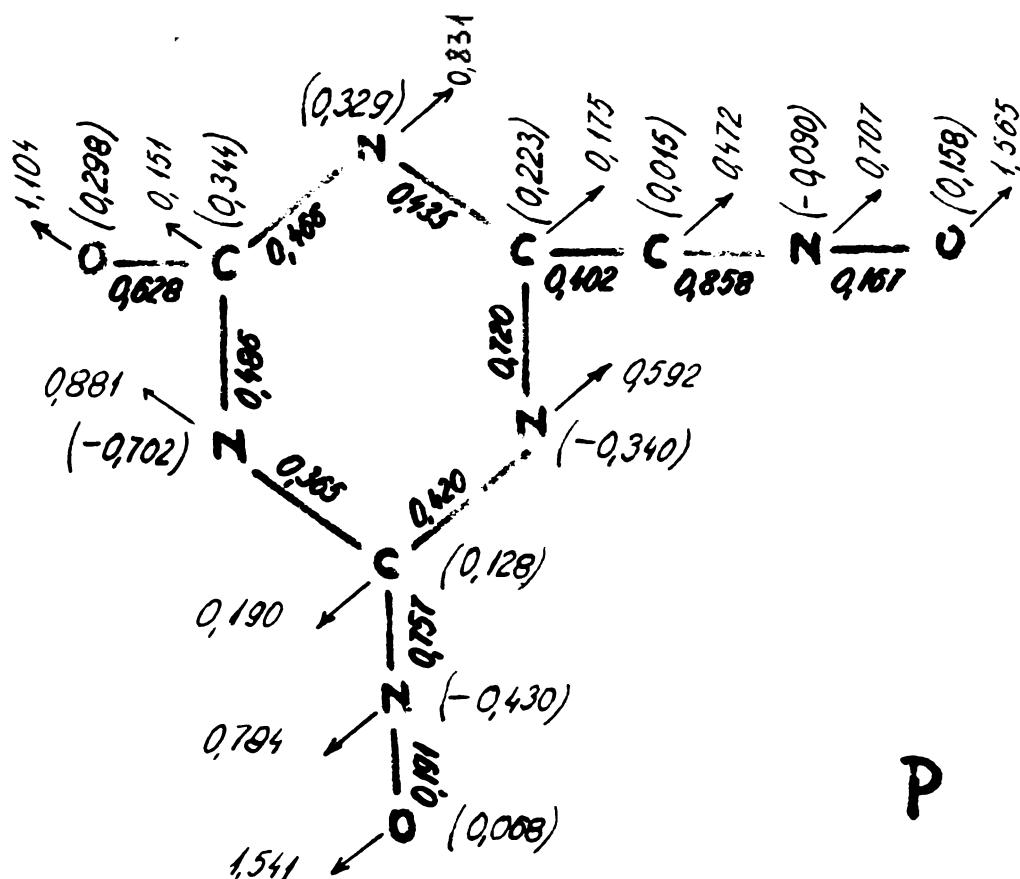


Fig. 7.5. Diagrama moleculară a anionului de dioximă

Constatăm că pentru moleculă (specia I) ordinea de legătură și densitatea de sarcină  $\tilde{}$  relevă o conjugare destul de slabă a grupărilor oximice cu ciclul. Ca urmare electronii neparticipanți ai oxigenilor oxinici sunt relativ localizați. În ciclu, distribuția electronilor  $\tilde{}$  între cei 6

atomi este destul de neomogenă. Observăm de asemenea că densitatea de sarcină  $\tilde{\psi}$  are valoarea negativă cea mai mare tot la atomul de oxigen carbonilic (atomul 7), urmată de cea a atomilor de azot 11 și 3. Datele diagramei indică o conjugare mai pronunțată a grupării cetoximice cu ciclul triazinic. Acest fapt s-ar putea corela într-o oarecare măsură cu ordinea de ionizare a funcțiunilor acide (pag. 50).

În cation - structura J - față de moleculă neutră se constată o modificare a indicilor de legătură în sensul egalizării lor. Crește mult densitatea de sarcină la atomul de azot protonat (atomul 3).

Pentru anionul trivalent al dioximei, datele obținute - figura 7.5 - indică o structură foarte apropiată de cea a moleculei neutre. Singura deosebire pregnantă este la sarcinile atomilor de oxigen 7 și azot 5 care sunt numeric aproape egale, dar inversate ca poziție. Analog anionului acetoguanidei, contribuția formei  $\text{oxo}$  la anionul mezomer pare să fie mai mare.

Am calculat diagramea moleculară pentru cei doi compuși (speciile neutre), studiați cu metoda HMO și în stările excitate. Rezultatele sunt date în figurile 7.6 și 7.7.

Comparind valorile parametrilor pentru stările excitate cu cele din starea fundamentală constatăm următoarele :

Pentru acetoguanidă cele trei tranziții sunt legate de un transfer de sarcină între gruparea carbonilică și ciclu ( $\Psi_6 \rightarrow \Psi_7$  și  $\Psi_6 \rightarrow \Psi_8$ ) respectiv gruparea  $\text{NH}_2$  și ciclul triazinic ( $\Psi_5 \rightarrow \Psi_6$ ).

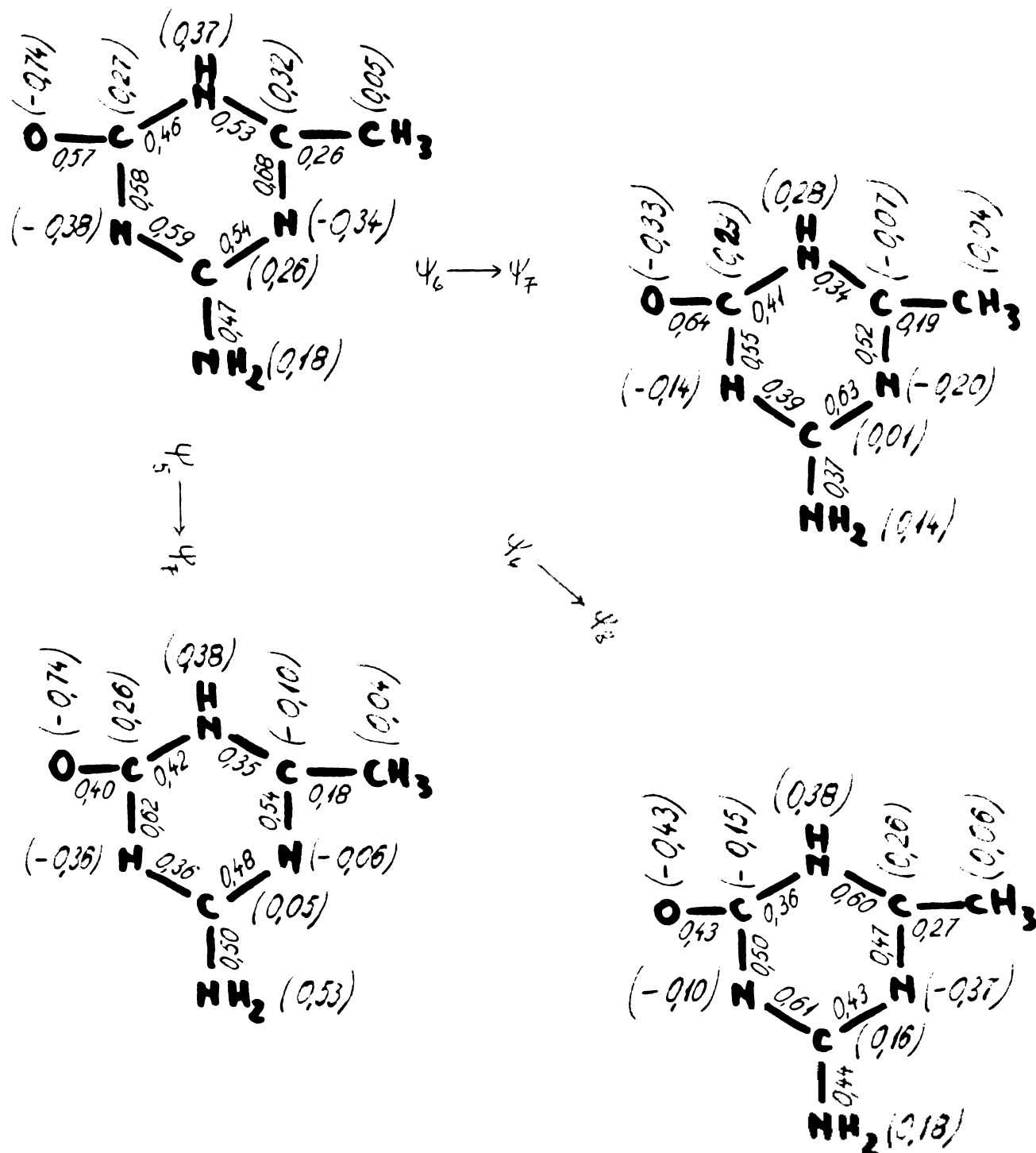


Fig. 7.6. Diagramale moleculare ale acetoguenidei  
in starea fundamentală și în stările  
excitate

In cazul dioximei - figura 7.7. - se evidențiază o  
deplasare a electronilor de la nucleu spre gruparea formal-  
doximică în tranziția  $\psi_8 \rightarrow \psi_9$ , de la gruparea C = O  
spre cea formaldoximică în tranziția  $\psi_7 \rightarrow \psi_9$  și de  
la gruparea imidoximică spre cea carbonilică în tranziția  
 $\psi_8 \rightarrow \psi_{10}$ .

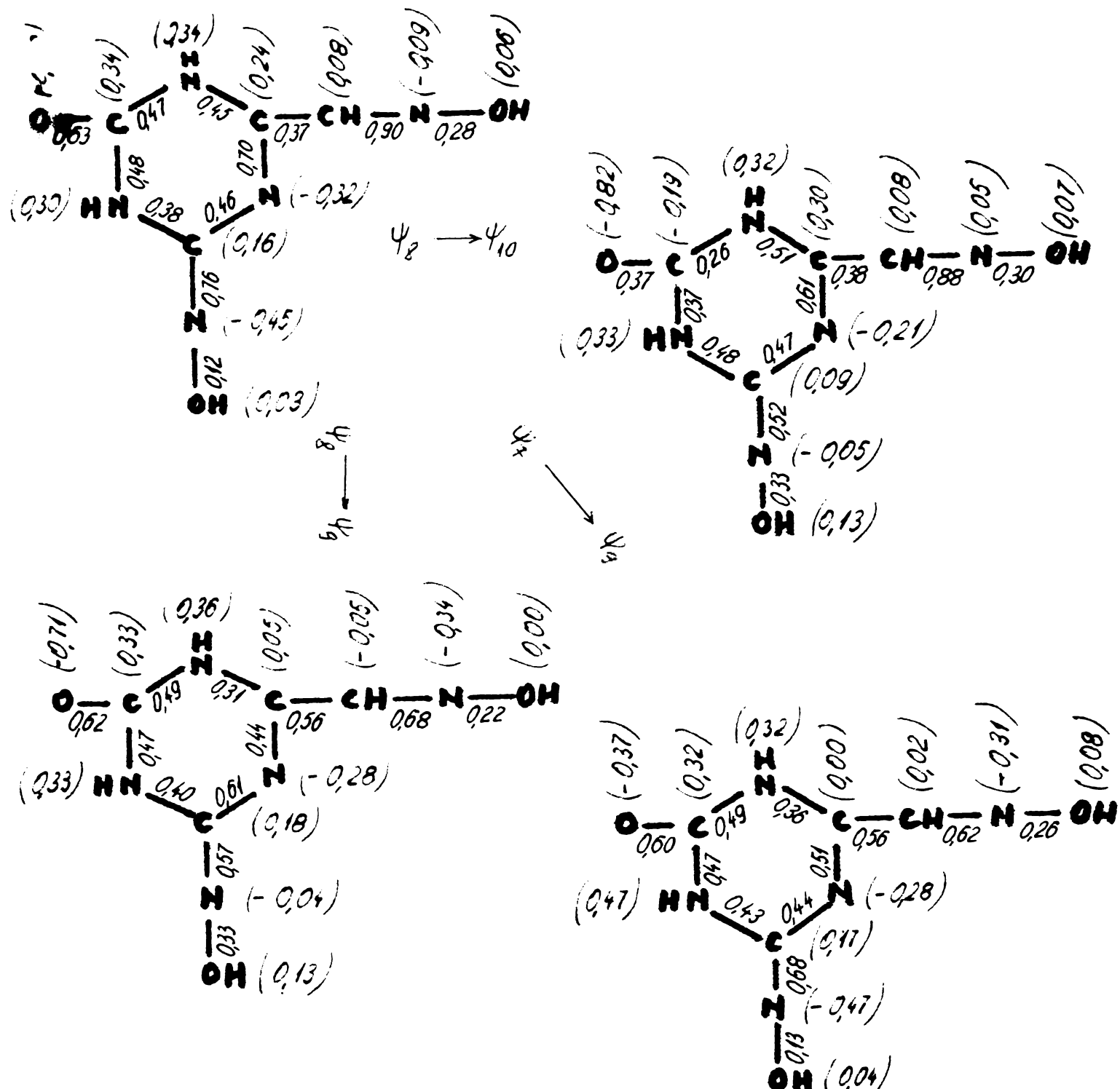


Fig. 7.7. Diagramele moleculare ale dioximei în stare fundamentală și în stări excitate.

Concluzii. Calculele înreprinse cu ajutorul metodei simple HMO pentru doi compuși triazinici ne-au furnizat date cu privire la stabilitatea relativă a unor structuri posibile și natura tranzitiei electronice.

- Luind drept parametru de stabilitate entalpia de formare a compușilor, pentru derivatul având ca substituent gruparea amino se indică o stabilitate mai mare a tautomerului amidinic, în acord cu alte date experimentale.

- Cationii celor doi derivați s-ar forma, după indicațiile calculului, prin protonarea oxigenului carbonilic. Aceste structuri nu se par a nu reflecta însă proprietățile derivaților, de aceea la calculul tranzițiilor electronice ne-au oprit atenția asupra altor structuri, considerate de noi a fi mai adecvate.

Pentru anioni se evidențiază, prin căldura de formare și ordinul de legătură, o contribuție mărită de structură limită amidică în anionul mezomer.

- Comparând pozițiile benzilor de absorbție din spectrul electronic cu valorile calculate, rezultă în cazul dioximei o valoare  $\beta = - 32.000 \text{ cm}^{-1}$ .

Menționăm că din punct de vedere spectral se obține o concordanță satisfăcătoare cu experiența pentru toate structurile avute în vedere. Deci nu am putut obține ce această cale date concluziile care să indice structurile mai probabile.

- Pentru a prevedea sensul de deplasare a benzilor din spectru, ca urmare a disocierii acido-bazice, am aplicat un calcul perturbational. În cazul protonării (formarea sării acide) derivaților studiați, schimbarea poziției benzilor este prevăzută corect de calcul numai pentru acetoguanidă. Deplasarea bathocromă constată la ionizarea acidă (formarea sărurilor bazice) este regăsită teoretic pentru ambii derivați.

- Diagrama moleculară a speciilor neutre și ionizate poate fi corelată cu informațiile privind ordinea de disociere a funcțiunilor acide și cu datele privind stabilitatea formelor tautomere. La excitarea moleculelor, se dune în evidență un transfer de sarcină între diversele grupări și ciclu.

Din cele de mai sus reiese că informațiile obținute

prin aplicarea metodei HMO la unii derivați triazinici sint numai parțiale. Aceasta deoarece nu ne-am putut permite să examinăm un număr suficient de mare de structuri posibile, care să ne îndreptățească să generalizăm concluziile. Pe de altă parte trebuie să avem în vedere caracterul limitat al acestei metode. De aceea este necesar ca în viitor să comprehendem în studiu mai multe specii înrudite și să acelăm eventual la metode teoretice îmbunătățite.

## PARTEA III.

### 8. COMPLECSI METALICI CU LIGANZI TRIAZINICI

A. Ostrogovich și colaboratorii săi au indicat o serie de reacții de recunoaștere a unor substanțe triazinice. Autorii au făcut presupuneri în ce privește structura pentru o serie de săruri complexe ale triazinelor cu Fe(II), Cu(II), Fe(III), Pt(IV) / 3 /.

Ne-am dorit atenția asupra complecșilor dintre Fe(III) și derivații cu grupări amidoximice deoarece aceștia sunt foarte intens colorați, ceea ce i-ar putea face antă și de aplicații analitice.

#### 8.1. Studiul spectrofotometric a complexului dintre Fe(III) și dioxima /229/

Dioxima dă o intensă colorație albastră cu ionul Fe(III) /203/. Încercări preliminare au arătat că intensitatea colorației depinde de concentrațiile reactanților și de ceea ce ionilor H<sup>+</sup>. Colorația se intensifică cu scăderea pH-ului pînă la o valoare de aproximativ 3 pentru ca apoi să slăbească. Aceasta indică retrogradarea formării complexului la pH ridicat datorită hidrolizei Fe(III) iar la pH mic datorită disociației acide reduse a dioximei.

Ne-am propus să stabilim raportul de combinare,

constanta de stabilitate și coeficientul molar de extincție. Pentru aceasta s-a utilizat metoda variațiilor continue a lui Job.

- Parte experimentală. S-a preparat o soluție inițială ce dioxină (acrospe saturată) de  $1,348 \cdot 10^{-3}$  mol/l prin disolvarea substanței cintărite la microbalanță în apă bidistilată.

Soluția de Fe(III) a fost preparată pornind de la  $\text{Fe(OH)}_3$ , obținut prin precipitarea  $\text{FeCl}_3$  p.a. cu  $\text{NH}_4\text{OH}$  p.a. și spălare cantitativă. Hidroxidul a fost dizolvat în exces de  $\text{HClO}_4$  p.a. Conținutul în fier al soluției a fost stabilit iodometric, iar cel în  $\text{ClO}_4^-$  total a fost stabilit alcalimetric prin precipitarea Fe(III) cu exces de NaOH și retragere cu HCl, după filtrarea și secălarea precipitatului. Prin diluare cu apă bidistilată s-a adus soluția la o concentrație de  $1,788 \cdot 10^{-2}$  mol/l în Fe(III) și  $2 \cdot 10^{-2}$  mol/l în  $\text{HClO}_4$  liber.

Ambele soluții au fost diluate la concentrații de  $7 \cdot 10^{-4}$  și  $3,5 \cdot 10^{-4}$  mol/l substanță activă. Forța ionică a soluțiilor a fost stabilită la valoarea 0,02 prin adăugarea de  $\text{HClO}_4$  și NaOH astfel ca să se realizeze concentrații de:  $4 \cdot 10^{-3}$ ,  $8 \cdot 10^{-3}$ ,  $12 \cdot 10^{-3}$ , și  $16 \cdot 10^{-3}$  mol/l în ioni de  $\text{H}^+$ .

Curba de absorbție a complexului s-a trăsăt cu un spectrofotometru înregistrător Beckman constatăndu-se un maxim de absorbție la lungimea de undă de 570 nm - figura 8.1.

Măsurările de extincție s-au făcut cu un spectrofotometru Zeiss VSU-1 la lungimea de undă de 570 nm,

temperatura de  $20 \pm 0,5^\circ C$ , cuva de 2,003 cm grosime fiind introdusă într-un dispozitiv de termostatare prin care s-a circulat apă de la un termostat universal Wobser.

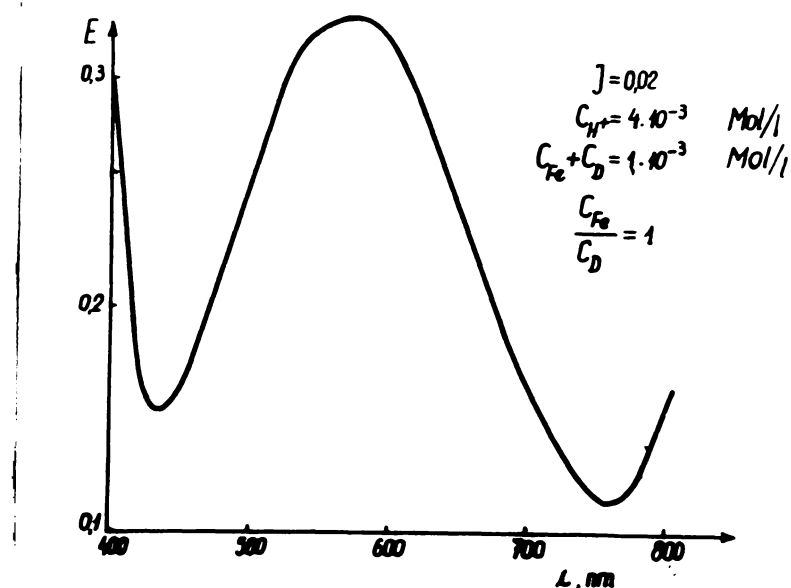
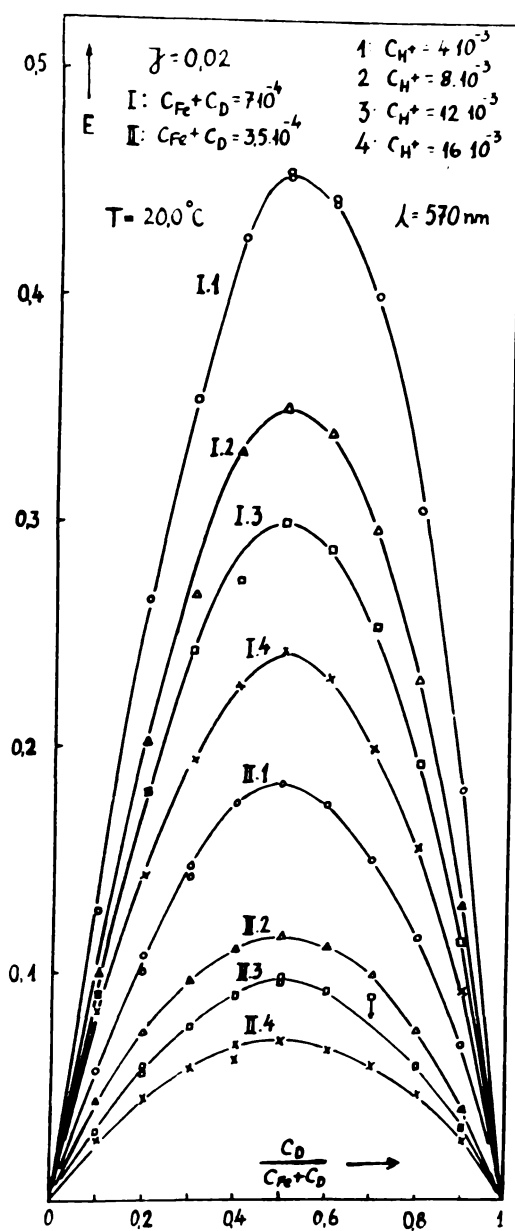


Fig. 8.1. Spectrul de absorbție a complexului dintre Fe(III) și dioximă.

Soluțiile de dioximă și Fe(III) pentru concentrațiile amintite s-au amestecat în proporții făcând să varieze raportul  $\beta = A/A+B = C_D/C_D+C_{Fe}$ , între limitele 0 și 1, unde A este concentrația analitică a dioximei iar B cea a Fe(III). Amestecarea soluțiilor s-a făcut în afara cuvei iar extincția s-a determinat după un timp de 1-1,5 minute, ea a fost urmărită apoi din minut în minut pentru fiecare probă intrucât s-a constatat că scade cu timpul. Valoarea obținută prin extrapolare la timpul zero s-a utilizat pentru alcătuirea curbelor Job, reprezentate în figura 8.2.

- Interpretația rezultatelor. Determinările făcute la diverse concentrații ale ionilor  $H^+$  indică, după cum se vede din figura 8.2, un raport de combinare Fe : Dioximă egal cu 1:1.



**Fig. 8.2. Curba Job pentru complexul dintre Fe(III) și dioximă.**

Ușoara asimetrie a curbelor Job s-ar putea datora prezenței acidului percloric, adăugat pentru a împiedeca hidroliza Fe(III). În aceste condiții baza leagă protonii trecînd în forma  $DH_4^+$  și astfel concentrația de substanță complexantă scade. În asemenea cazuri s-a arătat de către Asmus /230/ că și pentru complexii 1:1 curba Job

nu este simetrică. Spre deosebire de curbele complexelor cu raport de combinare diferit de 1:1, acestea nu prezintă însă punct de inflexiune pe ramura stângă.

Considerăm raportul de combinare găsit ca fiind corect și datorită faptului că am stabilit o concentrație a ionilor  $H^+$  destul de mare, care practic nu este modificată de protonii rezultați din reacția de complexare. Putem deci considera că am lucrat la  $pH = \text{const.}$  sau în care poziția maximului este determinată exclusiv de stoichiometria complexului chiar și în cazul existenței unor reacții concurente cu cea de formare a acestuia.

S-a calculat constanta de stabilitate a complexului la cele patru concentrații ale ionilor de  $H^+$  din perechi de curbe Job cu concentrații totale  $(A_I + B_I) = 7 \cdot 10^{-4}$  și  $(A_{II} + B_{II}) = 3.5 \cdot 10^{-4}$  mol/l.

Dacă ne imaginăm formarea complexului printr-o simplă adiție

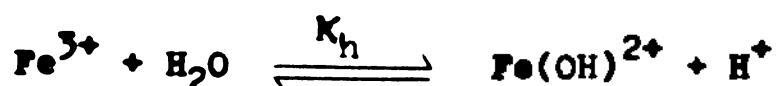


constantă de formare va fi dată de relația

$$K = \frac{[x]}{[Fe^{3+}][DH_3]} \quad (8.2)$$

unde  $x$  = concentrația de echilibru a complexului.

Lăudând în considerare hidroliza  $Fe^{3+}$



și disocierea dioximei redată prin echilibrele 4.1 - 4.4, din bilanțul de concentrații

$$A = [DH_4^+] + [DH_3^-] + [DH_2^{2-}] + [DH_1^{3-}] + x = \\ = [DH_3^-] \left[ \frac{[H^+]}{K_1} + 1 + \frac{K_2}{[H^+]} + \frac{K_2 K_3}{[H^+]^2} + \frac{K_2 K_3 K_4}{[H^+]^3} \right] + x \quad (8.3)$$

$$B = [Fe^{3+}] + [Fe(OH)^{2+}] + x = \\ = [Fe^{3+}] \left( \frac{K_h + [H^+]}{[H^+]} \right) + x \quad (8.4)$$

găsim concentrațiile de echilibru ale reacționilor :

$$[Fe^{3+}] = (B-x) \left( \frac{[H^+]}{K_h + [H^+]} \right) \quad (8.5)$$

$$[DH_3^-] = (A-x) \frac{\frac{1}{[H^+]}}{\frac{1}{K_1} + 1 + \frac{K_2}{[H^+]} + \frac{K_2 K_3}{[H^+]^2} + \frac{K_2 K_3 K_4}{[H^+]^3}} \quad (8.6)$$

Introducind aceste valori în relația 8.2 găsim pentru constanta de formare următoarea expresie

$$K = \frac{x}{(A-x)(B-x)} \cdot \left( \frac{K_h + [H^+]}{[H^+]} \right) \left( \frac{[H^+]}{K_1} + 1 + \frac{K_2}{[H^+]} + \right. \\ \left. + \frac{K_2 K_3}{[H^+]^2} + \frac{K_2 K_3 K_4}{[H^+]^3} \right) \quad (8.7)$$

unde  $K_h$  este constanta de hidroliză a Fe(III),  $K_1 \dots K_4$  constantele de disociere a dioximei, cu semnificația indicată la pagina 41,  $h = [H^+] = C_{H^+}$  concentrația analitică a ionilor  $H^+$ . Concentrația complexului o vom determina din măsurători de extincție cu ajutorul legii lui Lambert-Beer.

Datele din literatură /231/ pentru forță ionică

$J = 0,01$  au fost folosite pentru determinarea corecțiilor de temperatură ( $\Delta H^\circ = 11,366 \text{ cal/mol}$ ,  $\Delta S^\circ = 26,67 \text{ cal/prod.mol}$  în vederea calculării constantei de hidroliză la temperatura de lucru. S-a obținut valoarea  $K_h = 2,24 \cdot 10^{-3}$ , nu s-a făcut însă corecția pentru forța ionică care influențează puțin mărimea constantei în intervalul  $J = 0,01 \dots 0,02$ .

S-a calculat constantele de aciditate pentru forță ionică  $J = 0,02$  utilizând relațiile 4.22. Nu s-a putut aduce însă corecția de temperatură. Valorile obținute în aceste condiții sunt  $K_1 = 2,5 \cdot 10^{-2}$ ,  $K_2 = 1,8 \cdot 10^{-8}$ ,  $K_3 = 1,3 \cdot 10^{-10}$  iar  $K_4 = 0,8 \cdot 10^{-11}$ . Având în vedere mărimea constantelor și concentrațiile ionilor de  $H^+$  la care s-a lucrat am constatat că expresia 8.7 se reduce practic la :

$$K = \frac{x}{(A-x)(B-x)} \left[ \frac{K_h + h}{h} \left( \frac{h}{K_1} + 1 \right) \right] = k \left[ \frac{K_h + h}{h} \left( \frac{h}{K_1} + 1 \right) \right] \quad (8.8)$$

Raportul  $k = \frac{x}{(A-x)(B-x)}$  a fost calculat după două procedee :

1) S-au calculat concentrațiile A și B pentru perechea de curbe Job de concentrație a ionilor de  $H^+$  identică la aceeași extincție ( $E_I = E_{II} = E$ ). În aceste condiții /236/ expresia constantei K se poate scrie astfel :

$$K = \frac{x}{(A_I-x)(B_I-x)} \left[ \frac{K_h + h}{h} \left( \frac{h}{K_1} + 1 \right) \right] = \\ = \frac{x}{(A_{II}-x)(B_{II}-x)} \left[ \frac{K_h + h}{h} \left( \frac{h}{K_1} + 1 \right) \right] \quad (8.9)$$

în care x poate fi exprimat în funcție de extincția E, coefici-

entul molar  $\varepsilon$  și grosimea cuvei  $d$ :

$$x = \frac{E}{\varepsilon d} \quad (8.10)$$

Din relațiile 8.9 și 8.10 rezultă expresia coeficientului de extincție:

$$\varepsilon = \frac{E \left[ (A_I + B_I) - (A_{II} + B_{II}) \right]}{d(A_I B_I - A_{II} B_{II})} \quad (8.11)$$

unde indicii I și II se referă, așa cum s-a mai arătat, la cele două concentrații totale de reactanți.

Cu ajutorul relațiilor 8.11 și 8.10 se calculează apoi constanța  $K$ . Datele citite de pe curba Job și cele calculate în modul indicat sunt trecute în tabelul 8.1.

2) S-au calculat concentrațiile  $A$  și  $B$  pentru perioada de curbe Job de concentrație identică a ionilor  $H^+$  și pentru rapoarte egale ale concentrației reactanților ( $A_I/B_I = A_{II}/B_{II} = A/B$ ). În acest caz din relația 8.9 scriem pentru cele două curbe și simplificată în forma

$$\frac{x_I}{(A_I - x_I)(B_I - x_I)} = \frac{x_{II}}{(A_{II} - x_{II})(B_{II} - x_{II})}$$

și relația 8.10, obținem pentru coeficientul de extincție următoarea expresie:

$$= \frac{p + \sqrt{p^2 - 4qr}}{2q} \quad (8.12)$$

unde

$$p = dE_I E_{II} (A_I - A_{II} + B_I - B_{II})$$

$$q = d^2 (A_I B_I E_{II} - A_{II} B_{II} E_I)$$

$$r = E_I E_{II} (E_I - E_{II})$$

TABELUL 8.1.

Mărimi experimentale și calculate din curbele Job

	$h \cdot 10^3$	E	$A_I \cdot 10^5$	$B_I \cdot 10^4$	$A_{II} \cdot 10^5$	$B_{II} \cdot 10^4$	$\varepsilon \cdot 10^{-3}$	$x \cdot 10^5$	$k \cdot 10^{-3}$	K. $10^{-3}$
Procedeul I (E = constant)										
4	0,08	4,3	6,6	5,2	3,0	1,08	3,7			
	0,12	6,3	6,4	8,0	2,7	1,14	5,3	8,16	14,76	
	0,16	8,0	6,2	12,0	2,3	1,25	6,4			
8	0,06	4,0	6,6	5,2	3,0	0,98	3,1			
	0,08	5,4	6,5	7,8	2,7	1,02	3,9	4,50	7,66	
	0,10	6,8	6,3	11,2	2,4	1,07	4,6			
12	0,05	3,3	6,7	5,9	2,9	1,86	1,3			
	0,07	4,7	6,5	9,3	2,6	1,81	1,9	1,16	2,02	
	0,09	6,1	6,4	14,0	2,1	1,65	2,7			
16	0,04	3,1	6,7	6,3	2,9	2,35	1,0			
	0,05	4,0	6,6	8,6	2,6	2,38	1,2	0,71	1,33	
	0,06	4,9	6,5	11,4	2,4	2,09	1,6			

TABELUL 8.2.

Merind experimentale și cele calculate din curbele Job.

$\text{h} \cdot 10^3$	A/B	$E_I$	$E_{II}$	$A_I \cdot 10^4$	$B_I \cdot 10^4$	$A_{II} \cdot 10^4$	$B_{II} \cdot 10^4$	$\mathcal{E} \cdot 10^{-3}$	$x_I \cdot 10^4$	$x_{II} \cdot 10^5$	$k \cdot 10^{-3}$	K $\cdot 10^{-3}$
Procedeu 2 (A/B = constant)												
4	1/4	0,260	0,106	1,4	5,6	0,70	2,80	1,23	1,1	4,3		
	3/7	0,356	0,146	2,1	4,9	1,05	2,45	1,14	1,6	6,4		
	2/3	0,430	0,174	2,8	4,2	1,40	2,10	1,13	1,9	7,7		
	1/4	0,200	0,074	1,4	5,6	0,70	2,80	1,16	0,9	3,2		
	3/7	0,279	0,096	2,1	4,9	1,05	2,45	1,41	1,0	3,4		
	2/3	0,331	0,111	2,8	4,2	1,40	2,10	1,54	1,1	3,6		
12	1/4	0,178	0,057	1,4	5,6	0,70	2,80	1,61	0,55	1,76		
	3/7	0,242	0,076	2,1	4,9	1,05	2,45	2,04	0,59	1,86		
	2/3	0,284	0,090	2,8	4,2	1,40	2,10	1,67	0,85	2,69		
	1/4	0,147	0,044	1,4	5,6	0,70	2,80	1,83	0,40	1,20		
	3/7	0,191	0,057	2,1	4,9	1,05	2,45	1,78	0,53	1,60		
	2/3	0,226	0,066	2,8	4,2	1,40	2,10	2,07	0,54	1,59		

In tabelul 8.2 sint redate valorile experimentale si cele calculate pentru  $\epsilon$ , x si k. Eroarea care afecteaza raportul k s-a determinat utilizind metoda propagarii erorilor. Pentru aceasta s-a tinut cont de erorile de pipetare precum si de cele ale volumului baloanelor cotate (erorile de volum ale pipetelor si baloanelor s-au determinat prin cintarire cu apa bidistilata la balanta analitica). Ca eroare de determinare a extinciei s-a luit valoarea indicata pentru azurat. După cum se vede din tabelul 8.3 cele doua cai de calcul sint afectate de erori asemnatoare.

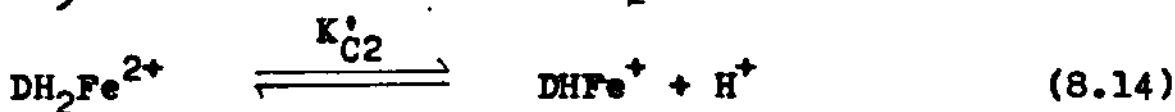
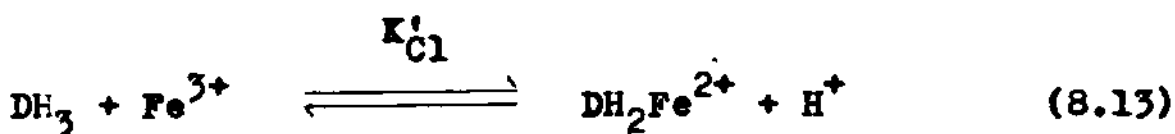
TABELUL 8.3.

Erorile care afecteaza raportul k

J = 0,02		h = 0,004 M	
E	$k \cdot 10^{-3}$	A/B	$k \cdot 10^{-3}$
Procedeu 1		Procedeu 2	
0,08	$9,0 \pm 3,8$	1/4	$6,7 \pm 2,6$
0,12	$8,7 \pm 3,2$	3/7	$8,5 \pm 3,5$
0,16	$6,8 \pm 2,0$	2/3	$9,1 \pm 2,9$

Urmărind tabelele 8.1 și 8.2 constatăm că odată cu creșterea acidității se modifică valoarea coeficientului molar de extincie  $\epsilon$  și a constantei K. Dependența lui  $\epsilon$  de concentrația ionilor de  $H^+$  arată că nu este vorba de o simplă adiție, cum am presupus la început. Apoi este posibil ca în reacția de complexare să apară mai mulți complexe colorați. Aceștia s-ar forma prin reacția Fe(III) cu diverși anioni ai dioximei întocmai ca și în reacția dintre Fe(III) și Tiron /232/.

Am presupus atunci următoarea schema de desfășurare a procesului :



în care caz se vede că

$$Kh^2 = \frac{([DH_2Fe^{2+}] + [DHFe^+]) h^2}{[DH_3] [Fe^{3+}]} = K'_{Cl} h + K_C \quad (8.16)$$

Intr-adevăr  $Kh^2$  depinde liniar de  $h$  - tabelul

8.4. Prelucrind datele după metoda celor mai mici pătrate, după ce am eliminat două valori puternic abătute am găsit :

TABELUL 8.4.

Variatia produsului  $Kh^2$  în funcție de  $h$

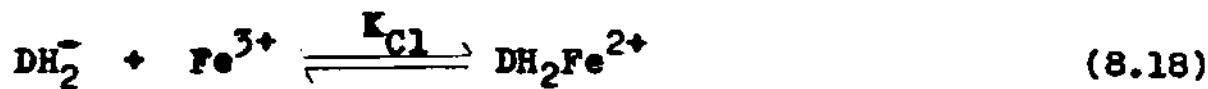
Procedul 1			Procedul 2	
$h \cdot 10^3$	$K \cdot 10^{-3}$	$Kh^2 \cdot 10^2$	$K \cdot 10^{-3}$	$Kh^2 \cdot 10^2$
4	14,76	23,62	14,65	23,45
8	7,66	49,04	4,31	27,57
12	2,02	29,17	1,94	27,91
16	1,33	33,98	1,36	34,94

$$K_C = 0,191 \pm 0,009$$

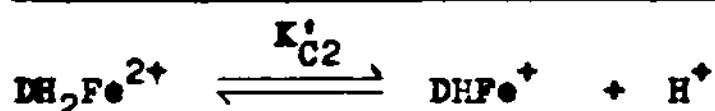
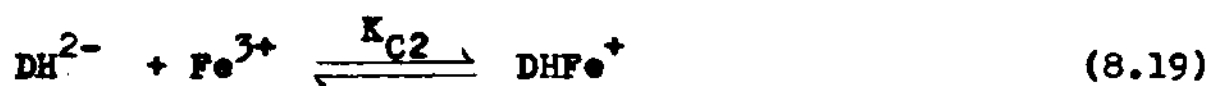
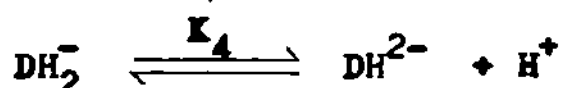
$$K'_{Cl} = 9,49 \pm 0,08$$

$$K'_{C2} = 0,020$$

Pentru a calcula adevăratele constante de formare ale celor doi complecși am ținut seama de echilibrele :



și



$$\text{de unde rezultă : } K_3 \cdot K_{Cl} = K'_{Cl} \quad (8.20)$$

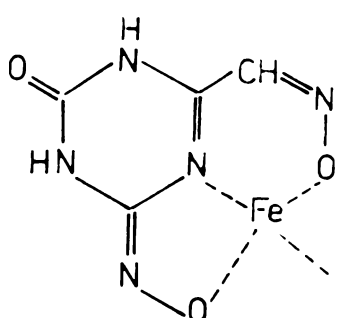
$$\frac{K_4 \cdot K_{C2}}{K_{Cl}} = K'_{C2} \quad (8.21)$$

Constantele de aciditate  $K_3$  și  $K_4$  se referă la funcțiile acide care se deprotoneză ca urmare a complexării. Se știe că ionizarea acestora este influențată de procesul formării complexului, se pot utiliza însă ca prime valori chiar constantele de aciditate propriu zise. Ar trebui deci să cunoaștem structura complexului pentru a ști la ce grupări se referă cele două constante. Pentru aceasta am avut în vedere date anterioare./Ros/ și actuale : 1) Colorația cu Fe(III) sedatore-regte grupării hidroximice, decarece persistă și după reducerea grupării hidroximice sau transformarea în nitril 2) Formarea primului complex al dioximei este însoțită de eliberarea unui proton iar a celui secund de doi protoni; de aceea colorația

este influențată defavorabil de creșterea acidității.

Dacă admitem că structura moleculei ligandului nu se schimbă prin complexare ar fi posibilă, pentru cel de al doilea complex, structura XI. Al patrulea punct de coordinare

XI



ar putea fi ocupat eventual de o moleculă de acă sau de o grupare de la altă molecule (structură dimeră).

Faptul că gruparea amidoximică este răspunzătoare de apariția culorii albastre în reacția dioximei (sau a unor derivați ai ei) cu Fe(III) explică de ce fenilhidrazone dioximei (Tabelul 5.1. compusul 22) nu dă reacția de culoare cu  $\text{FeCl}_3$  /203/. Așa cum indică spectrele de IR (pag. 61/ prin reacția cu fenilhidrazina gruparea amidoximică din dioximă nu mai rămâne disponibilă.

Acceptând structura de mai sus pentru complex, am utilizat constantele de aciditate  $K_3$  și  $K_4$  pe care le-am considerat legate de gruparea oximică respectiv aldoximică (pag. 50 ).

Dacă ținem seama de mărimea celor două constante (pag. 111 ) și folosim relațiile 8.20 și 8.21 se obțin următoarele valori pentru constantele de formare ale celor doi compleksi :  $K_{C1} = 7,3 \cdot 10^{10}$        $K_{C2} = 1,8 \cdot 10^{20}$ . Aceste valori mari, comparabile ca ordin de mărime cu a complexului dintre Fe(III) și Tiron /232/, vin în sprijinul structurii XI care reprezintă complexi de tip chelatic.

In continuare ne-am propus să calculăm coeficienții molari de extincție ( $\epsilon_{c1}$  și  $\epsilon_{c2}$ ) ai celor doi compleksi.

Folosind proprietatea de aditivitate a extincției :

$$\frac{E}{d} = \varepsilon_{C1} \cdot x_1 + \varepsilon_{C2} \cdot x_2 \quad (8.22)$$

și ținând seama că  $x_1 + x_2 = x$  iar  $K'_{C2} = x_2 h / x_1$  obținem o altă formă a relației 8.22 :

$$\frac{E}{d} = (x_1 + x_2) \frac{\varepsilon_{C1} h + \varepsilon_{C2} K'_{C2}}{h + K'_{C2}} \quad (8.23)$$

Comparind relațiile 8.23 cu 8.10 găsim că

$$\varepsilon = \frac{\varepsilon_{C1} \cdot h + \varepsilon_{C2} \cdot K'_{C2}}{h + K'_{C2}} \quad (8.24)$$

Această relație redă dependența lui  $\varepsilon$  de concentrația ionilor de hidrogen. Funcția  $\varepsilon(h + K'_{C2})$  trebuie să depinde linier de  $h$ , fapt verificat de datele noastre - tabelul 8.5.

TABELUL 8.5.

Datele privind variația coeficientului  $\varepsilon$  cu concentrația ionilor de hidrogen

$h \cdot 10^3$	Procedeu 1		Procedeu 2	
	$\varepsilon \cdot 10^{-3}$	$(h + K'_{C2})$	$\varepsilon \cdot 10^{-3}$	$(h + K'_{C2})$
4	1,15	27,60	1,17	28,08
8	1,02	28,56	1,37	38,36
12	1,77	56,64	1,77	56,64
16	2,27	81,72	1,89	68,04

Prelucrind datele după metoda celor mai mici pătrate și eliminând două valori abătute, am găsit pentru cei doi coeficienți molari de extincție valorile :

$$\varepsilon_{C1} = 3471 \quad \varepsilon_{C2} = 675 \quad l \cdot mol^{-1} \cdot cm^{-1}$$

In tabelele 8.6 și 8.7 sunt trecute valorile extincției calculate cu ajutorul acestor coeficienți; putem considera că există o concordanță satisfăcătoare cu datele experimentale.

TABELUL 8.6

Date privind calculul curbelor Job (ramura stîngă)

h.10 <sup>3</sup>	Procedul 1				$E_I = E_{II}$
	x.10 <sup>4</sup>	$x_1 \cdot 10^4$	$x_2 \cdot 10^4$	$E_{calc}$	
4	0,368	0,061	0,307	0,084	0,080
	0,527	0,088	0,439	0,120	0,120
	0,636	0,106	0,530	0,145	0,160
8	0,306	0,037	0,219	0,090	0,060
	0,390	0,111	0,279	0,115	0,080
	0,465	0,132	0,333	0,137	0,100
12	0,134	0,050	0,084	0,046	0,050
	0,193	0,072	0,121	0,067	0,070
	0,272	0,102	0,170	0,094	0,090
16	0,097	0,043	0,054	0,037	0,040
	0,120	0,053	0,067	0,046	0,050
	0,164	0,073	0,091	0,063	0,060

Am încercat să verificăm datele obținute și prin calcularea pantei curbelor Job la capătul stîng al acestora /23o/. Tinînd seama de aditivitatea extincției găsim pentru panta inițială ( $\delta$ ) următoarea relație :

$$\delta = \left( \frac{dE}{d\beta} \right)_{\beta=0} = \left( \frac{dE_1}{d\beta} \right)_{\beta=0} + \left( \frac{dE_2}{d\beta} \right)_{\beta=0} \quad (8.25)$$

unde  $\beta$  are semnificația arătată la pagina 107, iar  $E_1$

July 30, 1907.

și  $E_2$  sint extincțiile datorate primului, respectiv celui de al doilea complex.

Putem scrie următorul sistem de ecuații pentru echilibrele implicate în formarea complecșilor :

$$[DH_4^+] K_1 = [DH_3^-] \cdot [H^+]$$

$$[DH_2^-] K_2 = [DH_2^-] [H^+]$$

$$[DH_2^-] K_3 = [DH_2^{2-}] [H^+]$$

$$[DH_2^{2-}] K_4 = [D^{3-}] [H^+]$$

$$[DH_3^-] [Fe^{3+}] K_{C1} = x_1 \cdot h$$

$$x_1 K_{C2}' = x_2 \cdot h$$

$$[DH_3^-] [Fe^{3+}] K_C = x_2 \cdot h^2$$

$$[Fe^{3+}] \frac{K_h + h}{h} = (A + B)(1 - \beta) - (x_1 + x_2) \quad (8.26)$$

$$[DH_4^+] + [DH_3^-] + [DH_2^-] + [DH_2^{2-}] + [D^{3-}] = (A + B)\beta - (x_1 + x_2) \quad (8.27)$$

$$[DH_4^+] + h \approx h \approx \text{constant} \quad (8.28)$$

Cu ajutorul lor și prin eliminarea termenilor cu valori practic neglijabile (a se vedea relațiile 8.7 și 8.8) am găsit următoarele ecuații de dependență a concentrațiilor celor doi complecși ( $x_1$  respectiv  $x_2$ ) de  $\beta$  :

$$\begin{aligned} & [(A + B)(1 - \beta) - x_1] [(A + B)\beta - x_1] = \\ & = \frac{K_h + h}{h} \frac{x_1}{K_{C1}'} \left[ \frac{h^2}{K_1} + h \right] + \frac{x_1 K_{C2}'}{h} \left[ (A + B) - 2x_1 - \frac{x_1 K_{C2}'}{h} \right] \end{aligned} \quad (8.29)$$

$$\begin{aligned} & [(A + B)(1 - \beta) - x_2] [(A + B)\beta - x_2] = \\ & = (K_h + h) \frac{x_2}{K_C'} \left[ \frac{h^2}{K_1} + h \right] + \frac{x_2 h}{K_{C2}'} \left[ (A + B) - x_2 - 2 \frac{x_2 h}{K_{C2}'} \right] \end{aligned} \quad (8.30)$$

Derivând aceste expresii în raport cu  $\beta$  și punând condiția  $\beta = 0$ ,  $x_1 = 0$  respectiv  $\beta = 0$ ,  $x_2 = 0$ , se obține :

$$\left(\frac{dx_1}{d\beta}\right)_{0,0} = \left(\frac{dE_1}{d\beta}\right) \frac{1}{\varepsilon_{C1} \cdot d} = \frac{(A+B)^2}{(A+B)\left(1+\frac{K_C^1 C_2}{h}\right) + \frac{K_h + h}{h K_C^1} \left(\frac{h^2}{K_1} + h\right)} \quad (8.31)$$

$$\left(\frac{dx_2}{d\beta}\right)_{0,0} = \left(\frac{dE_2}{d\beta}\right) \frac{1}{\varepsilon_{C2} \cdot d} = \frac{(A+B)^2}{(A+B)\left(1+\frac{h}{K_C^1 C_2}\right) + \frac{K_h + h}{K_C} \left(\frac{h^2}{K_1} + h\right)} \quad (8.32)$$

de unde se calculează contribuțiile la panta curbei  $dE_1/d\beta$  și  $dE_2/d\beta$ .

In tabelul 8.8 sunt date valorile experimentale și cele calculate (cu relațiile 8.31, 8.32 și 8.25 a vantei curbelor Job. Si în acest caz putem considera ca satisfăcătoare concordanța dintre date.

TABELUL 8.8.

Valorile experimentale și calculate ale vantei  
curbelor Job

$h \cdot 10^3$	$A_I + B_I = 7 \cdot 10^{-4} M$				$A_{II} + B_{II} = 3,5 \cdot 10^{-4} M$			
	$dE_1/d\beta$	$dE_2/d\beta$	$\delta_{calc}$	$\delta_{exp.}$	$dE_1/d\beta$	$dE_2/d\beta$	$\delta_{calc.}$	$\delta_{exp.}$
4	0,686	0,668	1,35	1,42	0,298	0,290	0,59	0,57
8	0,877	0,428	1,30	1,10	0,320	0,157	0,48	0,44
12	0,835	0,271	1,10	0,97	0,271	0,088	0,36	0,30
16	0,721	0,176	0,90	0,85	0,216	0,053	0,27	0,27

### 8.2. Studiul altor complecsi de Fe(III) cu derivati ai dioximei

S-a arătat că reacția de culoare cu Fe(III) o dau toți derivatii avind gruparea amidoximică. Era deci interesant să urmărim cum se modifică tendința de complexare cu schimbările din molecula ligandului.

Ne-am oprit atenția asupra amidoximei - tabelul 5.1, compusul 9 - în care două funcțiuni dău reacția de culoare cu  $\text{Cl}_3\text{Fe}$  (grupurile amidoximice).

S-a arătat că în funcție de proporția în care se amestecă reactanții culoarea soluției variază între bordo și violet-albastru. Explicația dată era formarea unor compleksi în care sunt implicate ambele grupări oximice, atunci cînd Fe(III) este în exces, sau numai gruparea amidoximică atunci cînd ligandul este în exces /203/.

In vederea obținerii de indicații referitoare la existența probabilă a acestor compleksi am înregistrat în condițiile indicate la pagina 106 , spectrele soluțiilor de amidoximă și Fe(III) amestecate în diferite proporții. Alura spectrului este aceeași ca și la diaximă; maximul de absorbție, pentru complexul 1:1, se situează la 550 nm.

Avind în vedere că, analog dioximei, complexul trebuie să fie foarte stabil am aplicat metoda lui Yee și Jones /233/ pentru găsirea raportului de combinare. În figura 8.3 este redată variația extincției în funcție de raportul numărului de moli a reactanților. Prin extrapolarea porțiunilor liniare se găsește un raport Fe: "amidoximă" = 1:1.

Pentru a calcula constanta de stabilitate am folo-

sit tot metoda variațiilor continue a lui Job,

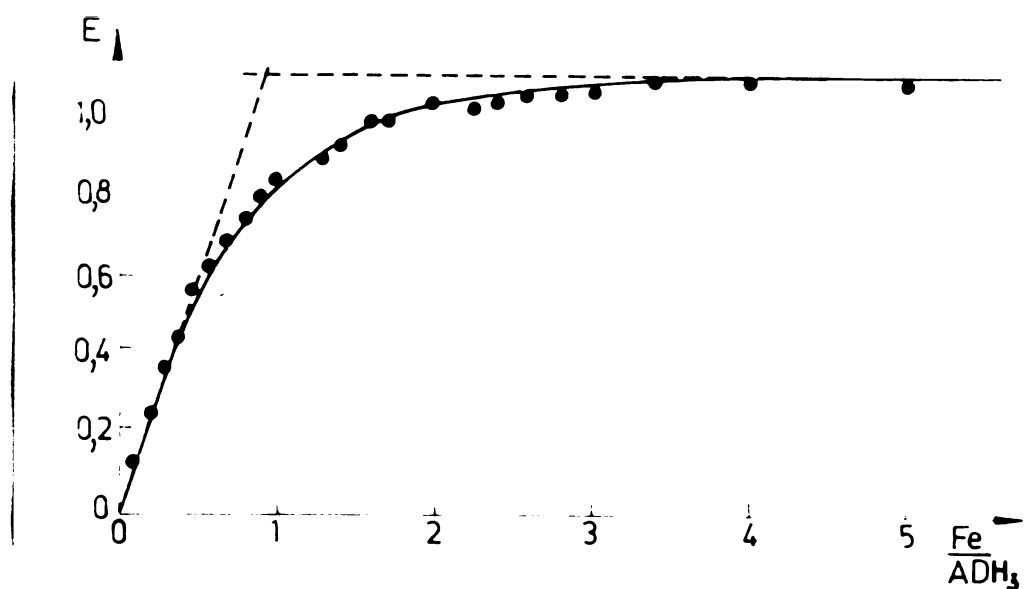
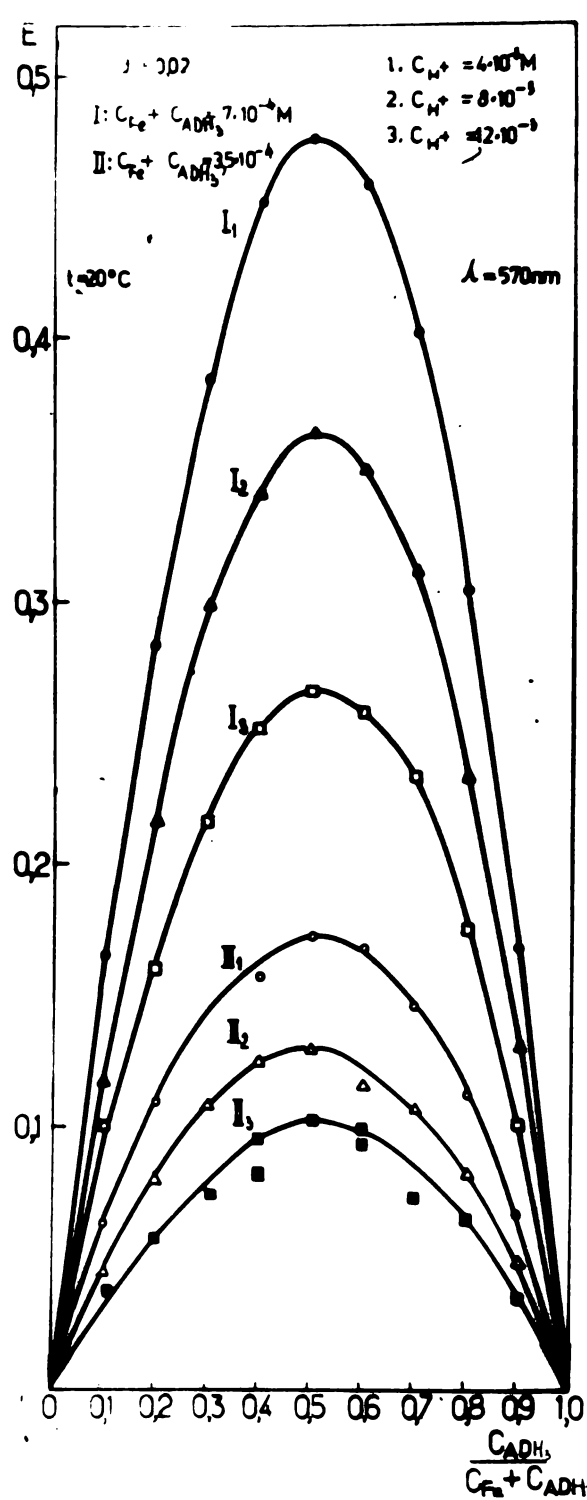


Fig.8.3. Variația extincției cu reportul  $\text{Fe}/\text{AlH}_3$   
( $J = 0,02$ ,  $h = 0,004 \text{ M}$ )

S-a lucrat exact în aceleasi condiții ca și în cazul complexului dintre Fe(III) și cioxină pentru a putea face comparație între date. Curbele Job traseate sunt redate în figura 8.4, ele indică același raport de combinare ca și metoda precedentă.

Din perechi de curbe s-a determinat, după procesul anterior descris valorile  $k$  pentru complexul dintre Fe(III) și amidoxină – tabelul 8.9 –. Deoarece nu se cunosc constantele de aciditate ale ligandului nu se pot determina constantele de formare și coeficienții molari de extincție.

Comparind valorile  $k$  și  $\mathcal{E}$  din tabelul 8.9 cu cele din tabelele 8.1 și 8.2, vedem că aciditatea nu influențează în aceeași măsură ( $k$ ) și în același fel ( $\mathcal{E}$ ) formarea complexului de amidoxină. Pe de altă parte observăm că în condiții identice



**Fig. 8.4. Curba Job pentru complexul dintre Fe(III) și „amidoximă”**

#### TABLUL 8.9.

Mărimi calculate din curbele Job pentru complexul dintre Fe(III) și „amidoximă”

Procedeu 1 ( $E = \text{const}$ )		Procedeu 2 ( $A/B = \text{const}$ )			
$h$	$\varepsilon \cdot 10^{-3}$	$k \cdot 10^{-3}$	$h$	$\varepsilon \cdot 10^{-3}$	$k \cdot 10^{-3}$
0,004	1,70	2,9	0,004	1,52	4,1
0,008	1,17	4,0	0,008	1,24	3,6
0,012	1,10	3,8	0,012	0,94	2,8

extincția soluțiilor de complex cu „amidoximă” este mai mare decit a celor de complex cu dioximă (a se vedea figurile 8.4 și 8.2). Datele de care dispunem însă în prezent nu sunt suficiente pentru explicarea constatărilor mai sus menționate. Vom avea în vedere pe viitor completarea acestui studiu.

Credem că modificările de comportament se datorează prezenței în moleculă a două grupări amidoximice. Aceasta ar putea juca și o stabilitate marită pentru complexul cu „amidoximă”. Pe de altă parte pozițiile maximelor de absorbtie destul de apropiate în cazul celor doi compleksi (570 și 550 nm) denotă similitudinea cromoforului din acestia. Scindarea nivelerelor ale ionului central în cimpul de liganzi ar indica o tărie mai mare pentru „amidoximă” față de dioximă.

Concluzii. Dioxima și derivații ei având în moleculă gruparea <sup>amid</sup>oximică formează cu ionul Fe(III) compleksi colorați. În cazul a doi dintre acești s-a determinat raportul de combinație 1:1.

- Studiul întreprins scoate în evidență faptul că în reacția dintre metal și ligand se formează doi compleksi. Obținerea acestora este însotită de eliberarea a cîte un proton, de aceea creșterea acidității influențează negativ reacția de culoare.

- Constantele de stabilitate, determinate pentru complexul cu dioxima, sunt foarte mari indicind structură de chelat.

- Substituirea atomului de hidrogen din gruparea formaldoximică cu  $\text{NH}_2$  modifică comportarea ligandului; în aceste condiții există două grupări ce dau reacția de culoare cu  $\text{Cl}_3\text{Fe}$ . Lipsa datelor privitoare laaciditatea grupărilor ne-a împiedicat să obținem constanta de formare a acestui complex. Informa-

tiile de care dispunem sugerează că „amidoxima” este un ligand ceva mai puternic decât dioxima.

## CONCLUZII GENERALE

In lucrarea de față este prezentat un studiu fizico-chimic al citorva compusi triazinici de interes mai deosebit, dintre cei obținuți de scoala clujeană a lui A. Ostrogovich și colaboratorilor săi. Din rezultatele acestui studiu se desprind concluziile enumerate mai jos.

1. S-au urmărit proprietățile acido-bazice ale acestor compusi, cu caracter amfoter. Metodele obisnuite de cercetare sunt greu de aplicat, datorită solubilității lor reduse în apă. Ne-am opriit asupra dioximei (compusul 13 - tabelul 5.1) ceva mai solubilă. Desigur, în viitor ne vor preocupa metode adecvate de lucru și în condițiile unei solubilități reduse.

2. Dioxima este o substanță cu o funcție bazică slabă și trei funcții acide. Tările acestora a fost determinată folosind metoda spectrală sau potențiometrică. Din punct de vedere spectral se manifestă ca specii distincte doar cationul  $DH_4^+$ , molecula neutră  $DH_3$ , și anionul trivalent  $D^{3-}$ , astfel că pe această cale s-a putut determina doar constanta de bazicitate ( $pK_{al} = 1,6 \pm 0,2$ ).

3. Constantele de aciditate au fost determinate potențiometric. Funcțiile acide sunt de asemenea relativ slabe, iar ultimele două de către apropiată, motiv pentru care treptele respective de disociere se suprapun în curba de titrare. La trecerea inversă, din mediu alcalin în mediu acid, datorită transformărilor tautomere, se constată un histerezis în curba de titrare. Ca urmare valorile  $pK_{a1}$  ( $pK_{a2} = 7,7$ ,  $pK_{a3} = 9,9$ ,  $pK_{a4} = 10,9$ ) sunt afectate de o carecare nesiguranță. Pe baza datelor de care dispunem, ordinea de către a celor trei funcții

acide ar fi : gruparea amidă  $\rightarrow$  amidoximă  $\rightarrow$  aldoximă.

#### 4. Informații cu privire la structura

formelor tautomere predominante ale acestor compuși s-au obținut prin intermediul spectroscopiei. Astfel s-au determinat spectrele IR a 25 derivări triazinici. Din ele reiese că (în stare solidă) hidroxi-derivări se prezintă în formă amidică. Aceasta pare să stabilească legături de hidrogen externe, fie cu o altă moleculă, formând dimeri fie cu molecula de apă, în cazul substăncelor hidratate.

Amino derivări posedă însă realmente gruparea  $\text{NH}_2$ , care stabilește și ea punți de hidrogen.

5. În soluție apasă neutră toți compușii studiați prezintă un spectru electronic cu două benzi de absorbție. A fost cercetată mai amănuntit iarăși dioxima. Banda de la frecvențe mai mari a putut fi atribuită unei tranziții  $\tilde{\nu} \rightarrow \tilde{\nu}^+$ . Rămâne să incercăm a clarifica natura celei de a două benzi.

Spectrul dioximei se schimbă în funcție de pH. Am constatat o deplasare batecromă a primei benzi atât la protonare, cât și la ionizarea grupărilor acide.

6. Cu privire la speciile ionice, spectrul IR al clorhidrațiilor de monoximă și dioximă (compușii 11 și 14, tabelul 5.1) indică drept poziție de protonare atomul de azot al ciclului, vecin dublei legături.

Absența vibrării  $\nu_{\text{C}} = 0$  din spectrul IR al sării monosodice arată că anionul  $\text{DH}_2^-$  are sarcina negativă concentrată la atomul de oxigen.

7. S-a obținut spectrele UV ale cationului și anionului  $\text{D}^{3-}$  prin alegerea corespunzătoare a domeniului

de pH. Ambele specii manifestă două maxime de absorbție, coeficienții molarii de extincție fiind de ordinul  $10^4 \text{ l} \cdot \text{mol}^{-1} \cdot \text{cm}$ .

Anionii  $\text{DH}_2^-$  și  $\text{DH}^{2-}$  absorb la lungimi de undă apropiate de cele ale anionului trivalent  $\text{D}^{3-}$ . Am reușit să determinăm, la două lungimi de undă, altele decât cele corespunzătoare maximelor, coeficienții molarii de extincție pentru toate trei speciile anionice. După lungimile de undă, coeficienții cresc sau descresc concomitent cu gradul de ionizare.

8. Din spectroscopia de IR mai rezultă că derivații care posedă gruparea formaldoximică se găsesc în forme sin. Gruparea stabilește o legătură chelatică de hidrogen cu atomul de azot al ciclului.

Cît despre diferențele varietăți polimorfe,  $\alpha$  și  $\beta$ , obținute de la unii compuși (dioxime, monoxime), ele au structuri identice, deci sunt simpli izomeri cristalografici.

9. Este interesant că în reacția dintre dioximă și fenilhidrazină este anejetă gruparea azidoximică și nu cea eldoximică, cum au presupus inițial A. Ostrogovich și I. Căderiu. Concluzia este de altfel confirmată de faptul că derivatul fenilhidrazoneic (compusul 22 - tabelul 5.1) nu dă reacția de cuioare cu Fe(III), legată de prezența în moleculă a grupării azidoximice.

10. Pentru a da o bază teoretică rezultatelor noastre, am încercat o tratare cu procedeele chimiei cuantice, aproximația HMO. Am aplicat această metodă deocamdată la doi compuși triazinici : acetoguanide (compusul 2 - tabelul 5.1) și dioxima. S-au scris ecuațiile seculară, de gradul 9, respectiv 12, care au fost rezolvate prin intermediul Catedrei de Calcul numeric a Universității "Babeș-Bolyai" din Cluj. Rezultatele se concretizează în calcularea spectrului electronic și diagramele

moleculare obișnuite, purtătoare de sarcini efective, ordine de legătură și indice de valență liberă. Ele au fost corroborate cu datele experimentale. Pentru parametrii  $\alpha$  și  $\beta$  s-au utilizat valorile curente adoptate în literatură în cazul heterociclurilor cu azot.

11. Drept criteriu de stabilitate a diverselor structuri posibile s-a luat energia de formare teoretică. Pentru molecule de acetoguanidă forme tautomeră mai stabilă este cea amino-oxo..., în scord cu datele spectrului IR.

În cazul speciilor ionice, criteriul emintit ar indica o stabilitate mai mare pentru结构ure având protonat oxigenul grupării carbonilice, pe cind spectrul IR, ca și simplă intuiție chimică, indică mai curind protonarea la azotul ciclului. Această neconcordanță poate fi pusă pe seama metodei simple HMO. Trebuie să menționăm însă că, atunci cînd se apleează la metode mai perfectionate, criteriul stabilității trebuie aplicat cu prudență, căci datele energetice nu sunt suficient de sigure; și chiar de ar fi, existența reală a unei anumite structuri nu este dictată totdeauna de factori pur termodinamici.

12. Diagramele moleculare pentru starea fundamentală au permis să se interpreteze tranzițiile electronice, conducînd, în cazul dioximei, la o valoare  $\beta = -32.000 \text{ cm}^{-1}$ . De asemenea ele permit prevederi cu privire la felul interacțiunilor ciclu-grupare funcțională.

În ansamblu se poate spune că metoda HMO explică de multe ori, dar nu totdeauna, comportarea substanelor noastre. Pentru a obține o concordanță mai bună ar fi fost necesar să se suprindă în calcul mai multe structuri posibile (ceea ce n-am avut posibilitatea pînă în prezent) și îndeosebi să se re-

curgă la metode mai perfecționate.

13. Studiul întreprins de noi ne-a condus la o revizuire a formulelor de structură date de autorii clujeni pentru unii din derivații triezinici pe care i-au obținut. În toate tabelele am atribuit acestor derivați formule conforme cu rezultatele studiului nostru.

14. S-a studiat, pe cale spectrală, reacția de cu-loare dintre Fe(III) și dioximă, precum și alți derivați cu grupă amidoximică, stabilindu-se raportul de combinare (1:1), constantele de formare și alte indicații structurale.<sup>De fapt</sup> Dioxima formează doi complecsi, fiecare cu eliberarea cîte unui proton. Valorile mări ale constantelor de formare ( $K_{C1} = 7,3 \cdot 10^{10}$  și  $K_{C2} = 1,8 \cdot 10^{20}$ ) sugerează că acești complecsi sunt de tip chelatic. Punctele de coordonare sunt probabil ocupate de grupările oximice, un atom de azot al ciclului și eventual o moleculă de apă. Nu este exclusă o structură dimeră.

Coefficienții molaři de extincție, la maximul de absorbție ( $\lambda = 570$  nm), au valorile  $\epsilon_1 = 3471$  și respectiv 675  $l \cdot mol^{-1} \cdot cm^{-1}$ .

15. „Amidoxima” (compusul 19 - tabelul 5.1) formează cu Fe(III) tot un complex (1:1) similar, care absoarbe aproape exact în același domeniu spectral. Constante de stabilitate respectivă nu s-a putut determina decarece nu cunoaștem constantele de aciditate ale ligandului. Completarea acestei lacune va constitui o preocupare de viitor.

De asemenea ne propunem să interpretăm acești complecsi prin teorie cîmpului de ligand.

ANEXA

Energii de legătură /226/

$$E_{\text{NH}(\text{în pirol})} = 93,2 \text{ Kcal/mol}$$

$$E_{\text{NH}(-\text{NH})} = 100,6$$

$$E_{\text{OH}} = 102,1$$

$$E_{\text{C}-\text{O}} = 82,51$$

$$E_{\text{C}=\text{O}} = 163,76$$

$$E_{\text{H}-\text{O}} = 44,0^*$$

$$E_{\text{C}-\text{C}} = 83,1^*$$

$$E_{\text{CH}} = 102,37$$

$$E_{\text{C}-\text{H}} = 71,37$$

$$E_{\text{C}=\text{N}} = 119,38$$

\* Altă sursă

BIBLIOGRAFIE

1. C.Grumdman și colab., J.Amer.Chem.Soc., 76, 632, 6646 (1954).
2. E.M.Smolin și colab., "The Chemistry of Heterocyclic Compounds" New York, 1959.
3. A.Ostrogovich și colab.: J.Liebig's Ann.Chem., 289, 318 (1895); Gazz.chim.Ital., 27(I), 1, 222 (1897); 27(II), 1, 416 (1897); Bull.Soc.Sci.București, 14, 49, 288, 317 (1905); Gazz.chim.Ital., 39(I), 540 (1909); Rend.Acca.Lincei, 20(5), 182, 249 (1911); Gazz.chim.Ital., 41(II), 1, (1911); Bull.Soc.Sci.București, 20, 634 (1912); 21, 27 (1912); Chem.Ztg., 78, 738 (1912); Gazz.chim.Ital., 44(II), 562 (1914); 59(III), 181, 198 (1929); Rend.Acca.Lincei, 6 (11), 1, 1012, 1109 (1930); 6 (12), 162 (1930); Gazz.chim.Ital., 60, 648, (1930); 62, 317 (1932); 64, 792, 800, 824 (1934); 65, 229, 349, 357, 367, 566 (1935); 66, 48, 653, 662, 672 (1936); 67, 664 (1937); 68, 688 (1938); 71, 505, 515, 524 (1941); 73, 149, 156, 160 (1943); Bull.Soc.Sci.Cluj, 2, 497, 511 (1944); Stud.Univ.Babeș Bolyai, Chem., 1963, 19.
4. A.Albert și colab., J.Chem.Soc., 1948, 2240.
5. A.Albert și colab., J.Chem.Soc., 1956, 1294.
6. A.R.Katritzky, "Physical Methods in Heterocyclic Chemistry", New York, London, 1963.
7. E.N.Boitsov și colab., Optika i Spektroscopiya, 2, 51 (1960).
8. R.C.Hirt și colab., J.Chem.and Eng.Data, 6, 610 (1961).
9. J.R.Dudley, J.Amer.Chem.Soc., 73, 3007 (1951).
10. T.M.Klotz și colab., J.Amer.Chem.Soc., 69, 801 (1947).
11. R.C.Hirt și colab., Spectrochim.Acta, 12, 127 (1958).
12. J.K.Dixon și colab., J.Amer.Chem.Soc., 69, 599 (1947).
13. T.Tashiro și colab., Kobunshi Kagaku, 26(296), 853 (1969).
14. J.B.Weber, Spectrochim.Acta, 23A(2), 458 (1967).
15. R.C.Hirt și colab., Spectrochim.Acta, 11, 962 (1959).
16. R.P.Welcher și colab., J.Amer.Chem.Soc., 81, 5663 (1959).
17. K.M.Sancier și colab., Spectrochim.Acta, 20 (3), 397 (1964).
18. M.Safta, Stud.Cercet.Chim., 17(2), 107 (1969).
19. L.R.De Busscher și colab., Chim.Anal.(Paris), 54(2), 69 (1972).
20. A.Piskala și colab., Coll.Czech.Chem.Comm., 26, 2519 (1972).
21. J.Jonáš și colab., Coll.Czech.Chem.Comm., 27, 716 (1962).
22. J.Jonáš și colab., Coll.Czech.Chem.Comm., 27, 2754 (1962).
23. Yu.I.Mishkin și colab., Zhur.priklad.Spektrosk., 16(4), 738 (1972).
24. G.Morimoto, Nippon Kagaku Zasshi, 87, 790 (1966).
25. G.Morimoto, Rev.Phys.Chem.Jap., 37(1), 54 (1968).
26. I.Fukushima și colab., Bull.Chem.Soc.Jap., 44(3), 794 (1971).

27. A.I.Finkelstein, Optika i Spektroskopiya, 12, 204 (1962).
28. L.Paoloni și colab., Quantum Aspects Heterocycl.Compounds Chem. Biochem., Proc. Int. Symp., 2-nd 1969 (pub. 1970), 324.
29. M.I.Kabacnik, Doklady Akad.Nauk SSSR, 83, 407 (1952).
30. S.J.Angyal și colab., J.Chem.Soc., 1952, 1461.
31. E.A.Korolev și colab., Zhur.obshchei Kim., 43(7), 1556 (1973).
32. G.Oehme și colab., Z.Chem., 13(8), 298 (1973).
33. B.Bann și colab., Chem.Rev., 58, 131 (1958).
34. E.N.Boitsov și colab., Optika i Spektroscopiya, 7, 482 (1959).
35. O.G.Strukov și colab., Zhur.strukt.Khim., 6 (2), 218 (1965).
36. F.C.Nachod și colab., J.Amer.Chem.Soc., 70, 2818 (1948).
37. N.I.Malkina și colab., Zhur.fiz.Khim., 32, 981 (1958).
38. A.I.Finkelstein și colab., Zhur.fiz.Khim., 29, 1937 (1955).
39. Ts.N.Roginskaya și colab., Zhur.fiz.Khim., 45, 1609 (1971).
40. A.Hantzsich, Z.anorg.Chem., 209, 213 (1932).
41. E.Agallidis și colab., Ber.dtsch.chem.Ges., 71 B, 1391 (1938).
42. Yu.N.Sheinker și colab., Zhur.fiz.Khim., 30, 79 (1956).
43. Yu.N.Sheinker și colab., Zhur.fiz.Khim., 33, 1819 (1959).
44. M.Cignitti și colab., Spectrochim.Acta, 20(2), 211 (1964).
45. M.Cignitti și colab., Rend.Ist.Sup.Sanita, 23, 1037 (1960).
46. L.Paoloni și colab., Ann.Chim.(Ital.), 54(10), 897 (1964).
47. G.A.Longham și colab., Appl.Spectroscopy, 18(5), 129 (1964).
48. L.Paoloni și colab., Gazz.chim.Ital., 97(5), 635 (1967).
49. M.Cignitti și colab., Gazz.chim.Ital., 96(4), 413 (1966).
50. L.Paoloni și colab., J.Heterocycl.Chem., 5 (4), 533 (1968).
51. J.Sundquist, Valtion Tek.Tutkimuslaitos, 166, 22 (1971).
52. J.Y.T.Chen, J.Ass.Offic.Anal.Chem., 50 (3), 595 (1967).
53. R.Newman și colab., J.Amer.Chem.Soc., 74, 3545 (1952).
54. R.V.Efremova și colab., Zhur.priklad.Spektrosk., 16(6), 995 (1972).
55. P.V.Tibakov și colab., Khim.Geterotsikl.Soedin., 1, 124 (1972).
56. J.W.Sidman, Chem.Rev., 58, 689 (1958).
57. C.N.R.Rao, "Ultra-Violet and Vizable Spectroscopy Chemical Applications", London, 1961. Trad. în l.rusă, Moscova, 1964.
58. S.F.Mason, J.Chem.Soc., 1959, 1240, 1247.
59. J.S.Brinen, Univ.Microfilms(Ann.Arbor, Mich.) Order No. 61-6773, 86; Dissertation Abstr., 22, 2207 (1962).
60. L.Goodman, J.Mol.Spectros., 6, 109 (1961).
61. J.E.Lancaster și colab., Spectrochim.Acta, 17, 155 (1961).
62. A.I.Finkelstein și colab., Uspekhi Khim., 31, 1496 (1962).
63. H.F.Shurvell, J.Chim.phys., 62 (9), 1027 (1965).
64. J.C.Lorquet, Bull.Soc.roy.Sci.Liege, 29, 298 (1960).

65. J.E. Griffiths și colab., Canad.J.Chem., 42(3), 690 (1964).
66. W.Sawodny și colab., J.Chem.Phys., 45 (8), 3155 (1966).
67. J.Goubeau și colab., J.Phys.Chem., 58, 1078 (1954).
68. R.F.Stamm și colab., J.Chem.Phys., 22, 1280 (1954).
69. A.R.Katritzky, Quart.Rev., 13, 353 (1959).
70. V.I.Berezin, Optika i Spektroskopiya, 16 (2), 240 (1964); Tr.Molodykh Uchenykh, Saratovsk.Univ., Vyp.Piz., 1965, 86.
71. V.I.Berezin, Spektrosk., Tr.Sib.Soveshch., 4 th 1965, 73.
72. H.H.Seydewitz și colab., J.Chem.Phys., 58(8), 3486 (1973).
73. J.E.Lancaster, Canad.J.Phys., 34, 1016 (1956)
74. S.Califano, Spectrochim.Acta, 16, 900 (1960).
75. H.Schroeder, J.Amer.Chem.Soc., 81, 5658 (1959).
76. W.A.Heckle și colab., Spectrochim.Acta, 17, 600 (1961).
77. J.E.Lancaster și colab., J.Chem.Phys., 22, 1149( 1954).
78. R.C.Hirt și colab., J.Chem.Phys., 22, 1147 (1954).
79. M.Kasha, Discuss.Faraday Soc., 9 , 14 (1950).
80. J.S.Brinen și colab., J.Chem.Phys., 35, 1219 (1962).
81. Y.Udagawa și colab., J.Mol.Spectrosc., 39(3), 400 (1971).
82. J.S.Brinen și colab., Spectrochim.Acta, 18, 863 (1962).  
G.Favini și colab., Rend.Ist.Lombardo Sci.Lettere A, 92, 381 (1965).
83. G.Fischer și colab., J.Chem.Phys., 56, 5934 (1972).
84. R.M.Hochstrasser și colab., J.Chem.Phys., 55, 5291 (1971).
85. J.P.Paris și colab., J.Chem.Phys., 34, 1851, (1961).
86. R.M.Hochstrasser, Mol.Phys., 24(3), 597 (1972).
87. D.A.Wiersma, Chem.Phys.Lett., 16(3), 517 (1972).
88. R.M.Hochstrasser,Chem.Phys.Lett., 17 (1), 1 (1972).
89. E.R.Bernstein și colab., J.Chem.Phys., 58, 2197 (1973).
90. T.J.Aartema și colab., Chem.Phys., 1 (3), 211 (1973).
91. E.R.Bernstein și colab., Chem.Phys., 2 (3), 321 (1973).
92. R.M.Hochstrasser și colab., Chem.Phys.Lett., 21(1), 15 (1973).
93. M.N.Pisanias și colab., J.Chem.Phys., 58, 2110 (1973).
94. R.M.Hochstrasser și colab., J.Chem.Phys., 56, 637 (1972).
95. R.Gleiter și colab., Helv.Chim.Acta, 55(21), 255 (1972).
96. C.R.Brundle și colab., J.Amer.Chem.Soc., 94, 1466 (1972).
97. C.Fridh și colab., Int.J.Mass Spectrom.Ion Phys., 8(2), 85 (1972).
98. T.Tashiro și colab., Makromol.Chem., 175(1), 67 (1974).
99. H.H.Pox, J.Org.Chem., 23, 468 (1958).
100. L.Zaitseva și colab., Zhur.obshchei Khim., 32 , 3409(1962); 33,199 (1963).
101. J.W.Dawson și colab., Spectrochim.Acta, 23 ,1211 (1967).
102. T.L.Cairns și colab., J.Amer.Chem.Soc., 74, 5633 (1952).

103. J.B.Gallivan și colab., *J.Mol.Spectrosc.*, 26 (1), 24 (1968).
104. S.D.Ross și colab., *J.Amer.Chem.Soc.*, 72, 3302 (1950).
105. R.D.Spencer și colab., *Anal.Chem.*, 35, 1633 (1963).
106. R.D.Spencer ,*Spectrochim.Acta* ,21 ,1543 (1965).
- 107,.H.F.Shurvell și colab.,*Spectrochim.Acta*, 23. 1313 (1967).
108. P.B.Russell și colab.,*J.Amer.Chem.Soc.*, 74, 5403 (1952).
109. M.Karnas și colab.,*Chem.Prun.*,20(8),378 (1970).
110. D.W.Thomas și colab.,*J.Phys.Chem.Solide*, 34(8), 1441 (1973).
111. R.Kayama și colab.,*Nippon Kagaku Kaishi*,34 552 (1974).
112. A.Roosens, *Bull.Soc.chim.belges*, 59, 377 (1950).
113. W.M.Padgett și colab.,*J.Amer.Chem.Soc.*, 80 ,803 (1958).
114. H.K.Reimschneissel și colab.,*J.Amer.Chem.Soc.*, 82, 3756(1960).
115. D.M.Thomas și colab.,*J.Chem.Phys.*, 52, 3698 (1970).
116. T.S.Hermann, *Appl.Spectroscopy*, 20 (3), 159 (1966).
117. W.Sawodny și colab., *Spectrochim.Acta*, 23, 1327 (1967).
118. R.A.Shaw și colab.,*J.Chem.Soc.*, B 1967 (2), 123.
119. A. Kawai și colab., *Spectrochim.Acta*, 24, 1013 (1968).
120. H.Rath și colab.,*Melliand Textilber.*, 42, 789 (1961).
121. E.S.Levin și colab.,*Zhur.priklad.Spektrosk.*,Akad.Nauk,Belorussk. SSSR, 4 (4), 330 (1966).
122. W.N.Hartley și colab., *J.Chem.Soc.*, 79, 848 (1901).
123. G.W.Costa și colab.,*J.Chem.Phys.*,18 ,434 (1950).
124. H.Koopman,*Rec.Trav.chim.*,80, 158 (1961).
125. F.Halvarson și colab., *J.Chem.Phys.*,12, 711 (1951).
126. J.Reichel și colab.,*Rev.Roumaine Chim.*, 11, 139 (1966).
127. V.I.Mur, *Zhur.obshchei Khim.*, 29, 2267 (1959).
128. P.Fontana și colab.,*Ann.Chim.(Ital.)*,49, 316 (1959).
129. V.I.Mur și colab.,*Zhur.obshchei Khim.*, 30, 1981 (1960).
130. L.N.Surzhikova și colab.,*Khim.Sredstva Zaskch.Rast.*,1 ,210 (1970)
131. D.W.Grisley, *J.Org.Chem.*,23, 1802 (1958).
132. F.Seel și colab., *Chem.Ber.*, 92 ,344 (1959)
133. D.A.Long și colab.,*Trans.Paraday Soc.*,58, 2316 (1962).
134. J.R.Durig și colab.,*Acta Phys.Pol.*, 35 (6), o67 (1969).
135. F.S.Hermann ,*Spectrochim.Acta*, 21 ,663 (1965).
136. A.I.Finkelstein,*Optika i Spektroskopiya*, 5 ,265 (1958).
137. R.Kitwaki,*Nippon Kagaku Zasshi*, 81, 175 (1960).
138. C.R.Crymble și colab.,*J.Chem.Soc.*,22, 1266 (1911).
- 139, R.C.Hirt și colab., *J.Chem.Phys.*, 21, 1181 (1953).
140. G.Morimoto, *Nippon Kagaku Zasshi*, 87, 785 (1966)
141. A.I.Finkelstein și colab.,*Fiz.Probl.Spektroskopiy*, Akad. Nauk SSSR,*Materialy-13-go Soveshch.*,Leningrad 1960,1,257(1962).

142. E.N.Boitsov și colab., Optika i Spektroskopiya, 13, 274 (1962).  
 143. F.Kurzer și colab., J.Chem.Soc., 1954, 4152.  
 144. I.Plasment și colab., Bull.Soc.chim.belges, 73, 585 (1964).  
 145. A.I.Finkelstein și colab., Fiz.Sbornik L'vov.Univ., 3, 385 (1957).  
 146. B.J.Modest, J.Org.Chem., 21, 1 (1956).  
 147. F.C.Schaefer și colab., J.Amer.Chem.Soc., 81, 1466 (1959).  
 148. E.F.J.Duynstee și colab., Rec.Trav.chim., 81, 241 (1962).  
 149. G.A.Longham și colab., J.Spectry., 18(5), 129 (1964).  
 150. G.Morimoto, Nippon Kagaku Zasshi, 87, 797 (1966).  
 151. V.D.Vorotyntseva și colab., Zhur.priklad.Spektrosk., 17(2), 286 (1972).  
 152. A.Burger și colab., J.Amer.Chem.Soc., 75, 4579 (1953).  
 153. C.G.Overberger și colab., J.Amer.Chem.Soc., 76, 1855 (1954).  
 154. W.Logemann și colab., Chem.Ber., 87, 1175 (1954).  
 155. M.Furukawa și colab., Chem.Pharm.Bull.(Tokyo), 9, 914 (1961).  
 156. T.M.Ward și colab., Spectrochim.Acta, 25, 1167 (1969).  
 157. W.M.Padgett și colab., J.Chem.Phys., 26, 959 (1957).  
 158. N.Ts.Rogirskaya și colab., Zhur.priklad.Spektroskopiy, 14(4), 654 (1971).  
 159. M.Ito, Bull.Chem.Soc.Japan, 26, 339 (1953).  
 160. R.C.Petterson și colab., J.Org.Chem., 25, 1595 (1960).  
 161. V.Brendi și colab., Ricerca sci., 39 (7-9), 607 (1969).  
 162. V.D.Vorotyntseva și colab., Zhur.priklad.Spektrosk., 17(4), 661 (1972).  
 163. H.Brandenburger și colab., Helv.Chim.Acta, 37, 2207 (1954).  
 164. W.J.Jones și colab., Trans.Paraday Soc., 55, 203 (1959).  
 165. S.C.Hartman și colab., J.Amer.Chem.Soc., 77, 1051 (1955).  
 166. E.E.Smissman și colab., J.Org.Chem., 22, 824 (1957).  
 167. M.L.Tosato și colab., J.Chem.Soc., C, Org., 1966 (10), 909.  
 168. C.W.Hoerr și colab., J.Amer.Chem.Soc., 78, 4667 (1956).  
 169. A.Pilhol și colab., J.Phys.Chem., 75, 2056 (1971).  
 170. M.P.Marzocchi și colab., Spectrochim.Acta, 21, 155 (1965).  
 171. A.Chentin și colab., J.Chim.phys., 53, 106 (1956).  
 172. A.I.Finkelstein, Optika i Spektroskopiya, 6, 33 (1959).  
 173. V.V.Khorosheva și colab., Zhur.fiz.Khim., 36, 1055 (1962).  
 174. A.Yabe și colab., Kogyo Kagaku Zasshi, 60, 604 (1957).  
 175. J.Reichel și colab., Studii și Cercetări Sti., Chim.Baza Cercetări  
Sti., Timisoara, 7, 99 (1960); Rev.Roumaine Chim., 9, 229 (1964).  
 176. Y.Yamashita, Yuki Gosei Kagaku Kyokai Shi, 29(5), 519 (1971).  
 177. C.Trinquecoaste și colab., J.Chim.phys.Physicochim.Biol., 68(10), 1533;  
68(11-12), 1573 (1971); 69(1), 104 (1972).  
 178. G.B.Shtreis și colab., Bum.Prom., 1, 26 (1972).  
 179. A.Sucharda-Sobczyk și colab., Chem.Stasow., 17(3), 359 (1973).

180. H.Moshrle și colab., Arch.Pharm.(Weinheim, Ger.), 207, 51 (1974).
181. L.Pauling și colab., Proc.Nat.Acad.Sci.U.S.A., 23, 615 (1937).
182. A.Maccol, J.Chem.Soc., 1946, 670.
183. A.Pullman, Rev.Sci., 86, 219 (1948).
184. L.Paoloni, Gazz.chim.Ital., 84, 729, 735 (1954).
185. D.W.Davies, Trans.Faraday Soc., 51, 449 (1955).
186. S.Kwiatkowski și colab., Bull.Acad.polon.Sci., Ser.Sci.Math.Astron.Phys., 13(7), 487 (1965).
187. T.B.Cobb și colab., J.Chem.Phys., 50, 4262 (1969).
188. I.R.Pariser și colab., J.Chem.Phys., 21, 767(1953); H.Kon, Bull.Chem.Soc.Japan, 28, 275(1955); H.F.Hameka și colab., J.Chem.Phys., 24, 1262 (1956); T.E.Peacock, Nature, 179, 684(1957); S.Carra și colab., Atti accad.nazl.Lincei,Rend., classe sci.fis.,mat. e nat., 23, 428(1957); 24, 722(1958); K.Nishimoto și colab., Z.phys.Chem.(Frankfurt), 12, 335 (1957); N.Mataga și colab., Z.phys.Chem.(Frankfurt), 13, 140(1957); L.Goodman și colab., J.Chem.Phys., 30, 1131(1959); J.S.Brinen și colab., J.Chem.Phys., 31, 482(1959); T.E.Peacock, J.Chem.Soc., 1960, 1946; W.Woznicki și colab., Bull.Acad.polon.Sci., Ser.Sci.Math.Astron.Phys. 12(10), 655(1964); K.Nishimoto și colab., Theor.Chim.Acta, 4, 155(1966); T.Kunii și colab., Theor.Chim.Acta, 11, 97(1968); G.Favini, Corsi Semin.Chim., 14, 54 (1968); T.Tokuhiro și colab., J.Amer.Chem.Soc., 91, 5005 (1969); M.Sundbom, Quantum Aspects Heterocycl.Compounds Chem.Biochem. Proc.Int.Symp., 2 nd 1969(Pub.1970), 56; G.D.Zeiss și colab., J.Chem.Soc.A, 1971(11), 1727; M.Sundbom, Acta Chem.Scand., 25(2), 487(1971); R.R.Carbo. și colab., An.Fis., 68(1-3), 21. (1972); J.Spanget-Larsen, J.Electron Spectrosc.Relat.Phenomena, 2(1), 33 (1973).
189. S.Basu, Proc.Nat.Inst.Sci., India, 21A, 177 (1955).
190. A.I.Finkelshtein, Optika i Spektroskopiya, 20, 408 (1966).
191. G.Hafelinger, Chem.Ber., 103(9), 2902, 2922, 2941, 103 (11), 3370(1970).
192. R.D.Brown și colab., Trans.Faraday Soc., 53, 397 (1957).
193. T.H.Goodwin și colab., J.Chem.Soc., 1956, 3595 .
194. M.J.S.Dewar și colab., Trans.Faraday Soc., 53, 261 (1957).
195. J.Shinagawa și colab., Igaku No Ayumi , 79(13), 633 (1971).
196. J.W.McIver și colab., Chem.Phys.Lett., 11(1), 82 (1971).
197. K.Fukui și colab., Bull.Chem.Soc.Japan, 34, 851. (1961).
198. A.I.Finkelshtein și colab., Tr.Komis.po Spektroskopii,Akad.Nauk SSSR , 3(1), 355 (1964).
199. K.M.Orloff și colab., J.Phys.Chem., 74 ,2189 (1970).
200. I.Cădariu,E.Gavrilă,G.Niac, Z.phys.Chem.(Leipzig),242, 391(1969).
201. E.Gavrilă,I.Cădariu,Rev.Roumaine Chim., 19, 1899 (1974).
202. "The International Encyclopedia of Physical Chemistry and Chemical

- Physics" Topic 15, vol 4(Ed.E.A.Guggenheim și colab.).  
E.J.King,"Acid-Base Equilibria",Pergamon Press,Oxford,  
1965, p.227.
203. I.Cădariu, Teză de doctorat, Cluj, 1938.
204. D.E.Metzler și colab.,J.Amer.Chem.Soc., 77,2431 (1955).
205. S.F.Mason, J.Chem.Soc.,1960, 22.
206. R.W.Green și colab.,J.Phys.Chem.,65, 2211 (1961).
207. M.P.V.Boarland și colab.,J.Chem.Soc.,1952, 3716.
208. I.Cădariu, E.Gavrilă, Stud.Univ.Babeș-Bolyai,Chem.,21,  
34,-68 (1976).
209. a.S.F.Mason, J.Chem.Soc., 1957, 4874.  
b.C.L.Angyal,și colab.,J.Chem.Soc., 1952, 2911.
210. M.Avram și colab., "Spectroscopia în infraroșu.Aplicații în Chimia organică" Ed.Tehnică,București,1966.  
R.Nakanishi,"Infrared Absorption Spectroscopy",Holden-Day,Inc.,  
San Francisco,1962.Trad.în l.rusă, Moscova, 1965.
211. A.W.McLellan și colab.,J.Chem.Soc.(A),1967, 137.
212. A.Ostrogovich,Gazz.chim.Ital.,65, 229 (1935).
213. L.N.Short și colab., J.Chem.Soc., 1952, 168.
214. D.Hadzi și colab.,Spectrochim.Acta, 23,35 (1967).
215. R.J.Mesley și colab.,Spectrochim.Acta, 26, 1753 (1970).
216. P.W.Sadler, J.Chem.Soc., 1961, 2162.
217. D.Hadzi, J.Chem.Soc., 1956, 2725.
218. G.B.Barlin și colab.,J.Chem.Soc.(B), 1971,1425.
219. G.Ostrogovich și colab.,Studii și Cercetări Sti.,Chim.Baza Cercetă  
tări Sti.,Timișoara, 10, 71 (1963).
220. L.Fey și colab.,Rev.Roumaine Chim.,14(3), 319 (1969).
221. C.Luca și colab., "Determinarea constantelor analitice" Ed.Did.și  
Ped.,București, 1971, p. 46.
222. A.Streichwieser, jr., "Molecular Orbital Theory for Organic Chemists"  
John Wiley, New-York, 1961..
223. I.Cădariu,E.Gavrilă, Conferința Republicană de Chimie fizică,  
2-5 septembrie 1974.
224. Z.Simon și colab.,Rev.Roumaine Chim.,13(2), 147 (1968).
225. L.Salem,"The Molecular Orbital Theory of Conjugated Systems",  
W.A.Benjamin, Inc.,New-York, Amsterdam,1966, p. 109.
226. M.J.S.Dewar și colab.,J.Amer.Chem.Soc., 91, 789, 796 (1969);  
92, 2929 (1970).
227. I.Cădariu,b.Gavrilă, I.Zsako, Sesiunea de comunicări a cadrelor  
didactice,Univ.Babeș-Bolyai Cluj, 25 mai 1973.

228. S.F.Mason, J.Chem.Soc., 1959, 1253.
229. E.Gavrilă, G.Niac, I.Cădariu, Z.phys.Chem.(Frankfurt), 251, 383 (1972).
230. E.Asmus, Z.anal.Chem., 182, 321, 401 (1961).
231. L.G.Sillen și colab., "Stability Constants of Metal-ion Complexes", London, 1964, p. 53-54.
232. G.Schwarzenbach și colab., Helv.Chim.Acta, 34, 528 (1951).
233. J.H.Yoe și colab., Ind.Eng.Chem.Anal.Ed., 16, 111 (1944) din F.J.C.Rossotti și colab., "The Determination of Stability Constants", McGraw-Hill Book Company, Inc.New-York, 1961, p.52.
234. B.Ya.Shtenberg și colab., Opt.Spektrosk., 36(5), 901 (1974).
235. J.E.Bertie și colab., J.Chem.Phys., 61(5), 1666 (1974).
236. S.E.Turner și colab., J.Amer.Chem.Soc., 71, 912 (1949).
237. R.Bacaloglu și colab., Rev.Roumaine Chim., 16, 1447 (1971).
238. M.Safta și colab., Rev.Roumaine Chim., 17, 2055 (1972).
239. V.A.Bolotin și colab., Liet.Fiz.Rinkings, 14, 561 (1974). M.Witanowski și colab., J.Magn.Reson., 16, 69 (1974).
240. M.Safta și colab., Rev.Roumaine Chim., 19, 1735 (1974).

OBS. La citarea articolelor sau monografiilor este dat numai numele primului autor din cauză că, regulamentul în vigoare limitează spațiul ce nu se referă la partea strict originală a tezei.